

47/85

وزارة التعليم و البحث العلمي

MINISTERE DE L'ENSEIGNEMENT ET DE LA RECHERCHE SCIENTIFIQUE

Aex

ECOLE NATIONALE POLYTECHNIQUE

DEPARTEMENT

Genie civil

المسجلة
الكتاب
.....
ECOLE NATIONALE POLYTECHNIQUE
BIBLIOTHEQUE

PROJET DE FIN D'ETUDES

S U J E T

SALLE DE CONFERENCE
poutres croisées

Proposé par :

SETAM

Etudié par :

AZZOUZ
MENADI

Dirigé par :

Mme GUIGOVA

PROMOTION : **JUIN 85**

بِسْمِ اللَّهِ الرَّحْمَنِ الرَّحِيمِ

بِسْمِ اللّٰهِ الرَّحْمٰنِ الرَّحِیْمِ

Dedicaces

Je dedie ce modeste travail à ma mère et à mon père en signe de reconnaissance pour tous leurs sacrifices consentis à mon égard.

• A mes frères et sœurs (Aïssa, AïCHA, HAFIDA; Malika et sa famille) pour leurs soutiens moral et matériel et leurs encouragements.

- A mon oncle El Hannachi et sa famille
- A tous ceux qui me sont chers
- A tous mes frères croyants.

— — — — —
الحمد لله عز وجل

Je dedie ce modeste travail à :

Mes Parents pour leurs sacrifices

Mes frères et sœurs.

Toute ma famille

Tous ceux qui me sont chers.

منادون بلفاسم
~~~~~



## Remerciements

Nous tenons à exprimer notre profonde Gratitude à notre promotrice Madame GUIGOVA qui a bien voulu assurer la direction de cette étude pour son aide et ses conseils éclairés.

Nos sincères remerciements à tous Les Professeurs de L'école nationale polytechnique ainsi qu'à tous ceux qui ont contribué de près ou de loin à notre formation.

Nos vifs remerciements à tous Les membres de Jury qui nous font l'honneur de Juger notre modeste travail.

Nous remercions également M<sup>r</sup> MINASYAN ingénieur C.T.C pour son aide inestimable.



Objet: Genie Civil.....

Auteur: ....Mme.GUIGOVA.....

Ingénieur: ..Mr.AZZOUZ.Lakhdar.  
Mr MENADI Belkacem.

مصلحة .. الهندسة المدنية

موجه

تلميذ مهندس - عزوز لخضر  
منادي بلقاسم

- الموضوع دراسة قاعة محاضرات

- الملخص يتمثل هذا المشروع في دراسة قاعة للمحاضرات المنتظر تأسيسها في مدينة المدية، وهي تابعة لمقر هذه البلدية التي تعد منطقة ذات تأثيرات زلزالية متوسطة حسب النظام الجزائري. تغطي هذه القاعة مساحة 21 x 21 وارتفاعها 10 م.

Objet: ..Etude d'une salle de conférence.....

Résumé: Le présent projet consiste à l'étude d'une salle de conférence faisant partie d'un siège d'APC qui sera implanté à Médéa, zone de moyenne sismicité.

La salle doit couvrir une surface de 21X21 m<sup>2</sup> et de hauteur 10m c'est une structure autostable où les éléments résistants sont en Béton Armé.

Objet: .Design of a conference Room.....

Abstract: The aim of the present project is to design a conference room which is part of

an A.P.C building located in Médéa an area of medium seismicity. The room covers an area 21 X 21 m<sup>2</sup> and is 10m high. It is an autostable structure with reinforced concrete resisting members.





# SOMMAIRE

|                                                                                      | Page |
|--------------------------------------------------------------------------------------|------|
| I. Introduction                                                                      |      |
| - présentation de l'ouvrage                                                          | 1    |
| - caractéristiques des matériaux                                                     | 3    |
| - charges et surcharges                                                              | 4    |
| II. Etude pour le calcul de plancher à poutres croisées                              |      |
| - Théorie des poutres croisées et application plancher ( $a=b=1,5$ )                 | 5    |
| - Méthode approchée pour le calcul des poutres croisées                              | 14   |
| - Ferrailage des p. croisées selon Méthode exacte.                                   | 17   |
| - Etude comparative entre deux types de plancher à poutres croisées                  | 23   |
| - Application de la théorie des poutres croisées pour le plancher II ( $a=b=5,25$ m) | 25   |
| III. Efforts dans les portiques                                                      |      |
| - charges verticales                                                                 | 27   |
| - Etude au séisme                                                                    | 33   |
| - charges horizontales                                                               | 35   |
| - Etude au vent                                                                      | 41   |
| IV. Superposition des sollicitations                                                 | 44   |
| V. Ferrailage des portiques                                                          |      |
| - Poutres                                                                            | 50   |
| - poteaux                                                                            | 62   |
| VI. Calcul des éléments                                                              |      |
| - Dalles, Acrotère                                                                   | 70   |
| VII. Sol - Fondations - Tassements                                                   | 78   |
| VIII. Calcul des longrines - Voile périphérique                                      | 95   |
| - Épure d'arrêt des barres                                                           | 98   |



## INTRODUCTION

Le projet qui nous a été proposé par la SETAM Comprend un bâtiment destiné à une salle de conférence, faisant partie d'un siège d'un APC qui sera implanté à Médéa ; zone de moyenne sismicité.

C'est un bâtiment qui doit couvrir une surface de  $21\text{m} \times 21\text{m}$  et de  $10\text{m}$  de hauteur (acrotère non compris), la structure est en béton armé sur un sol argileux.

Le plancher gradin est ventilé sur une largeur de  $9,00\text{m}$  à  $12\text{m}$  aura une hauteur variable de  $2,55\text{m}$  à  $5,65\text{m}$

La particularité de cet ouvrage réside dans sa structure porteuse de la toiture ( $21 \times 21\text{m}^2$ ) qui pourra être conçue par différentes solutions: en poutres croisées, en béton précontraint, en arcs, en charpente métallique. Nous avons adopté la solution des poutres croisées, pour ce cas deux solutions peuvent être envisagées pour la conception de l'ensemble.

1° structure unique travaillant en son ensemble et doit être calculée comme une structure autostable c'est à dire comme des portiques dans l'espace, ce calcul ne peut être fait d'une façon précise qu'à l'aide d'un calcul automatique sur ordinateur néanmoins une méthode approchée pour ce calcul sera exposée.

2° structure composée de différents éléments ou blocs travaillant indépendamment les uns des autres séparés par des joints de dilatation. Nous avons adopté la 2<sup>ème</sup> solution compte tenu des dimensions de la salle et la distribution particulière intérieure, sans l'aide d'un calcul automatique pour l'ensemble.

L'ossature couvrant l'ensemble a été conçue en poutres croisées faisant partie des portiques autostables en B.A, solution adoptée après étude comparative.

- Les différents blocs composants le plancher gradin sont des structures autostables.

- Cette solution a amené des fondations assez élaborées et des solutions originales sont proposées.





# - CARACTERISTIQUES DES MATERIAUX

Béton : Le béton est dosé à 350 kg/m<sup>3</sup> de CPA 325 avec un contrôle atténué.

- . Résistance nominale de Compression :  $\sigma'_{28} = 270 \text{ kg/cm}^2$
- . Résistance nominale à la traction :  $\sigma_{28} = 23,2 \text{ kg/cm}^2$
- . Grosseur des Granulats :  $C_g = 5/15 \text{ mm}$
- . Dosage d'un "m<sup>3</sup>" de béton : 800 l de Gravillons, 400 l de sable 350 kg de ciment CPA 325, 175 l d'eau.

- Contrainte de Compression admissible : (CCBA 68 art 9.4)

- .  $\bar{\sigma}'_b = \alpha \beta \gamma \epsilon \sigma'_{28}$  Cas Général ;  $\bar{\sigma}'_b = 0,30 \alpha \beta \gamma \sigma'_{28}$  C. Simple avec  $\alpha = 1 \rightarrow$  ciment CPA 325,  $\beta = \frac{5}{6} \rightarrow$  (contrôle atténué) ;
- .  $\gamma = 1$  ( $\frac{h_m}{4c_g} > 1$ ) ;  $\delta = 0,3$  (compression simple) ;  $\delta = 0,6$  en flexion simple et en flexion composée avec effort normal de traction.
- .  $\epsilon = 1 \rightarrow$  en compression simple & section, ou en flexion avec sect. rectang.  $0 \leq \epsilon \leq 1$  dans les autres cas.

- Contrainte de traction de référence [CCBA 68 art 9.5]

- .  $\bar{\sigma}_b = \alpha \beta \gamma \theta \sigma'_{28}$  avec  $\alpha, \beta, \gamma \rightarrow$  définis ci-dessus.
- .  $\theta = 0,018 + \frac{2,1}{\sigma'_{28}} = 0,0258$  ( $\sigma'_{28} = 270 \text{ kg/cm}^2$ )

. Résumé :

| Sollicitation | Compression simple                        | Flexion simple                            | Traction                                |
|---------------|-------------------------------------------|-------------------------------------------|-----------------------------------------|
| SP1           | $\bar{\sigma}'_b = 68,5 \text{ kg/cm}^2$  | $\bar{\sigma}'_b = 137 \text{ kg/cm}^2$   | $\bar{\sigma}_b = 5,9 \text{ kg/cm}^2$  |
| SP2           | $\bar{\sigma}'_b = 102,7 \text{ kg/cm}^2$ | $\bar{\sigma}'_b = 205,5 \text{ kg/cm}^2$ | $\bar{\sigma}_b = 8,85 \text{ kg/cm}^2$ |

Aciers : Aciers à H.A FeE40 :

- . Limite d'élasticité nominales ( $\sigma_{en}$ ) :  $\left. \begin{array}{l} \sigma_{en} = 4200 \text{ kg/cm}^2 \text{ si } \phi \leq 20 \text{ mm} \\ \sigma_{en} = 4000 \text{ kg/cm}^2 \text{ si } \phi > 20 \text{ mm} \end{array} \right\}$
- . Contraintes admissibles ( $\sigma_a = \sigma'_a$ ) :  $\left. \begin{array}{l} \bar{\sigma}_a = \frac{2}{3} \sigma_{en} = 2800 \text{ kg/cm}^2 \text{ (SP1)} \\ \quad \quad \quad = 4200 \text{ kg/cm}^2 \text{ (SP2)} \text{ si } \phi \leq 20 \text{ mm} \\ \bar{\sigma}_a = \frac{1}{3} \sigma_{en} = 2667 \text{ kg/cm}^2 \text{ (SP1)} \\ \quad \quad \quad = 4000 \text{ kg/cm}^2 \text{ (SP2)} \text{ si } \phi > 20 \text{ mm} \end{array} \right\}$

\* Aciers ronds lisses (FeE24)

$\phi \leq 20 \text{ mm} \rightarrow \sigma_{en} = 2400 \text{ kg/cm}^2 \rightarrow \bar{\sigma}_a = 1600 \text{ kg/cm}^2 \text{ (SP1)}$   
 $\bar{\sigma}_a = 2400 \text{ kg/cm}^2 \text{ (SP2)}$

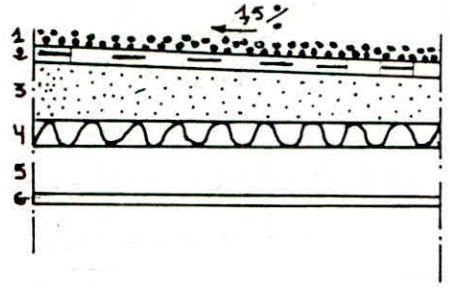
. Contrainte admissible de non fissuration\* (CCBA art 49)

$\bar{\sigma}_a \leq \max(\sigma_1, \sigma_2)$  avec  $\sigma_1 = \frac{K \eta}{\phi} \frac{\bar{\omega}_f}{1 + 10 \bar{\omega}_f}$  et  $\sigma_2 = 2,4 \sqrt{\frac{K \eta \bar{\sigma}_b}{\phi}}$

# CHARGES ET SURCHARGES

## Plancher terrasse:

- 1. Gravieron toulé 15/25 ..... 80 kg/m<sup>2</sup>
- 2. Étanchéité multicouche ..... 10 kg/m<sup>2</sup>
- 3. Forme de pente (1,5%) e<sub>p</sub> = 10 cm ..... 220 kg/m<sup>2</sup>
- 4. Liège 4 cm ..... 12 kg/m<sup>2</sup>
- 5. Dalle pleine e<sub>p</sub>
- 6. Plâtre 2 cm ..... 28 kg/m<sup>2</sup>
- 7. Plafond suspendu ..... 30 kg/m<sup>2</sup>



### - Solution I (Plancher a = b = 1,5 m)

- Dalle e<sub>p</sub> = 7 cm ..... 175 kg/m<sup>2</sup>

### - Solution II (Plancher a = b = 5,25 m)

- Dalle e<sub>p</sub> = 12 cm ..... 300 kg/m<sup>2</sup>

## Plancher Gradin:

### - charges permanentes :

- Dalle pleine e = 15 cm ..... 399 kg/m<sup>2</sup>
  - revêtement ..... 150 kg/m<sup>2</sup>
  - marches  $\frac{2200 \times 0,3}{2}$  ..... 330 kg/m<sup>2</sup>
- G<sub>1</sub> = 879 kg/m<sup>2</sup>

### - surcharges :

- surcharge d'exploitation (lieux publics) ..... P = 500 kg/m<sup>2</sup>

## + Salle de projection

### - charges permanentes :

- Dalle pleine e = 15 cm ..... 375 kg/m<sup>2</sup>
  - revêtement ..... 150 kg/m<sup>2</sup>
- G = 525 kg/m<sup>2</sup>



# RESEAUX DE POUTRES CROISEES

## Théorie des Poutres Croisées

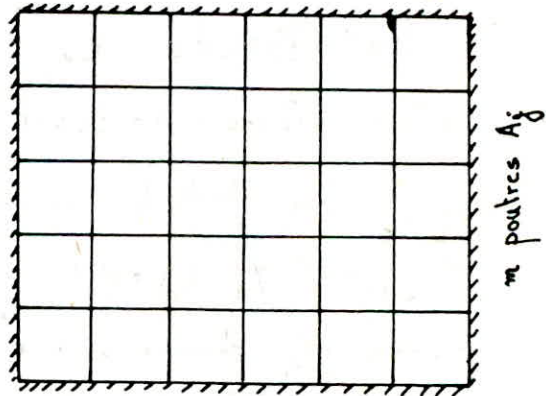
a. Définitions : Le réseau de poutres croisées est constitué de deux ensembles de poutres (fig 1).

1.  $n$  poutres ( $A_j$ ) ( $j=1,2,\dots,n$ )

Parallèles, toutes identiques, elles ont toutes même Loi d'inertie et mêmes Liaisons extérieures.

2.  $n$  poutres ( $B_i$ ) ( $i=1,2,\dots,n$ )

Parallèles, idem, ayant même Loi d'inertie et mêmes liaisons extérieures.



Les poutres ( $A_j$ ) et ( $B_i$ ) sont liées les unes aux autres en leur point de croisement  $N_{ij}$ , appelés nœuds du réseau de sorte qu'en ces points, Les poutres qui s'y croisent aient la même flèche.

Nous supposons que la torsion des poutres peut être négligée.

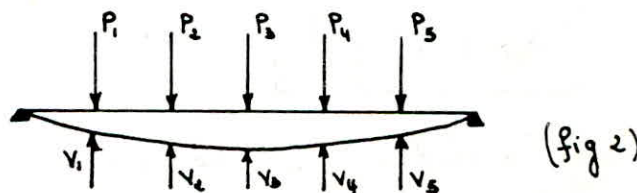
Les poutres ( $A_j$ ) sont en général orthogonales aux poutres ( $B_i$ ) cependant Les deux systèmes des poutres peuvent se couper sous un angle différent d'un angle droit.

Nous supposons également que Le système est tel que Les poutres ( $A_j$ ) restent stables si L'on supprime Les poutres ( $B_i$ ).

## b. Caractéristiques Mécaniques des poutres

### b<sub>1</sub>. Relations entre efforts et flèches

Désignons par (A) La poutre identique à toutes Les poutres ( $A_j$ )



soit  $B_1, B_2, \dots, B_n$  Les sections de La poutre (A) correspondant aux nœuds du réseau.

Un système de charges  $X_i$  ( $i=1,2,\dots,n$ ) appliquées au droit de ces sections des flèches  $V_i$  ( $i=1,2,\dots,n$ ) données par Les formules suivantes:

$$V_i = \sum_{k=1}^{k=n} a_{ik} X_k \quad (1) \quad (i=1,2,\dots,n)$$



Remarque :

En vertu du théorème de réciprocité de MAXWELL

Les coefficients  $a_{ik}$  satisfont aux égalités  $a_{ik} = a_{ki}$

Il en est de mêmes pour Les Poutres (B<sub>i</sub>)

$A_1, A_2, \dots, A_m$  étant Les sections de la poutre (B) correspondant aux nœuds du Réseau.

Les charges  $Y_j$  ( $j=1,2,\dots,n$ ) appliquées ds Les sections ( $A_j$ ) produisent au droit de ces sections des flèches  $V_j$  ( $j=1,2,\dots,m$ ) données par Les formules :

$$V_j = \sum_{h=1}^{h=m} b_{jh} Y_h \quad (2) \quad (j=1,2,\dots,n)$$

Au droit de chaque nœud nous aurons L"égalité des flèches :

$$V_i = V_j \quad (3)$$

### c. Répartition des charges au niveau d'un nœud

Considérons deux poutres croisées appartenant au réseau, soit  $P_i$  La charge qui est appliquée au niveau de Leur croisement soit  $Y_i$  et  $X_i$  les charges qui reviennent respectivement à La poutre (A) et la poutre (B) ces deux charges sont telles que :

$$X_i + Y_i = P \quad (4)$$

En tenant compte de la relation (4) la relation (2) devient :

$$V_j = \sum_{h=1}^{h=m} b_{jh} (P_h - X_h) \quad (5)$$

En tenant compte des relations ① et ⑤ la relation ③ s'écrit :

$$\sum_{k=1}^{K+m} a_{ik} X_k = \sum_{h=1}^{h+m} b'_{jh} (P_h - X_h) \quad \text{⑥}$$

En écrivant l'égalité ⑥ pour chaque nœud nous obtenons un système de  $m \times n$  équations à  $m \times n$  inconnues.

La solution de ce système nous donne les valeurs des charges  $X_i$  ( $i = 1, 2, \dots, n$ ) s'exerçant sur les poutres ( $A_j$ ). Les valeurs des charges  $Y_i$  s'exerçant sur les poutres ( $B_i$ ) seront déterminées en tenant compte de la relation (4).

### d. Coefficients d'influence

Les coefficients  $a_{ik}$  et  $b_{jh}$  sont appelés coefficients d'influence. Les coefficients sont fonction :

- Des liaisons extérieures de la poutre considérée.
- Du matériau constituant la poutre.
- De la position des sections  $j, h$   $i$  et  $k$
- De la distance entre deux nœuds consécutifs.

### d1. Poutres simplement appuyées

Considérons une poutre simplement appuyée appartenant à un réseau de poutres croisées.

Soit  $L$  l'espacement des poutres ( $B_i$ ),  $I$  inertie de la poutre ( $A$ ) dont la portée est  $(n+1)L$ ,  $E$  son module d'élasticité en posant  $K = \frac{6EI}{L^3}$ , les formules de RDM donnent :

$k=1$

$$a_{ik} = \begin{cases} \frac{1}{K} \frac{i(n+1-k)}{n+1} [K(2n-k+2) - i^2] & \text{Lorsque } i \leq k \\ \frac{1}{K} \frac{k(n+1-i)}{n+1} [i(2n-i+2) - k^2] & \text{Lorsque } i \geq k \end{cases}$$

### Remarque

$n$  : représente le nombre de sections correspondants aux différents nœuds qui se trouvent sur la poutre considérée.



## Tableau des Coefficients d'influence

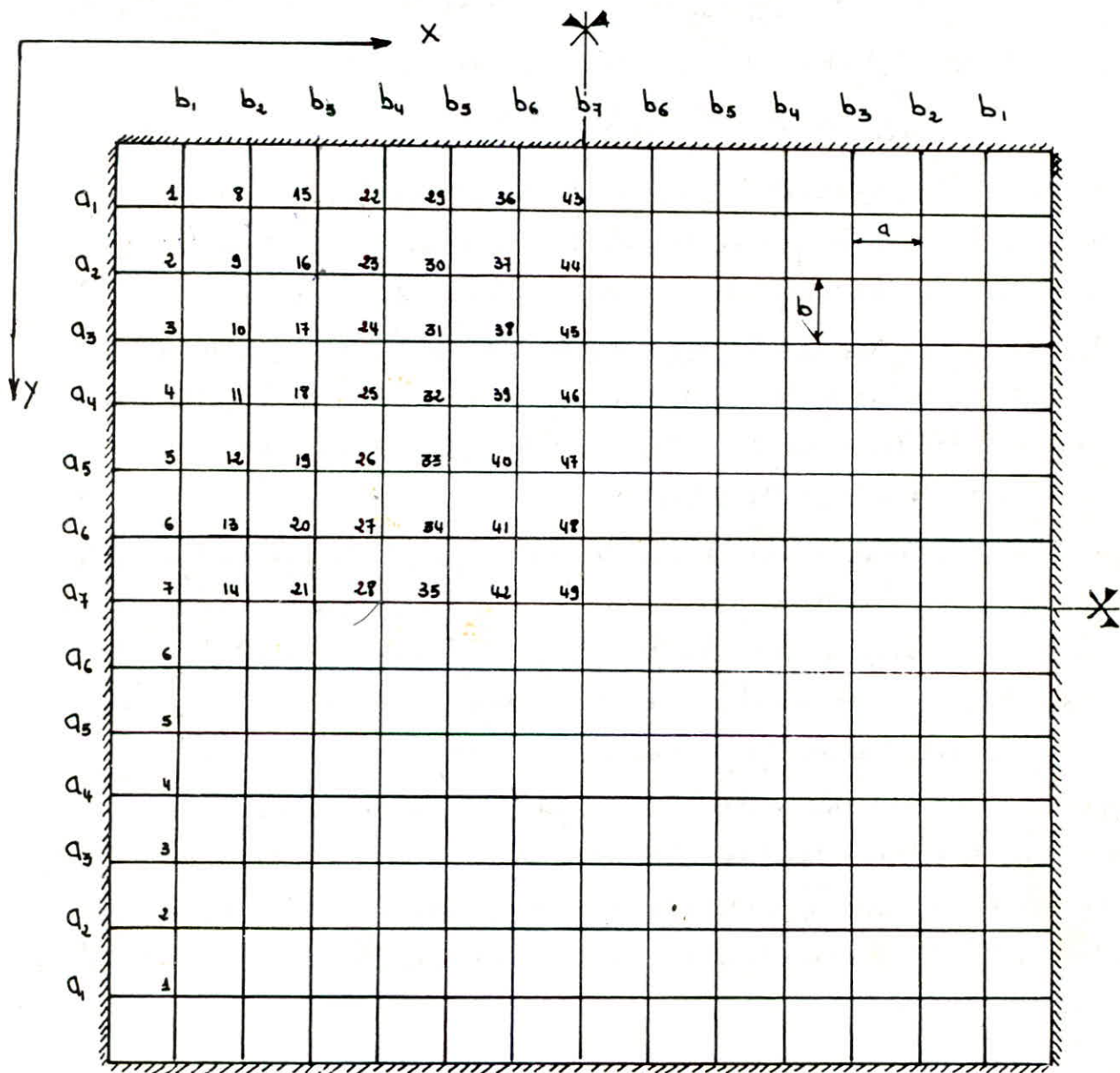
Plancher (21 x 21) m<sup>2</sup> a = b = 1.5m

| i \ k | 1      | 2      | 3      | 4      | 5      | 6      | 7      | 8      | 9      | 10     | 11     | 12     | 13     |
|-------|--------|--------|--------|--------|--------|--------|--------|--------|--------|--------|--------|--------|--------|
| 1     | 24,143 | 43.71  | 58.14  | 67.86  | 73.28  | 74.86  | 73.00  | 68.14  | 60.71  | 51.14  | 39.86  | 27.30  | 13.86  |
| 2     | 43.71  | 82.30  | 111.57 | 131.50 | 142.71 | 146.28 | 143.00 | 133.71 | 119.28 | 100.57 | 78.43  | 53.17  | 27.88  |
| 3     | 58.14  | 111.57 | 155.57 | 186.43 | 204.43 | 210.86 | 207.00 | 194.14 | 173.57 | 146.57 | 114.48 | 78.43  | 39.86  |
| 4     | 67.86  | 131.43 | 186.43 | 228.57 | 254.57 | 265.14 | 262.00 | 246.86 | 221.43 | 187.43 | 146.57 | 100.57 | 51.14  |
| 5     | 73.28  | 142.71 | 204.28 | 254.57 | 289.28 | 305.71 | 305.00 | 289.28 | 260.71 | 221.43 | 173.57 | 119.28 | 60.71  |
| 6     | 74.86  | 146.28 | 210.86 | 265.14 | 305.71 | 329.14 | 333.00 | 318.57 | 289.28 | 246.86 | 194.14 | 133.71 | 68.14  |
| 7     | 73     | 143    | 207    | 262    | 305    | 333    | 343    | 333,00 | 305    | 262    | 207    | 143    | 73,00  |
| 8     | 68,143 | 133.71 | 194.14 | 246.86 | 289.28 | 318.57 | 333    | 329,71 | 305.71 | 265.14 | 210.86 | 146.28 | 74.86  |
| 9     | 60.71  | 119.28 | 173.57 | 221.43 | 260.71 | 289.28 | 305    | 305.71 | 289.28 | 254.57 | 204.43 | 142.71 | 73.28  |
| 10    | 51.14  | 100.57 | 146.57 | 187.43 | 221.43 | 246.86 | 262    | 265.14 | 254.57 | 228.57 | 186.43 | 131.50 | 67.86  |
| 11    | 39.86  | 39.    | 114.48 | 146.57 | 173.57 | 194.14 | 207    | 210.86 | 204.43 | 186.43 | 155,57 | 111.57 | 58.14  |
| 12    | 27.30  | 53.17  | 78.43  | 100.57 | 119.28 | 133.71 | 143    | 146.28 | 142.71 | 131.50 | 111.57 | 82.30  | 43.74  |
| 13    | 13.86  | 27.88  | 39.86  | 51.14  | 60.71  | 68.14  | 73,00  | 74.86  | 73.28  | 67.86  | 58.14  | 43.74  | 24.143 |

# RESEAU 14 X 14 CASES

$a = b = 1,50 \text{ m}$

## NUMÉROTATION DES NOEUDS



### Systemes d'equations

Le Plancher que nous avons à étudier possède une symétrie médiane des deux sens, ce qui permet d'écrire l'équation (6) uniquement pour les noeuds situés ds un quart de la surface totale du plancher.



. Méthode permettant d'écrire les équations du système :

Considérons par exemple le nœud 16. Le nœud est situé : en 3<sup>ème</sup> position dans le sens x et en 2<sup>ème</sup> position dans le sens y.

Dans le sens x :  $V = \sum_{k=1}^{m=n} a'_{3k} X_k$  ; Dans le sens y :  $V = \sum_{h=1}^{h=m} b'_{2h} (P_h - X_h)$

Dans notre cas ( $k=h=1,2,\dots,13$ )  $\Leftrightarrow m=n=13$

on a alors  $\sum_{k=1} a'_{3k} X_k - \sum_{h=1} a'_{2k} (P_h - X_h) = 0$

Les charges  $X_i, Y_i$  étant les parts de la charge  $P_i$  qui reviennent respectivement à la poutre (b) et à la poutre (a) en leur point de croisement. Nous aurons donc pour le nœud 16 :

$$\begin{aligned} (a) \quad & a_{31} X_2 + a_{32} X_9 + a_{33} X_{16} + a_{34} X_{23} + a_{35} X_{30} + a_{36} X_{37} + a_{37} X_{44} + a_{38} X_{37} + \\ & a_{39} X_{30} + a_{2.10} X_{23} + a_{2.11} X_{16} + a_{2.12} X_9 + a_{2.13} X_2 = a_{21} Y_{15} + a_{22} Y_{16} + a_{23} Y_{17} \\ & a_{24} Y_{18} + a_{25} Y_{19} + a_{26} Y_{20} + a_{27} Y_{27} + a_{28} Y_{20} + a_{29} Y_{19} + a_{2.10} Y_{18} + \\ & a_{2.11} Y_{17} + a_{2.12} Y_{16} + a_{2.13} Y_{15} \end{aligned}$$

Le Réseau que nous avons à étudier est supposé chargé uniformément  $Q$  : charge par  $m^2$ . Nous assimilerons la charge qui revient à chaque nœud à une charge ponctuelle  $P$  tel que :  $P = QS$ ,  $S$  est la surface qui revient à chaque nœud.  $S$  est la même pour tous les nœuds  $\Rightarrow P$  sera également la même pour tous les nœuds.

L'équation (a) devient en tenant compte de la relation (4) :

$$\begin{aligned} & (a_{31} + a_{2.13}) X_2 + (a_{32} + a_{2.12}) X_9 + (a_{33} + a_{2.11}) X_{16} + (a_{34} + a_{2.10}) X_{23} + (a_{35} + a_{2.9}) X_{30} \\ & (a_{36} + a_{2.8}) X_{37} + a_{37} X_{44} = (a_{21} + a_{2.15}) (P - X_{15}) + (a_{22} + a_{2.12}) (P - X_{16}) + \\ & (a_{23} + a_{2.13}) (P - X_{17}) + (a_{24} + a_{2.14}) (P - X_{18}) + (a_{25} + a_{2.15}) (P - X_{19}) + (a_{26} + a_{2.16}) (P - X_{20}) \\ & + a_{27} (P - X_{21}) \end{aligned}$$

En remplaçant les coefficients d'influence par leurs valeurs numériques

On obtient :

$$\begin{aligned} & 38 X_2 + 190 X_9 + 71 X_{15} + 406 X_{16} + 190 X_{17} + 232 X_{18} + 262 X_{19} + 280 X_{20} \\ & + 143 X_{21} + 333 X_{22} + 378 X_{30} + 405 X_{37} + 207 X_{44} = 1314 P \end{aligned}$$



Nouveaux

Système d'équation D'ordre "49" Pour P=1<sup>t</sup>

- 1 .  $76 X_1 + 71 X_2 + 98 X_3 + 119 X_4 + 134 X_5 + 143 X_6 + 73 X_7 + 71 X_8 + 98 X_{15} + 119 X_{22} + 134 X_{29} + 143 X_{36} + 73 X_{43} = 676$
- 2 .  $71 X_1 + 174 X_2 + 190 X_3 + 232 X_4 + 262 X_5 + 280 X_6 + 443 X_7 + 71 X_8 + 98 X_{16} + 119 X_{23} + 134 X_{30} + 143 X_{37} + 73 X_{44} = 1314$
- 3 .  $98 X_1 + 190 X_2 + 308 X_3 + 333 X_4 + 378 X_5 + 405 X_6 + 207 X_7 + 71 X_{10} + 98 X_{17} + 119 X_{24} + 134 X_{31} + 143 X_{38} + 73 X_{45} = 1881$
- 4 .  $119 X_1 + 232 X_2 + 333 X_3 + 354 X_4 + 476 X_5 + 512 X_6 + 262 X_7 + 71 X_{11} + 98 X_{18} + 119 X_{25} + 134 X_{32} + 143 X_{39} + 73 X_{46} = 2350$
- 5 .  $134 X_1 + 262 X_2 + 378 X_3 + 476 X_4 + 588 X_5 + 595 X_6 + 305 X_7 + 71 X_{12} + 98 X_{19} + 119 X_{26} + 134 X_{33} + 143 X_{40} + 73 X_{47} = 2700$
- 6 .  $143 X_1 + 280 X_2 + 405 X_3 + 512 X_4 + 595 X_5 + 686 X_6 + 333 X_7 + 71 X_{13} + 98 X_{20} + 119 X_{27} + 134 X_{34} + 143 X_{41} + 73 X_{48} = 2916$
- 7 .  $146 X_1 + 286 X_2 + 414 X_3 + 524 X_4 + 610 X_5 + 666 X_6 + 318 X_7 + 71 X_{14} + 98 X_{21} + 119 X_{28} + 134 X_{35} + 143 X_{42} + 73 X_{49} = 2989$
- 8 .  $71 X_1 + 174 X_2 + 71 X_3 + 98 X_{10} + 119 X_{11} + 134 X_{12} + 143 X_{13} + 73 X_{14} + 190 X_{15} + 232 X_{22} + 262 X_{29} + 280 X_{36} + 143 X_{43} = 676$
- 9 .  $71 X_2 + 71 X_3 + 272 X_3 + 190 X_{10} + 232 X_{11} + 262 X_{12} + 280 X_{13} + 143 X_{14} + 190 X_{16} + 232 X_{23} + 262 X_{30} + 280 X_{37} + 143 X_{44} = 1314$
- 10 .  $71 X_3 + 98 X_8 + 190 X_9 + 406 X_{10} + 333 X_{11} + 378 X_{12} + 405 X_{13} + 207 X_{14} + 190 X_{17} + 232 X_{24} + 262 X_{31} + 280 X_{38} + 143 X_{45} = 1881$
- 11 .  $71 X_4 + 119 X_8 + 232 X_9 + 333 X_{10} + 552 X_{11} + 476 X_{12} + 512 X_{13} + 262 X_{14} + 190 X_{18} + 232 X_{25} + 262 X_{32} + 280 X_{39} + 143 X_{46} = 2350$
- 12 .  $71 X_5 + 134 X_8 + 262 X_9 + 378 X_{10} + 476 X_{11} + 686 X_{12} + 595 X_{13} + 305 X_{14} + 190 X_{19} + 232 X_{26} + 262 X_{33} + 280 X_{40} + 143 X_{47} = 2700$
- 13 .  $71 X_6 + 143 X_8 + 280 X_9 + 405 X_{10} + 512 X_{11} + 595 X_{12} + 784 X_{13} + 333 X_{14} + 190 X_{20} + 232 X_{27} + 262 X_{34} + 280 X_{41} + 143 X_{48} = 2916$
- 14 .  $71 X_7 + 146 X_8 + 286 X_9 + 414 X_{10} + 524 X_{11} + 610 X_{12} + 666 X_{13} + 476 X_{14} + 190 X_{21} + 232 X_{28} + 262 X_{35} + 280 X_{42} + 143 X_{49} = 2989$
- 15 .  $98 X_1 + 190 X_8 + 308 X_{15} + 71 X_{16} + 98 X_{17} + 119 X_{18} + 134 X_{19} + 143 X_{20} + 73 X_{21} + 333 X_{22} + 378 X_{29} + 405 X_{36} + 207 X_{43} = 676$
- 16 .  $98 X_2 + 190 X_9 + 71 X_{15} + 406 X_{16} + 190 X_{17} + 232 X_{18} + 262 X_{19} + 280 X_{20} + 143 X_{21} + 333 X_{23} + 378 X_{30} + 405 X_{37} + 207 X_{44} = 1314$
- 17 .  $98 X_3 + 190 X_{10} + 98 X_{15} + 190 X_{16} + 540 X_{17} + 333 X_{18} + 378 X_{19} + 405 X_{20} + 207 X_{21} + 333 X_{24} + 378 X_{31} + 405 X_{38} + 207 X_{45} = 1881$
- 18 .  $98 X_4 + 190 X_{11} + 119 X_{15} + 232 X_{16} + 333 X_{17} + 686 X_{18} + 476 X_{19} + 512 X_{20} + 262 X_{21} + 333 X_{25} + 378 X_{32} + 405 X_{39} + 207 X_{46} = 2350$
- 19 .  $98 X_5 + 190 X_{12} + 134 X_{15} + 262 X_{16} + 378 X_{17} + 476 X_{18} + 820 X_{19} + 595 X_{20} + 305 X_{21} + 333 X_{26} + 378 X_{33} + 405 X_{40} + 207 X_{47} = 2700$
- 20 .  $98 X_6 + 190 X_{13} + 143 X_{15} + 280 X_{16} + 405 X_{17} + 512 X_{18} + 595 X_{19} + 918 X_{20} + 333 X_{21} + 333 X_{27} + 378 X_{34} + 405 X_{41} + 207 X_{48} = 2916$
- 21 .  $98 X_7 + 190 X_{14} + 146 X_{15} + 286 X_{16} + 414 X_{17} + 524 X_{18} + 610 X_{19} + 666 X_{20} + 613 X_{21} + 333 X_{28} + 378 X_{35} + 405 X_{42} + 207 X_{49} = 2989$
- 22 .  $119 X_1 + 232 X_8 + 333 X_{15} + 454 X_{22} + 71 X_{23} + 98 X_{24} + 119 X_{25} + 134 X_{26} + 143 X_{27} + 73 X_{28} + 476 X_{29} + 512 X_{36} + 262 X_{43} = 676$
- 23 .  $119 X_2 + 232 X_9 + 333 X_{16} + 71 X_{22} + 552 X_{23} + 190 X_{24} + 232 X_{25} + 262 X_{26} + 280 X_{27} + 143 X_{28} + 476 X_{30} + 512 X_{37} + 262 X_{44} = 1314$
- 24 .  $119 X_3 + 232 X_{10} + 333 X_{17} + 98 X_{22} + 190 X_{23} + 696 X_{24} + 333 X_{25} + 378 X_{26} + 405 X_{27} + 280 X_{28} + 476 X_{31} + 512 X_{38} + 262 X_{45} = 1881$
- 25 .  $119 X_4 + 232 X_{11} + 333 X_{18} + 119 X_{22} + 232 X_{23} + 333 X_{24} + 832 X_{25} + 476 X_{26} + 512 X_{27} + 262 X_{28} + 476 X_{32} + 512 X_{39} + 262 X_{46} = 2350$
- 26 .  $119 X_5 + 232 X_{12} + 333 X_{19} + 134 X_{22} + 262 X_{23} + 378 X_{24} + 476 X_{25} + 966 X_{26} + 595 X_{27} + 305 X_{28} + 476 X_{33} + 512 X_{40} + 262 X_{47} = 2700$
- 27 .  $119 X_6 + 232 X_{13} + 333 X_{20} + 143 X_{22} + 280 X_{23} + 405 X_{24} + 966 X_{25} + 595 X_{26} + 1064 X_{27} + 333 X_{28} + 476 X_{34} + 512 X_{41} + 262 X_{48} = 2916$
- 28 .  $119 X_7 + 232 X_{14} + 333 X_{21} + 146 X_{22} + 286 X_{23} + 414 X_{24} + 595 X_{25} + 610 X_{26} + 666 X_{27} + 759 X_{28} + 476 X_{35} + 512 X_{42} + 262 X_{49} = 2989$



- 29.  $134 X_1 + 262 X_2 + 378 X_3 + 476 X_4 + 588 X_5 + 31 X_6 + 98 X_7 + 119 X_8 + 134 X_9 + 143 X_{10} + 33 X_{11} + 595 X_{12} + 305 X_{13} = 676$
- 30.  $134 X_2 + 262 X_3 + 378 X_4 + 476 X_5 + 71 X_6 + 286 X_7 + 190 X_8 + 232 X_9 + 262 X_{10} + 280 X_{11} + 143 X_{12} + 595 X_{13} + 305 X_{14} = 1314$
- 31.  $134 X_3 + 262 X_4 + 378 X_5 + 476 X_6 + 98 X_7 + 190 X_8 + 220 X_9 + 335 X_{10} + 378 X_{11} + 405 X_{12} + 207 X_{13} + 595 X_{14} + 305 X_{15} = 1881$
- 32.  $134 X_4 + 262 X_5 + 378 X_6 + 476 X_7 + 119 X_8 + 252 X_9 + 331 X_{10} + 962 X_{11} + 476 X_{12} + 512 X_{13} + 262 X_{14} + 595 X_{15} + 305 X_{16} = 2350$
- 33.  $134 X_5 + 262 X_6 + 378 X_7 + 476 X_8 + 134 X_9 + 262 X_{10} + 378 X_{11} + 476 X_{12} + 1100 X_{13} + 595 X_{14} + 305 X_{15} + 595 X_{16} + 305 X_{17} = 2700$
- 34.  $134 X_6 + 262 X_7 + 378 X_8 + 476 X_9 + 143 X_{10} + 280 X_{11} + 512 X_{12} + 595 X_{13} + 1198 X_{14} + 335 X_{15} + 595 X_{16} + 305 X_{17} = 2916$
- 35.  $134 X_7 + 262 X_8 + 378 X_9 + 476 X_{10} + 146 X_{11} + 286 X_{12} + 146 X_{13} + 524 X_{14} + 610 X_{15} + 666 X_{16} + 893 X_{17} + 595 X_{18} = 2989$

- 36.  $143 X_1 + 280 X_2 + 405 X_3 + 512 X_4 + 595 X_5 + 686 X_6 + 71 X_7 + 98 X_8 + 119 X_9 + 134 X_{10} + 143 X_{11} + 333 X_{12} = 676$
- 37.  $143 X_2 + 280 X_3 + 405 X_4 + 512 X_5 + 595 X_6 + 71 X_7 + 784 X_8 + 190 X_9 + 232 X_{10} + 262 X_{11} + 280 X_{12} + 143 X_{13} + 333 X_{14} = 1314$
- 38.  $143 X_3 + 280 X_4 + 405 X_5 + 512 X_6 + 595 X_7 + 98 X_8 + 190 X_9 + 918 X_{10} + 333 X_{11} + 378 X_{12} + 405 X_{13} + 207 X_{14} + 333 X_{15} = 1881$
- 39.  $143 X_4 + 280 X_5 + 405 X_6 + 512 X_7 + 595 X_8 + 119 X_9 + 232 X_{10} + 333 X_{11} + 1064 X_{12} + 476 X_{13} + 512 X_{14} + 262 X_{15} + 333 X_{16} = 2350$
- 40.  $143 X_5 + 280 X_6 + 405 X_7 + 512 X_8 + 595 X_9 + 134 X_{10} + 262 X_{11} + 378 X_{12} + 476 X_{13} + 1198 X_{14} + 595 X_{15} + 305 X_{16} + 333 X_{17} = 2700$
- 41.  $143 X_6 + 280 X_7 + 405 X_8 + 512 X_9 + 595 X_{10} + 143 X_{11} + 280 X_{12} + 405 X_{13} + 512 X_{14} + 1236 X_{15} + 333 X_{16} + 333 X_{17} = 2916$
- 42.  $143 X_7 + 280 X_8 + 405 X_9 + 512 X_{10} + 595 X_{11} + 146 X_{12} + 286 X_{13} + 146 X_{14} + 524 X_{15} + 610 X_{16} + 666 X_{17} + 991 X_{18} + 333 X_{19} = 2989$

- 43.  $146 X_1 + 286 X_2 + 414 X_3 + 524 X_4 + 610 X_5 + 666 X_6 + 381 X_7 + 71 X_8 + 98 X_9 + 119 X_{10} + 134 X_{11} + 143 X_{12} + 73 X_{13} = 676$
- 44.  $146 X_2 + 286 X_3 + 414 X_4 + 524 X_5 + 610 X_6 + 666 X_7 + 71 X_8 + 473 X_9 + 190 X_{10} + 232 X_{11} + 262 X_{12} + 143 X_{13} + 333 X_{14} = 1314$
- 45.  $146 X_3 + 286 X_4 + 414 X_5 + 524 X_6 + 610 X_7 + 666 X_8 + 98 X_9 + 190 X_{10} + 613 X_{11} + 333 X_{12} + 378 X_{13} + 405 X_{14} + 207 X_{15} = 1881$
- 46.  $146 X_4 + 286 X_5 + 414 X_6 + 524 X_7 + 610 X_8 + 666 X_9 + 119 X_{10} + 232 X_{11} + 333 X_{12} + 759 X_{13} + 376 X_{14} + 512 X_{15} + 262 X_{16} = 2350$
- 47.  $146 X_5 + 286 X_6 + 414 X_7 + 524 X_8 + 610 X_9 + 666 X_{10} + 134 X_{11} + 262 X_{12} + 378 X_{13} + 476 X_{14} + 893 X_{15} + 595 X_{16} + 305 X_{17} = 2700$
- 48.  $146 X_6 + 286 X_7 + 414 X_8 + 524 X_9 + 610 X_{10} + 666 X_{11} + 143 X_{12} + 280 X_{13} + 405 X_{14} + 512 X_{15} + 595 X_{16} + 991 X_{17} + 333 X_{18} = 2916$
- 49.  $147 X_7 + 286 X_8 + 414 X_9 + 524 X_{10} + 610 X_{11} + 666 X_{12} + 146 X_{13} + 286 X_{14} + 146 X_{15} + 524 X_{16} + 610 X_{17} + 666 X_{18} + 686 X_{19} = 2989$

- Solution du système du système d'ordre 49 " Sur Ordinateur

|               |                   |                  |                   |                   |                   |                   |
|---------------|-------------------|------------------|-------------------|-------------------|-------------------|-------------------|
| $X_1 = 0,499$ | $X_8 = 0,253$     | $X_{15} = 0,161$ | $X_{22} = 0,1298$ | $X_{29} = 0,943$  | $X_{36} = 0,0847$ | $X_{43} = 0,1007$ |
| $X_2 = 0,744$ | $X_9 = 0,499$     | $X_{16} = 0,335$ | $X_{23} = 0,2451$ | $X_{30} = 0,2448$ | $X_{37} = 0,4128$ | $X_{44} = 0,252$  |
| $X_3 = 0,837$ | $X_{10} = 0,661$  | $X_{17} = 0,502$ | $X_{24} = 0,3781$ | $X_{31} = 0,244$  | $X_{38} = 0,560$  | $X_{45} = -0,154$ |
| $X_4 = 0,878$ | $X_{11} = 0,7490$ | $X_{18} = 0,614$ | $X_{25} = 0,5128$ | $X_{32} = 0,493$  | $X_{39} = -0,049$ | $X_{46} = 1,032$  |
| $X_5 = 0,899$ | $X_{12} = 0,794$  | $X_{19} = 0,668$ | $X_{26} = 0,6238$ | $X_{33} = 0,429$  | $X_{40} = 0,7301$ | $X_{47} = 0,011$  |
| $X_6 = 0,909$ | $X_{13} = 0,816$  | $X_{20} = 0,720$ | $X_{27} = 0,9433$ | $X_{34} = 0,5918$ | $X_{41} = 0,4317$ | $X_{48} = 0,556$  |
| $X_7 = 0,912$ | $X_{14} = 0,821$  | $X_{21} = 0,732$ | $X_{28} = 0,2478$ | $X_{35} = 0,5576$ | $X_{42} = 0,5071$ | $X_{49} = 0,526$  |

Tableau récapitulatif des moments pour  $P = 1^t$

|                  |       |        |        |        |        |        |        |
|------------------|-------|--------|--------|--------|--------|--------|--------|
| Noeuds           | 1     | 8-2    | 15-3   | 22-4   | 29-5   | 36-6   | 43-7   |
| Poutre $a_1=b_1$ | 1,911 | 3,072  | 3,853  | 4,392  | 4,735  | 4,937  | 5,013  |
| Noeuds           | 2-8   | 9      | 16-10  | 23-11  | 30-12  | 37-13  | 44-14  |
| Poutre $a_2=b_2$ | 3,466 | 5,816  | 7,418  | 8,516  | 9,247  | 9,605  | 9,795  |
| Noeuds           | 3-15  | 10-16  | 17     | 24-18  | 31-19  | 38-20  | 45-21  |
| Poutre $a_3=b_3$ | 4,66  | 8,065  | 10,478 | 12,138 | 13,230 | 13,957 | 14,41  |
| Noeuds           | 4-22  | 11-23  | 18-24  | 25     | 32-26  | 39-27  | 46-28  |
| Poutre $a_4=b_4$ | 5,55  | 9,783  | 12,892 | 15,080 | 16,499 | 17,178 | 17,982 |
| Noeuds           | 5-29  | 12-30  | 19-31  | 26-32  | 33     | 40-34  | 47-35  |
| Poutre $a_5=b_5$ | 15,23 | 11,010 | 14,650 | 17,260 | 19,00  | 20,11  | 20,131 |
| Noeuds           | 6-36  | 13-37  | 20-38  | 27-39  | 34-40  | 41     | 48-42  |
| Poutre $a_6=b_6$ | 6,675 | 11,987 | 16,066 | 19,05  | 21,04  | 22,194 | 22,589 |
| Noeuds           | 7-43  | 14-44  | 21-45  | 28-46  | 35-47  | 42-48  | 49,00  |
| Poutre $a_7=b_7$ | 6,679 | 11,99  | 16,071 | 19,052 | 21,044 | 22,199 | 22,593 |



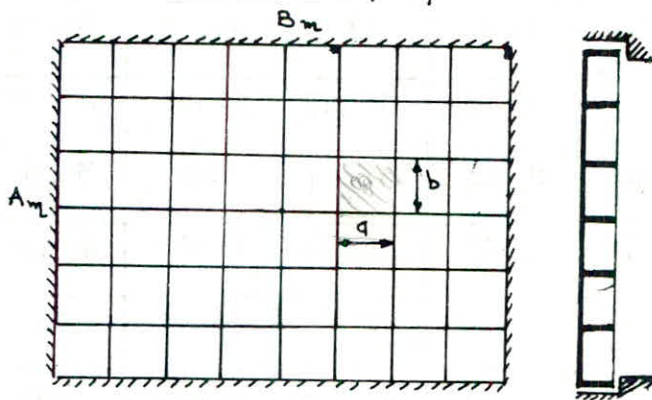
# METHODE APPROCHÉE

## PRINCIPE de La Méthode

Elle permet d'évaluer rapidement les efforts sollicitants les éléments d'un plancher à poutres croisées.

Cette méthode est basée sur les deux hypothèses suivantes:

1. pour les deux poutres médianes  $A_m$  et  $B_m$ , la charge  $q/m^2$ , appliquée au plancher se répartit selon la relation  $q = q_a + q_b$ .
2. Les moments fléchissants sont proportionnels aux flèches.



Soit  $q$ : charge par  $m^2$  obtenue en faisant la descente de charge pour le plancher cette charge se répartit suivant les directions A et B en  $q_a$  et  $q_b$  telle que l'on ait :

$$q = q_a + q_b \quad (1)$$

Considérons les deux poutres médianes  $a_7$  et  $b_7$ ; si l'on suppose qu'elles sont simplement appuyées leurs flèches au milieu de leurs travées sont:

$$f_{a_7} = \frac{5q_a l_a^4 b}{384 EI_a} \quad \text{et} \quad f_{b_7} = \frac{5q_b l_b^4 a}{384 EI_b} \quad (2)$$

au droit de leur croisement, les poutres  $a_7$  et  $b_7$  sont solidaires, leurs flèches  $f_{a_7}$  et  $f_{b_7}$  sont égales:

$$f_{a_7} = f_{b_7} \Rightarrow \frac{q_a l_a^4 b}{EI_a} = \frac{q_b l_b^4 a}{EI_b} \quad (3)$$

Les deux poutres sont identiques c.à dire  $bEI_b = aEI_a$

$$\textcircled{3} \Rightarrow q_a l_a^4 = q_b l_b^4$$

En tenant de la relation (1) on aboutit à :  $q_a l_a^4 = (q - q_a) l_b^4$  (4)  
 d'où :

$$q_a = \frac{l_b^4 q}{l_a^4 + l_b^4}$$

$$\text{et } q_b = \frac{l_a^4 q}{l_a^4 + l_b^4}$$

Les moments fléchissants maximums pour ces deux poutres médianes sont :

$$M_{a_T} = \frac{1}{8} q_a \cdot b \cdot l_a^2 \quad M_{b_T} = \frac{1}{8} q_b \cdot a \cdot l_b^2$$

Les flèches pour les poutres  $a_1, a_2, \dots, a_i$  et  $b_1, b_2, \dots, b_i$  sont respectivement :

$$f_{a_1}, f_{a_2}, \dots, f_{a_i}, f_{b_1}, f_{b_2}, \dots, f_{b_i}$$

De la relation de proportionnalité qui existe entre flèches et moments fléchissants, On détermine la charge par  $m^2$  qui revient à chaque poutre :

$$M_{a_1} = \frac{f_{a_1}}{f_{a_T}} M_{a_T} \Rightarrow q_{a_1} = \frac{f_{a_1}}{f_{a_T}} q_a$$

Les moments fléchissants maximums et efforts tranchants seront calculés par la RDM.

Pour déterminer la charge relative par  $m^2$  relative à chaque poutre, on fait le produit de la charge par  $m^2$  par la largeur de bande qui revient à chaque poutre.

$$\text{Poutre } a_i : q'_{a_i} = b q_{a_i} = \frac{f_{a_i}}{f_{a_T}} b q_a$$

$$\text{Poutre } b_i : q'_{b_i} = a q_{b_i}$$

Les poutres sont considérées comme simplement appuyées, la flèche à la distance  $x_a$  de l'appui aura pour expression en posant :

$$\frac{x_a}{l_a} = \theta_a \quad \text{et} \quad \frac{x_b}{l_b} = \theta_b$$

$$f_a = \frac{q_a l_a^4 b}{24 EI} (\theta_a - 2\theta_a^2 + \theta_a^4)$$

$$\text{Pour la poutre médiane } a_T : \quad \frac{x_a}{l_a} = \frac{1}{2} \quad f_{a_T} = \frac{5 q_a l_a^4 b}{384 EI}$$

\* Calcul des moments fléchissants maximums dans le réseau des poutres croisées selon la méthode approchée.

espacement des poutres  $a = b = 1,50\text{ m}$

charge relative aux poutres médianes:  $l_a = l_b = 21,00\text{ m}$  pour  $q = 1\text{ t/m}^2$

Poutre  $a_7$ :  $q_{a7} = \frac{l_b^4 q}{(l_a^4 + l_b^4)} = \frac{21^4 \times 1}{(21^4 + 21^4)} = 0,5\text{ t/m}^2$

Poutre  $b_7$ :  $q_{b7} = \frac{l_a^4}{(l_a^4 + l_b^4)} q = 0,5\text{ t/m}^2$

Détermination des rapports des flèches

$$\frac{W_{a7}}{W_{b7}} = \frac{W_{b1}}{W_{b7}} = \frac{q_a l_a^4 b}{24EI} (\theta_a - 2\theta_a^3 + \theta_a^4) \times \frac{384EI}{5q_b l_b^4 b} = \frac{16}{5} (\theta_a - 2\theta_a^3 + \theta_a^4)$$

\* charge relative à chaque poutre par ml  $q'_{bi} = q'_a = \frac{W_{ai}}{W_{as}} a q_{a7}$

.  $x = 1,5$   $\theta = \frac{1,5}{21} = 0,0714 \rightarrow \frac{W_{a1}}{W_{a7}} = \frac{W_{b1}}{W_{b7}} = 0,225 \rightarrow q'_{a1} = q'_{b1} = 0,168\text{ t/ml}$

.  $x = 3$  ,  $\theta = \frac{3}{21} = 0,142 \rightarrow \frac{W_{a2}}{W_{a7}} = \frac{W_{b2}}{W_{b7}} = 0,439 \rightarrow q'_{a2} = q'_{b2} = 0,329\text{ t/ml}$

.  $x = 4,5\text{ m}$  ;  $\theta = 0,214 \rightarrow \frac{W_{a3}}{W_{a7}} = \frac{W_{b3}}{W_{b7}} = 0,629 \rightarrow q'_{a3} = q'_{b3} = 0,472\text{ t/ml}$

.  $x = 6\text{ m}$  ;  $\theta = 0,285 \rightarrow \frac{W_{a4}}{W_{a7}} = \frac{W_{b4}}{W_{b7}} = 0,784 \rightarrow q'_{a4} = q'_{b4} = 0,588\text{ t/ml}$

.  $x = 7,5\text{ m}$  ;  $\theta = 0,428 \rightarrow \frac{W_{a5}}{W_{a7}} = \frac{W_{b5}}{W_{b7}} = 0,918 \rightarrow q'_{a5} = q'_{b5} = 0,688\text{ t/ml}$

.  $x = 9\text{ m}$  ;  $\theta = 0,428 \rightarrow \frac{W_{a6}}{W_{a7}} = \frac{W_{b6}}{W_{b7}} = 0,975 \rightarrow q'_{a6} = q'_{b6} = 0,731\text{ t/ml}$

.  $x = 10,5\text{ m}$  ,  $\theta = 0,5 \rightarrow \frac{W_{a7}}{W_{a7}} = \frac{W_{b7}}{W_{b7}} = 1 \rightarrow q'_{a7} = q'_{b7} = 0,75\text{ t/ml}$

Moments fléchissants maximums: pour  $q = 1,239\text{ t/m}^2$

| Poutres $a_i \equiv b_i$                   | 1     | 2      | 3      | 4     | 5      | 6     | 7     |
|--------------------------------------------|-------|--------|--------|-------|--------|-------|-------|
| Moments $M_{ai} \equiv M_{bi}$             |       |        |        |       |        |       |       |
| $M_{ai} \equiv M_{bi}$ [Méth. approché]    | 11,47 | 22,47  | 32,24  | 40,16 | 47,02  | 49,97 | 51,22 |
| Méthode exacte<br>$M'_{ai} \equiv M'_{bi}$ | 13,98 | 27,298 | 40,975 | 49,97 | 56,105 | 62,95 | 62,98 |
| rapport $\tau_i = \frac{M_{ai}}{M'_{ai}}$  | 1,21  | 1,21   | 1,27   | 1,24  | 1,19   | 1,25  | 1,22  |

Conclusion: Les moments trouvés par la méthode approchée sont inférieurs aux moments obtenus par la théorie des poutres croisées, mais le rapport n'est pas très grand, donc la méthode approchée peut servir pour le prédimensionnement des poutres croisées.



CALCUL du Ferrailage

Le Ferrailage est déterminé par la Méthode exacte (Théorie des Poutres croisées)

. Prédimensionnement des poutres : Méthode approchée .

- Poutre a<sub>i</sub> :

Dimension : h<sub>t</sub> = 80 cm , b<sub>0</sub> = 25 cm , h<sub>0</sub> = 7,0 cm ; d = 8 cm

. Détermination de La largeur (b) de Compression :

La largeur b de compression est limitée à :

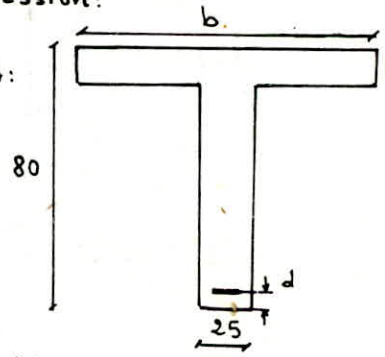
1.  $b_1 \leq \frac{l}{2} = \frac{125}{2} = 62,5 \text{ cm}$

2.  $b_1 \leq \frac{l}{10} = 206 \text{ cm}$

3.  $6 h_0 \leq b_1 \leq 8 h_0$  (condition de cisaillement)

→  $42 \text{ cm} \leq b_1 \leq 56 \text{ cm}$

On prend  $b_1 = 47,5 \text{ cm} \rightarrow b = b_0 + 2b_1 = 25 + 2 \cdot 47,5 \rightarrow b = 120 \text{ cm}$



- Poutre b<sub>i</sub> :

Dimension : h<sub>t</sub> = 80 cm , b<sub>0</sub> = 25 cm , h<sub>0</sub> = 7,0 cm , d = 8 cm

Déscente de charges

. Poids par m<sup>2</sup> du Réseau de poutres croisées

13 Poutres a<sub>i</sub> :  $13 \cdot 0,73 \cdot 0,25 \cdot 21 \cdot 2500 = 124556,25$

13 Poutres b<sub>i</sub> : " " " = 124556,25

tot : 249112,5 kg

Poids par m<sup>2</sup> :  $\frac{249112,5}{21^2} = 564,88 \text{ kg/m}^2$

. soit :

|                                                            |                                 |
|------------------------------------------------------------|---------------------------------|
| - GraviLLons + étancheite + Liège + Forme de pente         | 322 kg/m <sup>2</sup>           |
| - Plafond suspendu (30 kg/m <sup>2</sup> ) + platre (2 cm) | 58 kg/m <sup>2</sup>            |
| - Dalle (7 cm)                                             | 175 kg/cm <sup>2</sup>          |
| - Réseau de poutres croisées                               | 564,5 kg/m <sup>2</sup>         |
| - surcharge d'exploitation 1,2 x 100                       | 120 kg/m <sup>2</sup>           |
|                                                            | <hr/>                           |
|                                                            | total: 1239,8 kg/m <sup>2</sup> |

$Q = 1239,8 \text{ kg/m}^2 \rightarrow P = Q S = 1239,8 \cdot 1,5^2 = 2,78 \text{ tonne.}$

Ferraillage

Le calcul des sections d'Aciers pour chaque poutre du réseau se fait à partir du moment maximum.

a/ Poutre (a):

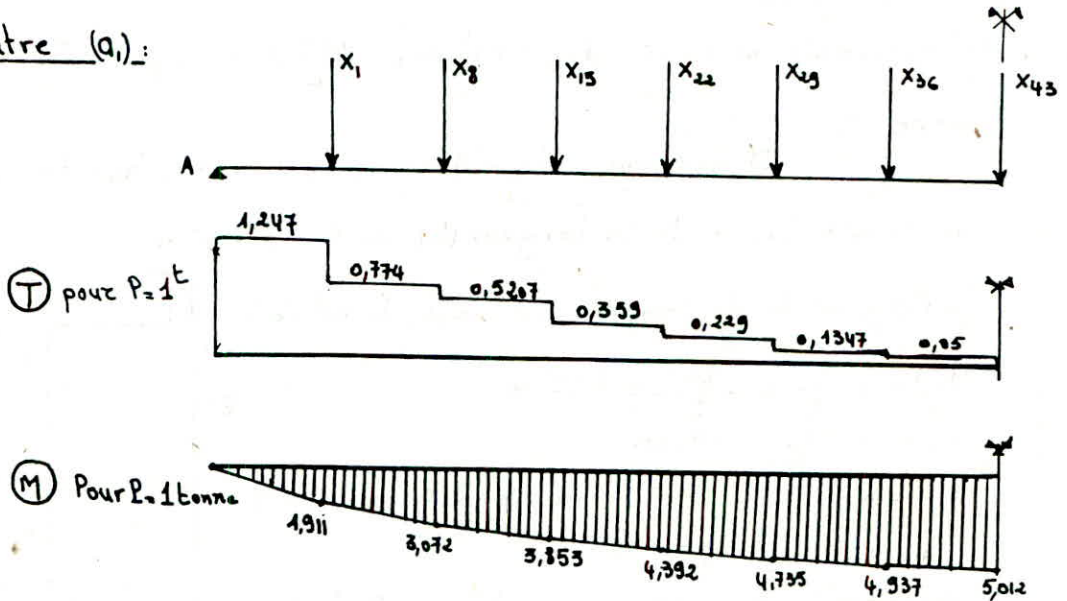


Tableau donnant les moments aux différents nœuds de la poutre et efforts tranchants entre les nœuds pour P = 2,78 tonne.

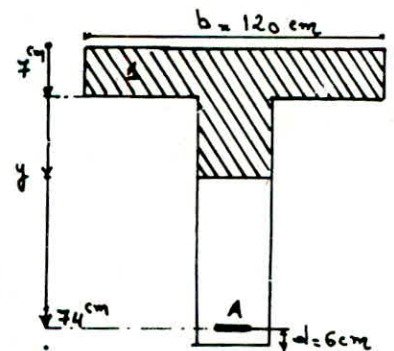
| Poutre a, | Noeud  | 1     | 8     | 15    | 22    | 29    | 36     | 43    |
|-----------|--------|-------|-------|-------|-------|-------|--------|-------|
|           | M(t.m) |       | 5,325 | 8,561 | 10,74 | 12,24 | 13,196 | 13,76 |
| T(t)      | A à 1  | 1-8   | 8-15  | 15-22 | 22-29 | 29-36 | 36-43  |       |
|           |        | 3,551 | 2,158 | 1,451 | 1     | 0,638 | 0,375  | 0,139 |

Calcul des armatures :

Moment entravée:  $M_t^{max} = 13,97 \text{ t.m.}$

$M_T = K_T b h^2$  avec  $K_T = \frac{\bar{\sigma}_e}{2n} \frac{h-h_0/3}{h-h_0}$

$M_T = 99,85 \times 120 \cdot \bar{f}^2 = 587023,95 \text{ kg.cm} < M_t^{max}$   
 l'axe neutre tombe dans la nervure.



On procède par itérations

1<sup>ère</sup> approximation à partir de:  $\bar{\sigma}_e = 2800 \text{ kg/cm}^2$   
 $\bar{\sigma}'_e = 35 \text{ kg/cm}^2$

L'axe neutre est :  $y = \alpha h$  avec  $\alpha = \frac{n \sigma_b}{\bar{\sigma}_a + n \sigma_b}$  soit  $\alpha = \frac{15,135}{2800 + 15135} = 0,157$

donc  $y = 0,157 \cdot 74 = 11,68 \text{ cm} > h_0 = 7 \text{ cm}$  ; le calcul se fait par différence des deux sections rectangulaires ① et ②.

Section ① :  $b_1 = 120$  ,  $h_1 = 74 \text{ cm}$  ,  $\sigma'_{b1} = 35 \text{ kg/cm}^2$  ,  $\alpha_1 = 0,157$

$$\gamma_1 = 1 - \frac{\alpha_1}{3} = 0,947 \quad ; \quad M_{rb1} = \frac{1}{2} \sigma'_{b1} \alpha_1 \gamma_1 b_1 h_1^2 = \frac{1}{2} 35 \cdot 0,157 \cdot 0,947 \cdot 120 \cdot 74^2 = 17,09 \text{ t.m}$$

$$A_1 = \frac{M_{rb1}}{\gamma_1 h_1 \bar{\sigma}_a} = \frac{17,09 \cdot 10^5}{0,947 \cdot 74 \cdot 2800} = 8,71 \text{ cm}^2$$

Section ② :  $b_2 = 95 \text{ cm}$  ;  $h_2 = 67 \text{ cm}$  ;  $\sigma'_{b2} = \sigma'_{b1} \frac{x - h_0}{y} = 35 \frac{11,68 - 7}{11,68} = 14,02$

$$\alpha_2 = \frac{n \sigma'_{b2}}{n \sigma'_{b2} + \bar{\sigma}_a} = 0,069 \quad \rightarrow \quad \gamma_2 = 0,976 \quad ; \quad M_{rb2} = 2,013 \text{ t.m}$$

$$A_2 = \frac{M_{rb2}}{\gamma_2 h_2 \bar{\sigma}_a} = 1,09 \text{ cm}^2$$

au total  $M_{rb} = M_{rb1} - M_{rb2} = 15,07 \text{ t.m} \approx M^{ext} = 13,97 \text{ t.m}$  on s'arrête à ce niveau.

On retient :  $A = (A_1 - A_2) \frac{M}{M_{rb}} = (8,71 - 1,09) \cdot \frac{13,97}{15,07} = 7,06 \text{ cm}^2$

on adoptera : 4T/6 (8,04 cm<sup>2</sup>)

### - Vérification diverses

#### • Contraintes

- équation de l'axe neutre :  $\frac{1}{2} b_0 y^2 + (b - b_0)(y - \frac{h_0}{2})h_0 + nA(y - h) = 0$

$$\rightarrow 12,5 y^2 + 785,6 y - 11251,9 = 0 \quad y = 12,02 \text{ cm}$$

- Moment d'inertie :

$$I = \frac{M}{K} = \frac{1}{2} b_0 y^3 - \frac{1}{3} (b - b_0)(y - h_0)^3 + nA(y - h)^2$$

$$I = \frac{1}{3} 120 \cdot 12,02^3 - \frac{1}{3} 95 (12,02 - 7)^3 + 15 \cdot 8,04 (12,02 - 74)^2 \rightarrow I = 5,28 \cdot 10^5 \text{ cm}^4$$

- bras de Levier :

$$z = \frac{I}{S_0} \quad \left\{ \begin{array}{l} I : \text{mom}^t \text{ d'inertie} \\ S_0 : \text{moment statique / } \bar{a} \text{ l'axe neutre} \end{array} \right.$$

$$S_0 = nA(h - y) = 15 \cdot 8,04 (74 - 12,02) = 7474,78 \text{ cm}^3 \rightarrow z = 70,63 \text{ cm}$$



- Contrainte du béton:  $\sigma'_b = \frac{M}{I} y = \frac{13,97}{5,28} 12,02 = 31,8 \text{ kg/cm}^2$

Contrainte de L'Acier:  $\sigma_a = n \frac{M}{I} (h-x) = 15 \cdot \frac{13,97}{5,28} (74 - 12,02) = 2459,8 \text{ kg/cm}^2 < \bar{\sigma}_a$

Contrainte moyenne du béton:

$\sigma'_m = \frac{F}{b h_0 + b_0 (y - h_0)}$  avec  $F = \frac{M}{\delta} = \frac{13,97 \cdot 10^5}{70,65} = 19,7^t$

d'où  $\sigma'_m = \frac{19,779 \cdot 10^3}{120 \times 7 + 25(11,57 - 7)} = 20,72 \text{ kg/cm}^2 < \bar{\sigma}'_{b_0} = 68,5 \text{ kg/cm}^2$   
(Vérifié)

- Limitation de la fissuration

$\bar{\omega}_s = \frac{A}{B_s} = \frac{8,04}{2 \times 6 \times 25} = 0,268 \rightarrow \sigma_a = \min \begin{cases} \max(\sigma_1, \sigma_2) \\ \frac{2}{3} \bar{\sigma}_a \end{cases}$

$\sigma_1 = \frac{k_1 \bar{\omega}_s}{\phi} = \frac{1,510^6 \times 1,6}{16} \frac{0,268}{1+0,268} = 3170,3 \text{ kg/cm}^2 > \bar{\sigma}_a = 2800 \text{ kg/cm}^2$

$\sigma_2 = 2,4 \sqrt{\frac{E_s \bar{\omega}_s}{\phi}} = 2,4 \sqrt{\frac{15 \cdot 10^6 \cdot 1,6 \cdot 0,268}{16}} = 2258 \text{ kg/cm}^2$

$\sigma_a = \bar{\sigma}_a = 2800 \text{ kg/cm}^2$  pas de risque de fissuration.

- Calcul de la flèche La flèche sera maximale au nœud (43), d'après la relation ①:

$$y_{43} = (a_{71} + a_{7.13}) x_1 + (a_{72} + a_{7.12}) x_8 + (a_{73} + a_{7.11}) x_{15} + (a_{74} + a_{7.10}) x_{22} \\ + (a_{75} + a_{7.9}) x_{29} + (a_{76} + a_{7.8}) x_{36} + a_{77} x_{43} \\ y_{43} = 424,45 \cdot 10^3 \quad (946,061 \times 10^3)$$

- Flèche pour charge de faible durée

$V_{43} = K' y_{43}$  avec  $K' = \frac{L^3}{6 E_s I_{gi}}$ ,  $L = a = b = 1,50 \text{ m}$

$I_{gi} = \frac{I_t}{1 + \lambda_i \gamma}$

$I_t$ : moment d'inertie de la section totale rendue homogène.

Détermination de  $I_t$

Position du centre de gravité:  $y_G = \frac{(b-b_0)b_0(h_t - \frac{h_0}{2}) + b_0 \frac{h_t^2}{2} + d n A}{(b-b_0)h_0 + b_0 h_t + n A} = 47,24 \text{ cm}$

$y_G$ : compte à partir du bas de la poutre.

Connaissant  $y_G$  on trouve  $I_t = 1,94 \cdot 10^6 \text{ cm}^4$



$$\lambda_i = \frac{\bar{\sigma}_b}{72(2 + 3 \frac{b_a}{b}) \tilde{\omega}} = \frac{5,9}{72(2 + 3 \cdot \frac{25}{120}) \frac{8,04}{25 \times 74}} = 7,18$$

$$y = 1 - \frac{5\bar{\sigma}_b}{4\tilde{\omega} \sigma_a + 3\bar{\sigma}_b} = 1 - \frac{5 \cdot 5,9}{4 \times 0,0043 \times 2800 + 3 \times 5,9} = 0,552$$

$$E_i = 21000 \sqrt{\sigma'_j} \quad \text{avec } \sigma'_j = 1,2 \sigma'_{28} \Rightarrow E_i = 378 \cdot 10^3 \text{ kg/cm}^2$$

$$I_{f_i} = \frac{I_t}{1 + \lambda_i y} \Rightarrow I_{f_i} = 3,9 \cdot 10^5 \text{ cm}^4$$

$$\text{d'où } V_{43}^{(i)} = \frac{L^3}{6E_i I_{f_i}} y_{43} = \frac{150^3}{6 \cdot 378 \cdot 10^3 \cdot 3,9 \cdot 10^5} \cdot 424,45 \times 2,78 \cdot 10^3 = 4,51 \text{ cm}$$

\* flèche sous charge de longue durée:  $V_{43}^{\infty} = \frac{L^3}{6E_v I_{f_v}} y_{43}$

$$I_{f_v} = \frac{I_t}{1 + \lambda_v y} ; \lambda_v = \frac{\bar{\sigma}_b}{180(2 + 3 \frac{b_a}{b}) \tilde{\omega}}$$

$$\lambda_v = 2,90 \quad y = 0,552 \quad \rightarrow \quad I_{f_v} = 7,45 \cdot 10^5 \text{ cm}^4 ; \quad E_v = \frac{E_i}{3} = 126 \cdot 10^3 \text{ kg/cm}^2$$

• charge permanente :  $Q_c = 1,119 \text{ t/m}^2 \Rightarrow P = Q \cdot S = 1,119 \times 1,5^2 = 2,51 \text{ t}$

$$\Rightarrow y_{43} = 424,45 \times 2,51 \cdot 10^3 = 1,065 \cdot 10^6 \Rightarrow V_{43}^{\infty} = \frac{150^3}{6 \cdot 1,26 \cdot 10^5 \cdot 7,45 \cdot 10^5} \cdot 1,065 \cdot 10^6 = 6,33 \text{ cm}$$

$$\Delta f = V_{43}^{\infty} - V_{43}^i = 6,33 - 4,51 = 1,81 \text{ cm} < \bar{f}_a = 0,5 + \frac{l}{1000} = 2,6 \text{ cm}$$

(Vérifié)

Tableau récapitulatif du Ferrailage

| Poutres        | M(k.m) | $A_c$ (cm <sup>2</sup> ) | $A_{adopté}$ | Ø               |
|----------------|--------|--------------------------|--------------|-----------------|
| a <sub>1</sub> | 13,97  | 7,51                     | 8,04         | 4 T 16          |
| a <sub>2</sub> | 27,30  | 14,74                    | 15,64        | 4 T 20 + 2 T 14 |
| a <sub>3</sub> | 40,132 | 22,89                    | 23,65        | 4 T 25 + 2 T 16 |
| a <sub>4</sub> | 49,973 | 28,74                    | 29,45        | 6 T 25          |
| a <sub>5</sub> | 56,105 | 32,35                    | 33,47        | 6 T 25 + 2 T 16 |
| a <sub>6</sub> | 62,95  | 36,                      | 39,26        | 8 T 25          |
| a <sub>7</sub> | 62,98  | 36,95                    | 39,26        | 8 T 25          |

Poutres bi: Ces poutres sont identiques aux poutres a<sub>i</sub>, elles supportent les mêmes charges que (a<sub>i</sub>) et sont soumis à des efforts égaux à ceux des poutres (a<sub>i</sub>). La différence réside dans la disposition acier tendus c'est à dire la différence de grandeur des bras de levier z. Les poutres bi sont moins légèrement armées que les poutres a<sub>i</sub> nous adopterons les mêmes sections d'Aciers.

# ÉTUDE COMPARATIVE

- Pour le calcul des sections (Coffrage - Ferrailage) deux méthodes ont été prévues:
- Méthode approchée : pour la détermination du Coffrage.
  - Méthode exacte : pour la détermination du Ferrailage.

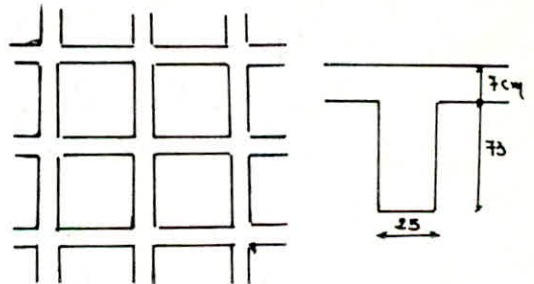
La comparaison sera faite entre les deux types de planchers en Béton armé à poutres croisées.

- 1<sup>er</sup> type : Plancher  $a=b=1,5m$  à poutres croisées appuyées simplement le ferrailage a été fait précédemment.
- 2<sup>e</sup> type : Plancher  $a=b=5,25m$ , étant donné que les poutres font partie des portiques, le ferrailage a été fait après établissement des combinaisons des efforts dus aux charges verticales et horizontales.

## Métré:

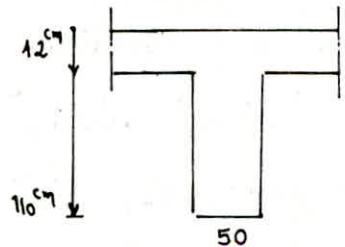
### \* Solution "I" $a=b=1,5m$

- Volume total du béton :  $145,87 m^3$
- Poids d'Acier pour tout le plancher :  $5,58 t$
- Coffrage :  $617,4 m^2$



### \* Solution "II" $a=b=5,25m$

- Volume total du béton :  $119,82 m^3$
  - Poids d'Acier :  $3,815 t$
  - Coffrage :  $301,06 m^2$
- $0,27 m^3/m^2$





### CONCLUSION:

- La solution "II" [Plancher  $a=b=5,25\text{m}$ ] est plus avantageuse, que la solution "I", du pt de vue coffrage - Ferrailage (Métré).
- Le plancher  $a=b=1,50\text{m}$  donne un ensemble plus rigide ; mais plus coûteux et plus long à construire, il demande une main d'oeuvre spécialisée particulièrement au niveau des coffrages et des Ferrailages (croisement des poutres).

Malgré l'avantage de ce plancher du point de vue esthétique il présente

- un coffrage laborieux
- une surface de toute la salle enlambée par l'étiage jusqu'à décoffrage définitif.

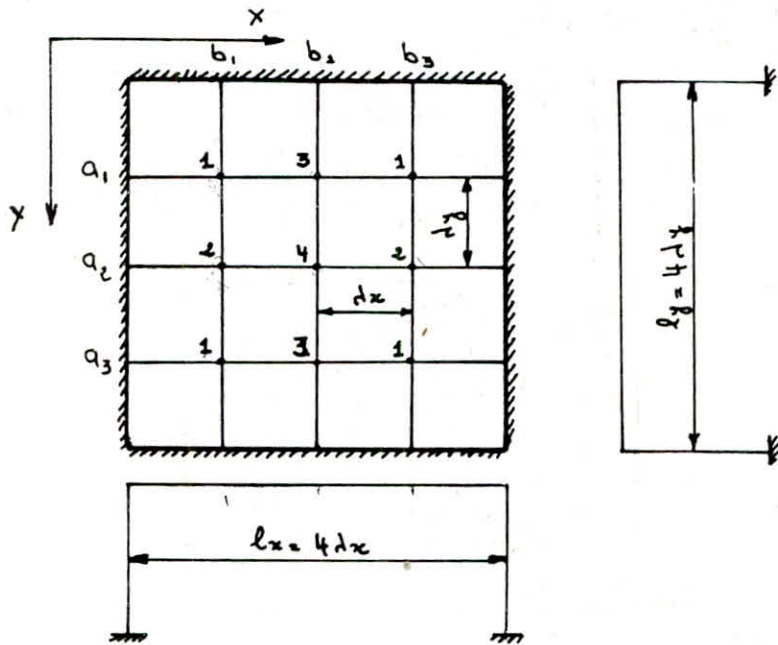
Ces facteurs rendent le 2<sup>e</sup> type de plancher soit  $a=b=5,25\text{m}$  plus avantageux.

D'autre part du point de vue Comportement simple, le plancher II présente plus d'avantage vis à vis des efforts horizontaux (en particulier le séisme) étant donné que ces efforts sont répartis pour un ensemble de portiques, favorisant le comportement de la structure, tandis que la solution "I" (plancher  $a=b=1,5\text{m}$ ) nous offre seulement deux portiques de rive.

- Cette comparaison qui a été faite au niveau du plancher de la construction nous a donné une idée sur le choix de la structure, d'où on adopte la deuxième solution.

---

÷ PLANCHER  $\lambda_x = \lambda_y = 5.25^m$  ÷



. Ce plancher est constitué d'un hourdis, et de poutres ds les deux sens régulièrement espacées (5,25 m entre axes des poteaux).

HYPOTHESES :

- Les poutres ( $a_j$ ) et ( $b_i$ ) sont supposées encastrees.
- Le produit  $EI$  est constant.
- L'espacement entre les noeuds de croisement des poutres ds les deux sens est constant  $dx = dy = 5.25$  m

Système d'équation :

. La détermination des efforts  $X_i, Y_i$ , se fait par la méthode exacte (théorie des poutres croisées). Le plancher est symétrique dans les deux sens, l'équation (6) s'écrit uniquement pour les noeuds situés dans un quart de la surface du plancher.

On écrit l'équation (6) pour les noeuds 1, 2, 3 et 4 on obtient :

Noeud (1) :  $2(a_{11} + a_{13}) X_1 + a_{12} X_2 + a_{12} X_3 = (a_{11} + a_{12} + a_{13}) P$

Noeud (2) :  $(a_{12} + a_{23}) X_1 + (a_{11} + a_{13} + a_{22}) X_2 + a_{12} X_4 = (a_{21} + a_{22} + a_{23}) P$

Noeud (3) :  $(a_{21} + a_{23}) X_1 + (a_{22} + a_{11} + a_{13}) X_3 + a_{12} X_4 = (a_{11} + a_{12} + a_{13}) P$

Noeud (4) :  $(a_{21} + a_{23}) X_2 + (a_{23} + a_{21}) X_3 + 2a_{22} X_4 = (a_{21} + a_{22} + a_{23}) P$

Détermination des Coefficients d'influence

Les poutres sont supposées encastrees, les coefficients d'influences sont donnés par la formule suivante:

$$a_{ik} = \begin{cases} \frac{1}{k} \frac{j^2(n+1-k)^2}{(n+1)^3} \left( (3k-j)(n+1) - 2jk \right) & \text{si } j \leq k \\ \frac{1}{k} \frac{k^2(n+1-k)^2}{(n+1)^3} \left( (3j-k)(n+1) - 2jk \right) & \text{si } j \geq k \end{cases}$$

\* Valeurs des a<sub>ik</sub>

| n = 3 |        |   |        |
|-------|--------|---|--------|
| i \ k | 1      | 2 | 3      |
| 1     | 0,8437 | 1 | 0,406  |
| 2     | 1      | 2 | 1      |
| 3     | 0,406  | 1 | 0,8437 |

En remplaçant les coefficients d'influence par leurs valeurs numériques on aboutit aux équations suivantes:

$$\begin{cases} 2,499 X_1 + X_2 + X_3 = 2,25P \\ 2 X_1 + 3,249 X_2 + X_4 = 4P \\ 2 X_2 + 3,249 X_3 + X_4 = 2,25P \\ 2 X_2 + 2 X_3 + 4 X_4 = 4P \end{cases} \xrightarrow{\text{solution}} \begin{cases} X_1 = 0,500P \\ X_2 = 0,766P \\ X_3 = 0,234P \\ X_4 = 0,500P \end{cases}$$

Déscente de charge:

Poids par m<sup>2</sup> du Réseau de poutres croisées :

3 poutres (a<sub>i</sub>) = 3 x 0,98 x 0,50 x 21 x 2500 = 77175

3 poutres (b<sub>i</sub>) = 3 x 0,98 x 0,50 x 21 x 2500 = 77175

---

154350 Kg

Pds par m<sup>2</sup> : 350 Kg/m<sup>2</sup>

Soit : . Dalle (12cm) :

300 Kg/m<sup>2</sup>

. forme de pente, complexe d'étanchéité... ect...

380 Kg/m<sup>2</sup>

. Réseau de poutres croisées ;

350 Kg/m<sup>2</sup>

. Surcharge 1,2 x 100

120 Kg/m<sup>2</sup>

---

Q = 1150 Kg/m<sup>2</sup>



# CHARGES VERTICALES.

Le calcul des portiques sous les charges verticales se fait par la méthode de Cross.

Exposé de La Méthode : La méthode de Cross consiste à prendre comme valeur approchée du moment cherché le moment qui serait transmis par les nœuds à la barre si celle-ci était parfaitement encastrée et à déterminer quelles corrections il faut apporter à ce moment pour obtenir le moment réel.  
 Pour la méthode il est nécessaire de faire une distinction fondamentale entre des structures dont les nœuds subissent un déplacement et les nœuds qui ne subissent pas de déplacement.

a/ Systèmes à nœuds fixes ( $\Delta = 0$ )

- Ordre de calcul
- 1 - calcul des raideurs des barres.
  - 2 - calcul des coefficients de répartition  $C_{ij} = \frac{R_{ij}}{\sum R_{ij}}$ .
  - 3 - calcul des moments d'encastrement parfaits  $M_{ij}$ .
  - 4 - répartition et transmission des moments d'après le tableau ci-après.

b/ Systèmes à nœuds déplaçables ( $\Delta \neq 0$ )

Étape de Résolution :

1°) supposons d'abord que les nœuds ne subissent pas de déplacement d'où on calcule  $M$ , ainsi que les efforts tranchants ( $T$ )  
 $T = \sum$  efforts tranchants agissant au niveau considéré

2°) Supprimons les charges extérieures et donnons à notre système un déplacement arbitraire ( $\Delta$ ) par rapport au niveau considéré. Les moments dus à ce déplacement sont donnés par

$$M_{AB} = M_{BA} = \frac{3EI}{l^2} \Delta \quad \text{---} \quad M_{BA} = \frac{3EI}{l^2} \Delta$$

soit un coefficient  $K\Delta$  le déplacement réel d'un étage

$H = \sum$  Forces horizontales agissant au dessus du niveau considéré

$$H + T + K T^{\delta} = 0$$

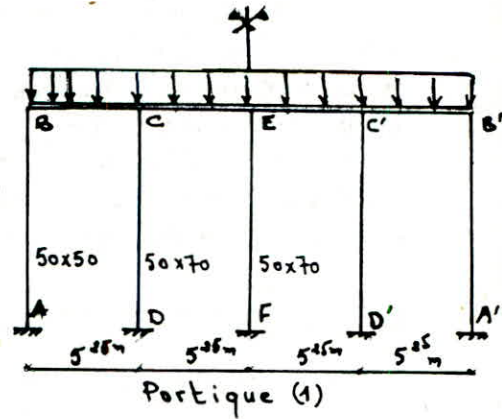
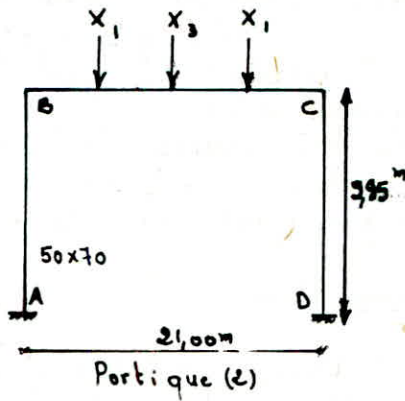
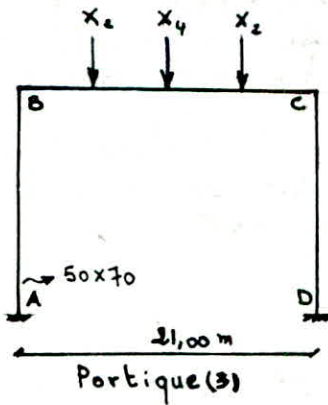
d'où Le moment final est :

$$M_d = M_{\text{nœud fixe}} + K M_{\text{nœud déplaçables}}$$

Portiques du Bloc A (Plancher terrasse)

Le calcul des efforts dans ces portiques a été fait avec la méthode de Cross exposée ci-dessus :

Schéma des portiques



$$X_2^G = 0,766 \text{ Q.s}$$

$$X_4^G = 0,500 \text{ Q.s}$$

$$X_1^G = 0,500 \text{ Q.s}$$

$$X_3^G = 0,234 \text{ Q.s}$$

$$q_G = 2,132 \text{ t/ml}$$

$$q_P = 0,27 \text{ t/ml}$$

• Moments sous G (charge permanente) et P (surcharges).

| Portique (1) |   | AB     | BA     | BC    | CB     | CD     | DC    | CE    | EC     | EF    |
|--------------|---|--------|--------|-------|--------|--------|-------|-------|--------|-------|
|              | G |        | -1,11  | -2,23 | 2,23   | -6,02  | 0,841 | 0,419 | 5,17   | -4,75 |
| P            |   | -0,140 | -0,281 | 0,282 | -0,762 | 0,1064 | 0,053 | 0,655 | -0,602 | 0     |

| Portique (2) |   | AB    | BA     | BC     | CB   | CD   | DC   |
|--------------|---|-------|--------|--------|------|------|------|
|              | G |       | -19,43 | -38,87 | 38,9 | 38,9 | 38,9 |
| P            |   | -1,87 | -3,70  | 3,70   | -3,7 | 3,7  | 1,87 |

| Portique (3) |   | AB    | BA     | BC     | CB    | CD     | DC    |
|--------------|---|-------|--------|--------|-------|--------|-------|
|              | G |       | -33,32 | -66,65 | 66,65 | -66,65 | 66,65 |
| P            |   | -3,10 | -6,21  | 6,21   | -6,21 | 6,21   | 3,10  |

\* Portiques du Bloc (B) Plancher gradin

α - Portique Longitudinal

charge permanente:

$$q_{1G} = 1,25 \text{ t/ml}$$

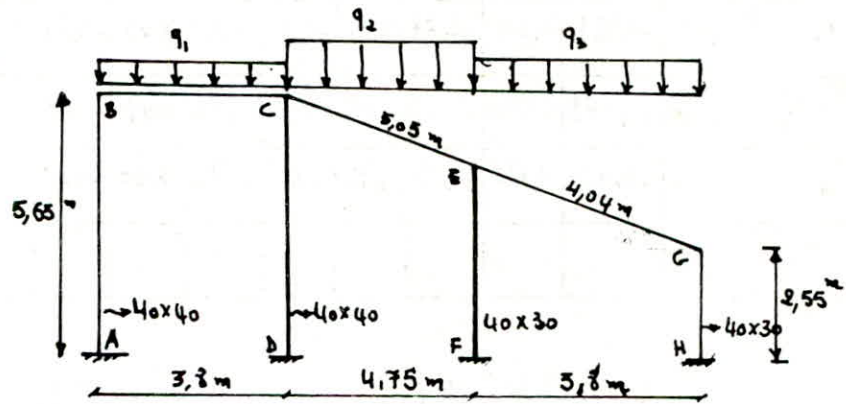
$$q_{2G} = 2,85 \text{ t/ml}$$

$$q_{3G} = 1,52 \text{ t/ml}$$

Surcharges

$$q_{1p} = q_{3p} = 0,713 \text{ t/ml}$$

$$q_{2p} = 1,48 \text{ t/ml}$$



- La détermination des efforts de ce portique se fait par la méthode de Cross à nœuds déplaçables.

Calcul sous G

α - Raideur des barres:

$$R_{AB} = \frac{I}{h} = \frac{40^4}{12 \cdot 565} = 377,581 ; R_{BC} = 421,05 ; R_{CD} = 377,58 ; R_{CE} = 316,83$$

$$R_{EF} = 252,1 ; R_{EG} = 396,04 ; R_{GH} = 352,94$$

β - Calcul des coefficients de répartition:

$$C_{BA} = \frac{R_{BA}}{R_{BA} + R_{BC}} = \frac{377,581}{377,581 + 421,05} = 0,4727 ; C_{BC} = \frac{R_{BC}}{R_{BC} + R_{CD}} ;$$

$$C_{CD} = \frac{R_{CD}}{R_{CD} + R_{CE} + R_{GH}} ; \dots$$

A.N  $C_{BA} = 0,4727 ; C_{BC} = 0,527 ; C_{CB} = 0,370 ; C_{CD} = 0,3325 ; C_{CE} = 0,284$

$$C_{EC} = 0,333 ; C_{EG} = 0,410 ; C_{GH} = 0,456 ; C_{EF} = 0,249$$

γ - Moments d'encastrement parfaits:

$$M_{BC} = \frac{q_1 l^2}{12} = \frac{1,25 \cdot 3,8^2}{12} = +1,50 \text{ t.m} ; M_{CB} = -1,50 \text{ t.m} ; M_{CE} = -M_{EC} = 5,358 \text{ t.m}$$

$$M_{EG} = -M_{GE} = 1,829 \text{ t.m}$$

N.B : La détermination des efforts de ce portique est faite ds L'Annexe.



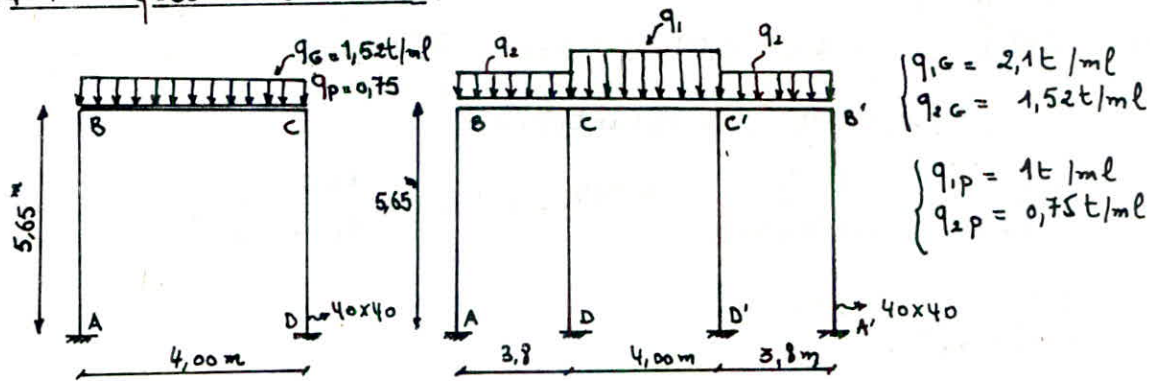
• Résultats :

|                               | A      | B      |       | C      |      |        | D      | E    |       | F     | G     |       | H      |        |
|-------------------------------|--------|--------|-------|--------|------|--------|--------|------|-------|-------|-------|-------|--------|--------|
| M (t.m)                       | AB     | BA     | Bc    | CB     | CE   | CD     | Dc     | EG   | EC    | EF    | FE    | GE    | GH     | HG     |
| M <sub>0</sub> (t.m)          | -0,169 | -0,337 | 0,339 | -3,28  | 4,72 | -1,404 | -0,702 | 3,73 | -4,69 | 0,97  | 0,488 | -0,46 | 0,462  | 0,312  |
| K M <sub>1</sub> <sup>s</sup> | -0,08  | -0,063 | 0,059 | 0,049  | 0,05 | -0,076 | -0,09  | 0,07 | 0,02  | -0,09 | -0,1  | 0,124 | -0,126 | -0,175 |
| M <sub>d</sub>                | -0,255 | -0,40  | 0,388 | -3,231 | 4,75 | -1,48  | -0,79  | 3,80 | -4,67 | 0,879 | 0,588 | -0,36 | 0,336  | 0,137  |
|                               |        |        |       |        |      |        |        |      |       |       |       |       |        |        |

\* Pour les surcharges d'exploitations (P) on procède de la même manière que précédemment où les résultats sont les suivants :

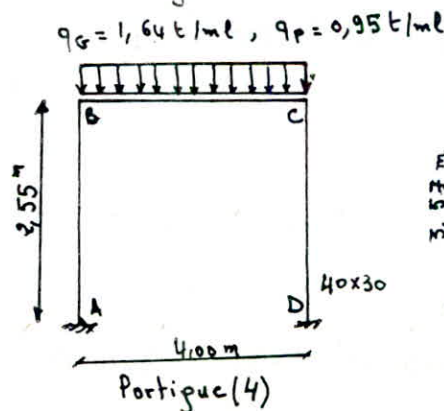
|                      | A      | B       |        | C      |        |      | D       | E     |        | F     | G      |       | H      |       |
|----------------------|--------|---------|--------|--------|--------|------|---------|-------|--------|-------|--------|-------|--------|-------|
| M (t.m)              | AB     | BA      | Bc     | CB     | CE     | CD   | Dc      | EG    | EC     | EF    | FE     | GE    | GH     | HG    |
| M <sub>0</sub> (t.m) | -0,108 | -0,2167 | 0,2167 | -1,776 | -0,719 | 2,49 | -0,3591 | 1,856 | -2,332 | 1,859 | 0,5325 | 0,266 | -0,188 | 0,188 |

↳ Portiques transversaux :

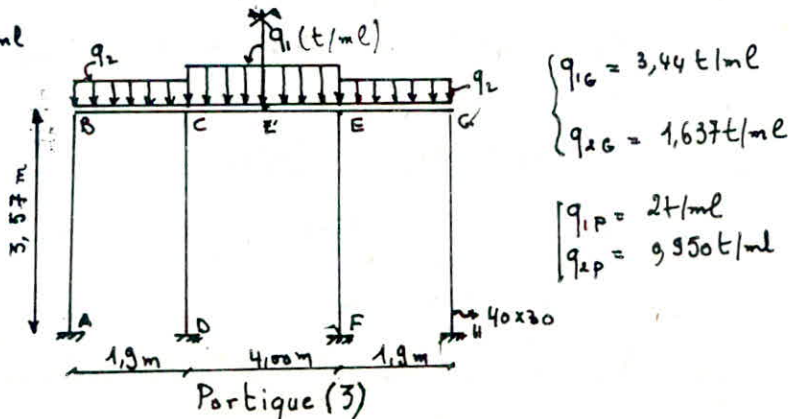


Portique (1)

Portique (2-2)



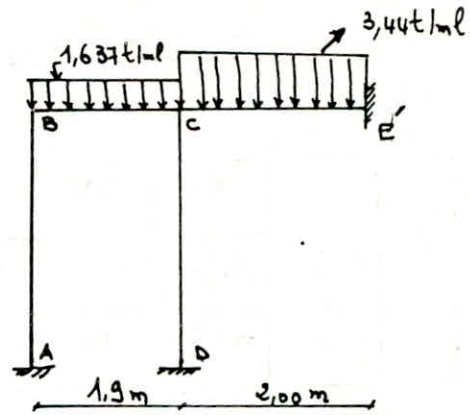
Portique (4)



Portique (3)

- Portique (3.3)

Le système est équivalent à ce système:



\* raideur des barres

$$R_{AB} = \frac{I_{AB}}{h_{AB}} = \frac{40^3 \times 30}{12 \times 3,5710^2} = 426,66$$

$$R_{BC} = 842,1 \quad ; \quad R_{CD} = 426,66$$

$$R_{CE'} = \frac{1}{2} R_{CE} = \frac{1}{2} 400 = 200$$

\* coefficients de répartition

$$C_{BA} = 0,336 \quad ; \quad C_{BC} = 0,66 \quad ; \quad C_{CB} = 0,573 \quad ; \quad C_{CD} = 0,290 \quad ; \quad C_{CE'} = 0,236$$

\* Moment d'encastrement parfait

$$M_{BC} = \frac{q \cdot l^2}{12} = 0,493 \text{ t.m} \quad ; \quad M_{CE'} = \frac{q \cdot l^2}{12} = 4,58 \text{ t.m}$$

\* Tableau de Cross

|           | A      | B      |        | C      |         |        | D       |
|-----------|--------|--------|--------|--------|---------|--------|---------|
| barres    | AB     | BA     | BC     | CB     | CE'     | CD     | DC      |
| $C_{ij}$  | -      | 0,336  | 0,66   | 0,573  | 0,136   | 0,26   | -       |
| $m_{ij}$  | -      | -      | 0,493  | -0,493 | 4,58    | -      | -       |
| C         |        |        | -1,176 | -2,352 | -0,558  | -1,19  | -5,95   |
| B         | 0,114  | 0,229  | 0,4507 | 0,2253 |         |        |         |
| C         |        |        | -0,064 | -0,129 | -0,0306 | -0,065 | -0,0326 |
| B         | 0,0107 | 0,0215 | 0,0422 | 0,021  |         |        |         |
| C         |        |        | -0,006 | -0,012 | -0,003  | -0,006 | -0,003  |
| B         | 0,001  | 0,002  | 0,0039 | 0,0019 |         |        |         |
| $M$ (t.m) | 0,124  | 0,26   | -0,26  | -2,7   | 4       | -1,26  | -0,63   |

Moments sous G et P (charge permanente et surcharge)

|            |   |       |       |        |        |       |         |        |
|------------|---|-------|-------|--------|--------|-------|---------|--------|
| Portique 3 |   | AB    | BA    | Bc     | cB     | CE'   | CD      | DC     |
|            | G | 0,154 | 0,26  | -0,26  | -2,7   | 4     | -1,261  | -0,63  |
|            | P | 0,073 | 0,146 | -0,152 | -1,588 | 2,323 | -0,7326 | -0,366 |

|            |   |      |       |      |        |     |       |      |
|------------|---|------|-------|------|--------|-----|-------|------|
| Portique 2 |   | AB   | BA    | Bc   | cB     | CE  | CD    | DC   |
|            | G | -0,5 | -0,55 | 0,55 | -1,37  | 2,1 | 0,73  | 0,52 |
|            | P | -0,3 | -0,27 | 0,27 | -0,675 | 1   | 0,325 | 0,25 |

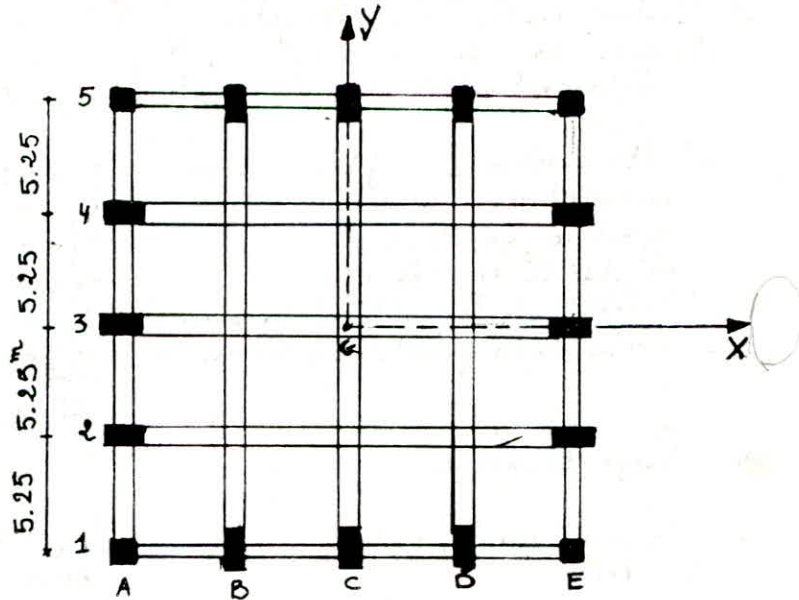
|            |   |        |        |       |       |       |
|------------|---|--------|--------|-------|-------|-------|
| Portique 1 | I | AB     | BA     | Bc    | cB    | CD    |
|            | G | -1,883 | -2,378 | 2,378 | 2,378 | 1,883 |
|            | P | -0,586 | -1,172 | 1,172 | 1,172 | 0,586 |

|            |   |        |        |       |        |        |
|------------|---|--------|--------|-------|--------|--------|
| Portique 4 |   | AB     | BA     | Bc    | cB     | CD     |
|            | G | -0,974 | -1,959 | 1,959 | -1,959 | -0,974 |
|            | P | -0,48  | -0,96  | 0,96  | -0,96  | -0,48  |



# ETUDE AU SEÏSME

## Bloc A: "Plancher terrasse"



### - Évaluation de la force sismique de calcul

Dans notre cas les conditions d'application de la méthode statique sont vérifiées on fait un calcul statique équivalent.

la force sismique horizontale totale agissant sur la structure est :

$$V = A \cdot D \cdot B \cdot Q \cdot W \quad (\text{art 3.1 RPA 81})$$

- A : Coefficient d'accélération des zones, dépend des Groupe d'usage de la structure et de la zone sismique

Groupe d'usage I }  $\rightarrow A = 0,25$   
 Zone II }

- D : facteur d'amplification dynamique, la valeur de D sera déterminée d'après le type de sol, en fonction de la période T de l'ouvrage.

Détermination de T D'après le R.P.A, la valeur de T pour les bâtiments de lesquels le système de contreventement est une ossature autostable capable de reprendre 100% les forces horizontales, peut être déterminée par la formule:

$$T = \frac{0,09H}{\sqrt{L}} = 0,195s \quad \begin{matrix} H = 9,95m \\ L = 21,00m \end{matrix}$$

D'après le spectre de réponse (fig 4 RPA)

$$D = 2 \quad \text{Sol ferme}$$

- B: facteur de comportement de la structure, dépend de son type et de la nature de ses contreventements.

Portique autostable :  $B = \frac{1}{4}$

- Q: facteur de Qualité du système de contreventement, les valeurs de Q sont données par la formule:  $1 + \sum_{i=1}^n P_q$  où  $P_q$  est la pénalité qui dépend de l'observation ou non de critères de qualité q:

- Conditions minimales des files porteuses  $P_q = 0,1$
- Surabondance en plan  $P_q = 0$
- Symétrie en Plan  $P_q = 0$
- régularité en élévation  $P_q = 0$
- Contrôle de la qualité de la construction  $P_q = 0,1$
- Contrôle de la qualité des matériaux  $P_q = 0,1$

$$\sum P_q = 0,3 \rightarrow Q = 1 + \sum P_q = 1,3$$

- W: charge sismique

|                                |           |
|--------------------------------|-----------|
| . Dalle + revêtement + poutres | 454,230 t |
| . Acrotère                     | 13,650 t  |
| . Poutres de rive              | 25,650 t  |
| . poteaux                      | 64,675 t  |
| . Murs de remplissage          | 63,84 t   |

$$G = 622^t$$

- La charge sismique est  $W = G + \frac{P}{5} = 630,82^t$

- La force sismique ds les deux sens est égale :  $V = 0,25 \times 2 \cdot \frac{1}{4} \cdot 1,3 \cdot 630,82$

$$\underline{V = 102,5^t}$$

---

# CHARGES HORIZONTALES

Le calcul des efforts sous l'effet des charges horizontales, se fait par la méthode approchée de "MUTO".

- Principe de la Méthode : En premier lieu, l'effort tranchant d'étage est distribué aux différents portiques proportionnellement à leur rigidité de niveau, puis l'effort tranchant de niveau du portique est distribué à son tour aux différents poteaux composant le portique; proportionnellement à leur rigidité corrigée. Et enfin à partir des efforts sollicitant les poteaux on déduit les contraintes dans les poteaux et les poutres.

Résumé de La Méthode:

- 1° calcul des rigidités linéaires des poteaux et des poutres.
- 2° calcul des coefficients  $\bar{K}$
- 3° calcul des coefficients de correction  $a_j$  des rigidités des poteaux
- 4° calcul des raideurs des poteaux corrigés  $a_j K_j$
- 5° calcul des quantités  $D_j$ ;  $D_j = \sum_{i=1}^m a_j^{(i)} K_j^{(i)}$ ; pour chaque niveau des différents portiques transversaux ou longitudinaux.
- 6° Rigidité de niveau d'un portique à l'étage "i"  $R_j = \frac{12E}{h_j^2} D_j$
- 7° calcul de la quantité  $D_j = \sum D_j$   
calcul des rigidités dans les deux sens  $x$  et  $y$ :  $R_{jx} = \frac{12E}{h_j^2} D_{jx}$
- 8° Détermination du centre de Torsion:  $(x_{cj}, y_{cj})$
- 9° calcul de la rigidité de Torsion  $R_{j\theta}$  à chaque niveau  
$$R_{j\theta} = \sum_{k=1}^K R_{jy}^{(k)} [x_j^{(k)}]^2 + \sum_{l=1}^m R_{jx}^{(l)} [y_j^{(l)}]^2$$
- 10° calcul des efforts tranchants revenant à chaque portique, trans. et longitudinal  $T_{jx}^{(l)} = \tau_{jx} \frac{R_{jx}^{(l)}}{R_{jx}} + \tau_{jx} \frac{R_{jx}^{(l)}}{R_{j\theta}} y_j^{(l)} \cdot y_G$
- 11° calcul des efforts tranchants de niveau  $j$  à chaque poteau des Portiques transversaux et longitudinaux.  $t_j = \frac{a_j K_j}{D_j} T_j$
- 12° Détermination de la position du point de moment  $D_j$  nul:  $z = y R$   
avec:  $y = y_0 + y_1 + y_2 + y_3$  ,  $y_1, y_2, y_3, y_0$  donnés par des tableaux.
- 13° calcul des moments aux têtes des poteaux
- 14° calcul des moments dans les poutres

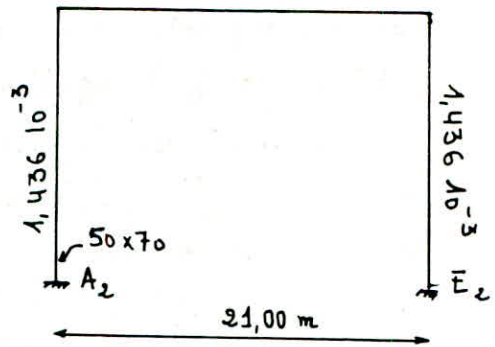
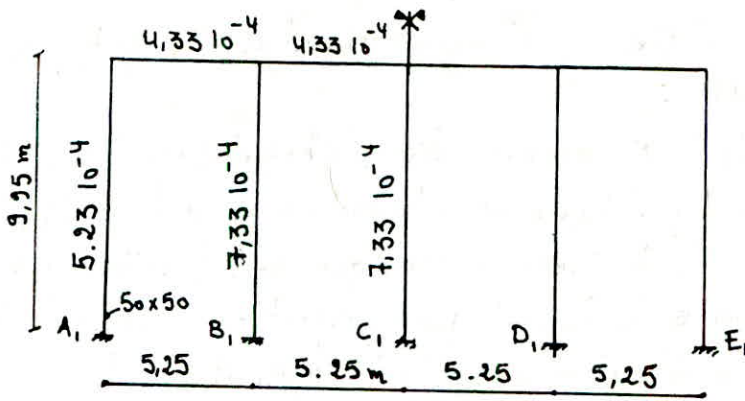


. Bloc A

- Calcul des rigidités linéaires des barres

$$K = \frac{I}{l} \quad (m^3)$$

$$2,64 \cdot 10^{-3}$$



- Calcul des rigidités de niveau

| Portiques | Poteaux                                          | $\bar{K}$ | $a_j$ | $K_{Pot} (m^3)$ | $a_{Kp} 10^{-3}$ | $D_j = \sum \frac{a_{Kp}}{10^{-3}}$ | $\frac{a_{Kp}}{D_j}$ | $R_j 10^{-3} E$ | $R_j 10^{-3} E$ |
|-----------|--------------------------------------------------|-----------|-------|-----------------|------------------|-------------------------------------|----------------------|-----------------|-----------------|
| 1 ; 5     | A <sub>1</sub> , E <sub>1</sub>                  | 0,829     | 0,469 | 0,523           | 0,246            | 1,653                               | 0,0287               | 0,200           | 1,036           |
|           | B <sub>1</sub> , C <sub>1</sub> , D <sub>1</sub> | 1,182     | 0,529 | 0,733           | 0,387            |                                     | 0,045                |                 |                 |
| 2, 3, 4   | A <sub>2</sub> =A <sub>3</sub> =A <sub>4</sub>   | 1,838     | 0,609 | 1,436           | 0,874            | 1,748                               | 0,102                | 0,212           |                 |
|           | E <sub>2</sub> =E <sub>3</sub> =E <sub>4</sub>   | 1,838     | 0,609 | 1,436           | 0,874            |                                     | 0,102                |                 |                 |

- Détermination du centre de torsion : Le bloc A est symétrique dans les deux sens x et y ; le centre de masse coïncide avec le centre géométrique et le centre de torsion c<sub>j</sub>.

Le RPA 81 préconise de prendre une excentricité accidentelle ayant pour valeur 5% de la plus grande dimension du bâtiment, donc :

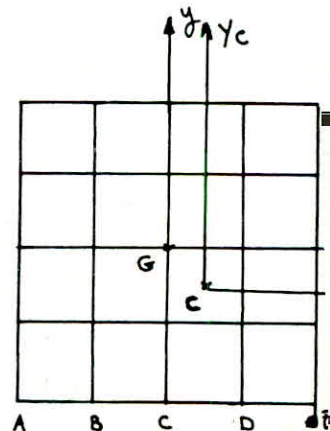
$$x_{c_j} = y_{c_j} = 5\% L = 0,05 \times 21,00 = 1,05 \text{ m.}$$

- Détermination de la rigidité à la torsion

$$R_{j\theta} = \sum_{k=1}^K R_{jy}^{(k)} [x_j^k]^2 + \sum_{l=1}^M R_{jx}^{(l)} [y_j^l]^2$$

$$R_{j\theta} = 2 [0,200 \cdot 11,55^2 + 0,212 [6,3^2 + 4,2^2 + 1,05^2] + 0,200 \cdot 9,45^2]$$

d'où  $R_{j\theta} = 113,85 \cdot 10^{-3} E$



- Calcul des efforts tranchants revenant à chaque portique :

La force sismique revenant à chaque portique en fonction de sa rigidité est donnée par l'expression suivante:  $T_{jy} = \tau_{jy} \frac{R_{jy}}{R_{j0}} + \tau_{jy} \frac{R_{jy}}{R_{j0}} x_i \cdot x_0$

$x_i$  : distance du portique considérée / à C.

• Portique (A)  $T_y = 102,5 \frac{0.200}{1,036} + 102,5 \frac{0.200}{113,85} (-11,55)(-1,05) = 21,98^t$

• Portique (B)  $T_y = 102,5 \frac{0.212}{1,036} + 102,5 \frac{0.212}{113,85} (-6,3)(-1,05) = 22,24^t$

• Portique (C)  $T_y = 21,18^t$

\* Calcul des efforts dus aux charges horizontales

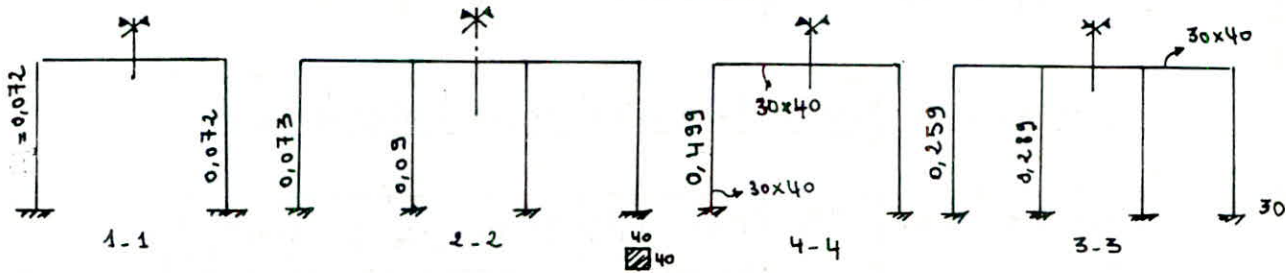
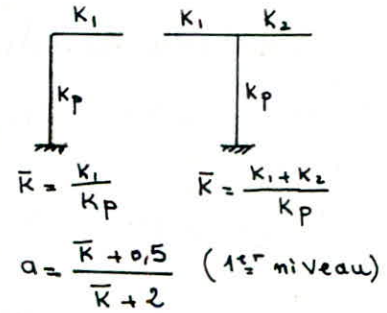
| Portique | Poteau         | $\frac{a_{kp}}{\sum a_{kp}}$ | $T_j(t)$ | $t_j(t)$ | $y_0$ | $y_1=y_2=y_3$ | $y$  | $z(m)$ | $M_{inf}(t.m)$ | $h-z$ | $M_{sup}$ | $M_w(t.m)$ | $M_e(t.m)$ |
|----------|----------------|------------------------------|----------|----------|-------|---------------|------|--------|----------------|-------|-----------|------------|------------|
| A        | A <sub>1</sub> | 0,148                        | 21,98    | 3,27     | 0,55  | 0             | 0,55 | 5,47   | 17,9           | 4,48  | 14,62     | 14,62      | -11,51     |
|          | B <sub>1</sub> | 0,234                        | 21,98    | 5,15     | 0,55  | 0             | 0,55 | 5,47   | 28,17          | 4,48  | 23,07     | 11,51      | -11,51     |
| B        | A <sub>2</sub> | 0,5                          | 22,24    | 11,12    | 0,55  | 0             | 0,55 | 5,47   | 60,82          | 4,48  | 49,78     | 49,78      | -49,78     |
| C        | A <sub>3</sub> | 0,5                          | 21,18    | 10,59    | 0,55  | 0             | 0,55 | 5,47   | 57,95          | 4,48  | 47,41     | 47,41      | -47,41     |

- Calcul des rigidités:

. Bloc B: Plancher Gradient

- Portiques transversales

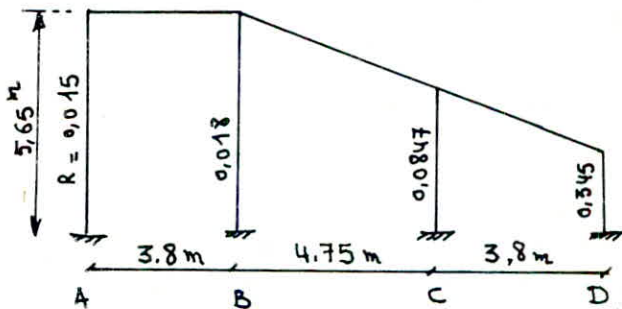
| Portique | h(m) | S <sub>p</sub> (cm <sup>2</sup> ) | K̄                | a <sub>j</sub> | R <sub>j</sub> · 10 <sup>-3</sup> E |
|----------|------|-----------------------------------|-------------------|----------------|-------------------------------------|
| 1-1      | 5,65 | 40x40                             | 1,059             | 0,509          | 0,144                               |
| 4-4      | 2,55 | 30x40                             | 0,637             | 0,431          | 0,998                               |
| 2-2      | 5,65 | 40x40                             | R-1,115<br>I-2,17 | 0,518<br>0,64  | 0,326                               |
| 3-3      | 3,57 | 30x40                             | R-1,878<br>I-2,77 | 0,613<br>0,886 | 1,0969                              |



- Portique Longitudinal A:

| Poteau | h(cm) | S (cm <sup>2</sup> ) | K̄    | a     | a'     | τ · 10 <sup>-3</sup> E |
|--------|-------|----------------------|-------|-------|--------|------------------------|
| A      | 565   | 40x40                | 1,115 | 0,518 | 0,1056 | 0,015                  |
| B      | 565   | 40x40                | 2     | 0,625 | 0,1273 | 0,018                  |
| C      |       | 40x30                | 3     | 0,7   | 0,3557 | 0,0847                 |
| D      | 2.55  | 40x30                | 1,193 | 0,53  | 0,53   | 0,345                  |

$$R_{jy} = \sum \tau_j = 0,4627 \cdot 10^{-3} E t$$
 (rigidité de niveau de portique)



\*Remarque: Les poteaux du portique ont des hauteurs variables, le coeffi a<sub>j</sub><sup>(i)</sup> doit être corrigé en fonction du rapport des hauteurs:

$$a'_j = a_j \left( \frac{h}{h_j} \right)^2$$
 on prendra comme hauteur de référence h = 2,55m



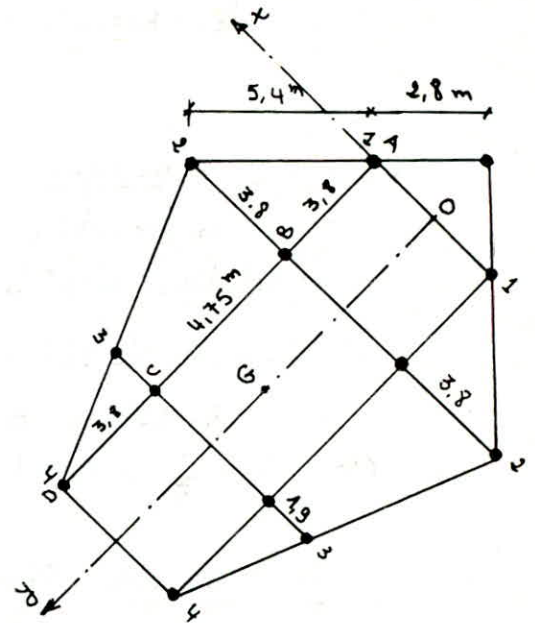
- Détermination du Centre de torsion - Centre de masse - Excentricité

. Centre de Torsion :

$$x_c = \frac{\sum R_{ky} \cdot x_k^{(i)}}{R_{ky}}, \quad y_c = \frac{\sum R_{kx} \cdot y_k^{(i)}}{R_{kx}}$$

. Ordonnée du centre de Torsion :  $y_c$

| Port | $R_{y_i}$ | $y_i$ (m) | $R y$ | $\sum R y_i$            | $\sum R y_i \cdot y$    | $y_c$ (m) |
|------|-----------|-----------|-------|-------------------------|-------------------------|-----------|
| 1-1  | 0,144     | 0         | 0     | $2,564 \cdot 10^{-3} E$ | $22,93 \cdot 10^{-3} E$ | $8,94$    |
| 2-2  | 0,326     | 3,8       | 1,238 |                         |                         |           |
| 3-3  | 1,096     | 8,55      | 9,37  |                         |                         |           |
| 4-4  | 0,998     | 12,35     | 12,32 |                         |                         |           |



. abscisse du centre de torsion: ( $x_c$ ) Les deux portiques sont identiques même rigidité d'où  $x_c = 0$

. Centre de masse: (G) :

$$x_G = \frac{\sum m_i x_i}{\sum m_i}, \quad y_G = \frac{\sum m_i y_i}{\sum m_i}$$

-  $m_i$  : poids de chacun des éléments.

( $x_i, y_i$ ) : coordonnées du centre de gravité de chacun des éléments par rapport au repère  $xoy$ .

Pour le calcul du centre de masse, nous prenons en compte les éléments suivants :

- . Plancher dalle
- . Plancher incliné
- . poteaux - poutres longitudinales et transversales.

D'après le calcul fait on trouve :  $x_G = 0 \quad y_G = 6,22m$

. Excentricité : D'après le "RPA 81 art 3.3.5" : La résultante des forces extérieures appliquée au centre de masse G (dans chaque sens), à une excentricité par rapport au centre de torsion C égale à la plus grande des deux valeurs :

- { 5% de la plus grande dimension du bâtiment
- { excentricité théorique résultant des plans ( $e_x, e_y$ )

$$e_x (m) = x_c - x_G = 0 \quad \rightarrow \quad e_x = 5\% L = \frac{5}{100} \cdot 14,35 = 0,71 m$$

$$e_y (m) = y_c - y_G = 8,94 - 6,22 = 2,72 m < 20\% L = \frac{20}{100} \cdot 14,35 = 2,87 m \quad (\text{vérifiée})$$

On prend les excentricités suivantes :  $e_x = 0,71 \text{ m}$  ,  $e_y = 2,7 \text{ m}$

- Calcul de la rigidité à la torsion :  $R_{j\theta} = \sum R_{jy} [x_j^t]^2 + \sum R_{jx} [y_j^e]^2$

A.N :  $R_{j\theta} = 36,06 \cdot 10^{-3} E \text{ t/m}$

• Étude sismique : Étant donné la forme des Blocs B et C en Plan et en élévation l'étude sismique sera faite, et elle porte sur la vérification des éléments résistants.

• Évaluation de la force sismique :  $V = A D B Q W$

avec  $A = 0,25$  ;  $B = \frac{1}{4}$  ;  $Q = 1,6$  ,  $D = 2$  sol ferme ( $T < 0,3A$ )

$W = G + \frac{P}{5} = 141,5 \text{ t}$

$V = 0,25 \cdot 2 \cdot \frac{1}{4} \cdot 1,6 \cdot 141,5 = \underline{28,3 \text{ t}}$

Répartition des efforts tranchants revenant à chaque portique :

- Portique Longitudinal (sens y)

$$T_{jy} = \tau_{jy} \left( \frac{R_{jy}}{R_{jy}} + \frac{R_{jy}}{R_{j\theta}} x_i x_G \right) \quad x_G = 0,71 \text{ m}$$

$R_{jy} = 0,4627 \cdot 10^{-3} E$  ,  $R_{jx} = 0,925 \cdot 10^{-3} E$  ,  $R_{j\theta} = 36,06 \cdot 10^{-3} E$  ,  $x_i = 2,71$

$\Rightarrow T_{jy} = 14,4 \text{ t}$

- Portiques transversals :  $\tau_{jx} = 28,3 \text{ t}$   $y_G = 2,7 \text{ m}$

• Portique 1.1 :  $T_{11} = 4,41 \text{ t}$

• Portique 2.2 :  $T_{22} = 7,33 \text{ t}$

• Portique 3.3 :  $T_{33} = 13 \text{ t}$

• Portique 4.4 :  $T_{44} = 3,42 \text{ t}$

- Déplacements relatifs de niveau :

• sens longitudinal  $\delta_{jy} = \frac{T_{jy}}{R_{jy}} = \frac{14,4 \cdot 10^3}{0,4627 \cdot 10^{-3} \cdot 378 \cdot 10^3 \cdot 100} = 0,85 \text{ cm}$

• sens transversal :

• Portique 1.1 :  $\delta_{1x} = \frac{T_{1x}}{R_{jx}} = \frac{4,4 \cdot 10^3}{5443,2} = 0,80 \text{ cm}$

• Portique 2.2 :  $\delta_{2x} = 0,59 \text{ cm}$

• Portique 3.3 :  $\delta_{3x} = 0,313 \text{ cm}$

• Portique 4.4 :  $\delta_{4x} = 0,09 \text{ cm}$

## - ETUDE AU VENT -

L'étude du vent sera faite conformément aux règles en vigueur en ALGERIE, NV 65.

Il ya deux sortes de vent: - vent normal  $V_n$   
- vent extrême  $V_e = 1,75 V_n$

Nous avons une construction à base rectangulaire, nous allons donc utiliser une méthode simplifiée, dont les caractéristiques sont les suivantes :

- . Bloc unique
- . base rectangulaire:  $a = b = 21$
- . La hauteur inférieure à 30 m
- .  $\frac{h}{a} = \frac{8,45}{21} = 0,402 > 0,25$  vérifiée.
- . La couverture est une toiture terrasse.
- . Les parois verticales doivent :
  - reposer directement sur le sol
  - être planes sans décrochement.
  - perméabilité  $\leq 5$
- . construction située sur un terrain sensiblement horizontal.

### - Pressions dynamiques :

La pression dynamique est donnée par la formule suivante :

$$q = (46 + 0,7h) K_z K_s \quad (\text{Kg/m}^2)$$

- .  $K_z$  : Coefficient de région    REGION II , Pression normale  $K_z = 1,40$
- .  $K_s$  : Coefficient de site tient compte de la nature du site d'implantation.
 

|                          |   |                          |
|--------------------------|---|--------------------------|
| site normal<br>REGION II | } | $\Rightarrow K_s = 1,00$ |
|--------------------------|---|--------------------------|

$$q = (46 + 0,7 \cdot 8,45) 1,4 \cdot 1 = 72,68 \text{ Kg/m}^2$$

### - Réductions: $K_m, \delta$

- .  $K_m$  : Coefficient de masque     $K_m = 1$
- .  $\delta$  : Coefficient de réduction (fonction de la dimension ou surface offerte au vent)     $H \leq 30\text{m}$      $l = 21,0 \text{ m} \rightarrow \delta = 0,79$



. Coefficient de Majoration:  $\beta = 0,7 + 0,3\sqrt{T}$

. Période T:  $T = 0,09 \frac{h}{\sqrt{L_x}} = 0,09 \frac{8,45}{\sqrt{21}} = 0,165 \text{ s}$

$\beta = 0,7 + 0,3\sqrt{0,165} \rightarrow \beta = 0,82 < 1$  on prend  $\beta = 1$  car  $\beta \geq 1$

. Pression dynamique sur l'élément considéré :

$$V_n = s \cdot K_m \cdot \beta \cdot q = 0,79 \cdot 1 \cdot 1 \cdot 72,68 = 57,42 \text{ kg/m}^2$$

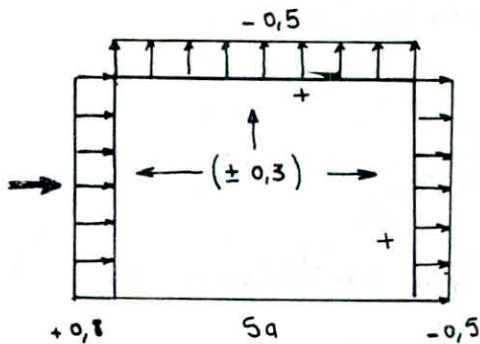
$$V_e = 1,75 V_n = 1,75 \cdot 57,42 = 100,485 \text{ kg/m}^2$$

. Actions extérieures :

Vent normal : - Parois verticales : Au vent  $C_e = +0,8$   
 sous vent  $C_e = -0,5$

Actions intérieures : Construction fermée  $C_i = \pm 0,3$

Actions résultants :  $q = (C_e - C_i) V_n$

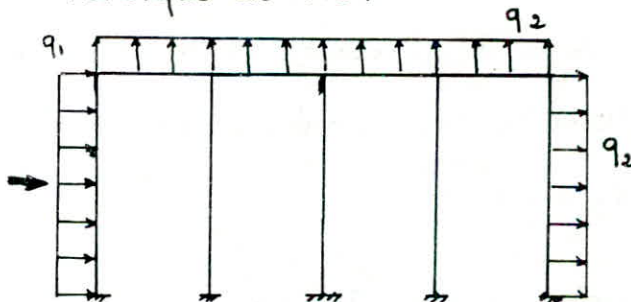


au vent :  $q = (0,8 + 0,3) \cdot 57,42 = 62,7 \text{ kg/m}^2$

sous vent :  $q = (-0,5 - 0,3) \cdot 57,42 = -45,93 \text{ kg/m}^2$

- Répartition des efforts sur les portiques :

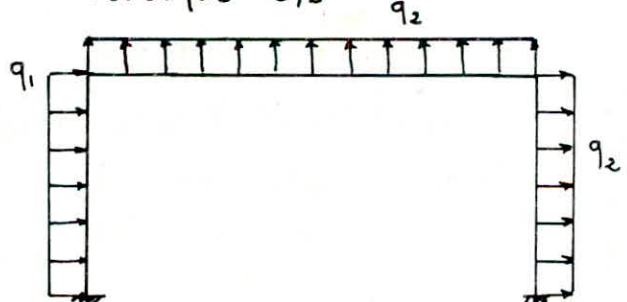
Portique de rive :



$$q_2 = 165,8 \text{ kg/ml}$$

$$q_1 = 120,58 \text{ kg/ml}$$

Portique 2,3



$$q_1 = 331,6 \text{ kg/ml}$$

$$q_2 = 241,16 \text{ kg/ml}$$

## SUPERPOSITION DES SOLLICITATIONS

- Les combinaisons des forces sismiques et des charges verticales sont données ci-dessus.

- Les éléments structuraux doivent être dimensionnés pour les combinaisons des charges sur la base des règlements en vigueur (RPA) et du CCBA68.

Poutres :

$$G + P + \overline{SI} \quad ; \quad 0,8G + \overline{SI} \quad G + 1,2P$$

Poteaux :

$$G + P + 1,2\overline{SI} \quad 0,8G + \overline{SI} \quad G + 1,2P$$

où : G : sollicitation due à la charge permanente.

P : sollicitation due à la surcharge d'exploitation.

SI : sollicitation due aux séismes.

. Moments en travée des Poutres (CCBA Art 12)

$$M_t = M_0 - \frac{M_w + M_e}{2}$$

. Moments sur appuis

- sous (G + 1,2P) →  $M_a(G) + 1,2 M_a(P)$

- sous (G + P +  $\overline{SI}$ ) →  $M_a(G) + M_a(P) + M_a(\overline{SI})$

- sous (0,8G +  $\overline{SI}$ ) →  $0,8 M_a(G) + M_a(\overline{SI})$

. Efforts tranchants "T"

- sous (G + 1,2P) →  $T(G) + 1,2 T(P)$

- sous (G + P +  $\overline{SI}$ ) →  $T(G) + T(P) + T(\overline{SI})$

- sous (0,8G +  $\overline{SI}$ ) →  $0,8 T(G) + T(\overline{SI})$

. L'expression du moment en travée sous "SI" est donné par :

$$M_t = \frac{M_e - M_w}{2}$$

## Moments et efforts tranchants

- Dans Les Poutres. - BLOC A -

.Portique 2

| Poutre         | G              |                | P              |                | SI             |                | V <sub>n</sub> |                | V <sub>ext</sub> |                |
|----------------|----------------|----------------|----------------|----------------|----------------|----------------|----------------|----------------|------------------|----------------|
|                | M <sub>w</sub> | M <sub>e</sub> | M <sub>w</sub> | M <sub>e</sub> | M <sub>w</sub> | M <sub>e</sub> | M <sub>w</sub> | M <sub>e</sub> | M <sub>w</sub>   | M <sub>e</sub> |
| Q <sub>2</sub> | -38,88         | -38,88         | -3,7           | -3,7           | 49,78          | -49,78         | 8,32           | 0,107          | 14,56            | 0,187          |
|                | T <sub>w</sub> | T <sub>e</sub> | T <sub>w</sub> | T <sub>e</sub> | T <sub>w</sub> | T <sub>e</sub> | T <sub>w</sub> | T <sub>e</sub> | T <sub>w</sub>   | T <sub>e</sub> |
|                | 17,55          | -17,55         | 1,7            | -1,7           | -4,74          | -4,74          | -2,9           | -2,14          | -5,075           | -3,745         |
|                | M <sub>t</sub> |                | M <sub>t</sub> |                | M <sub>t</sub> |                | M <sub>t</sub> |                | M <sub>t</sub>   |                |
| 70,99          |                | 6,91           |                | 0              |                | -8,86          |                | -15,50         |                  |                |

.Portique 3

| Poutre         | M <sub>w</sub> | M <sub>e</sub> | M <sub>w</sub> | M <sub>e</sub> | M <sub>w</sub> | M <sub>e</sub> | M <sub>w</sub> | M <sub>e</sub> | M <sub>w</sub> | M <sub>e</sub> |
|----------------|----------------|----------------|----------------|----------------|----------------|----------------|----------------|----------------|----------------|----------------|
| Q <sub>3</sub> | -66,65         | -66,65         | -6,21          | -6,21          | -47,41         | -47,41         | 8,32           | 0,107          | 14,56          | 0,186          |
|                | T <sub>w</sub> | T <sub>e</sub> | T <sub>w</sub> | T <sub>e</sub> | T <sub>w</sub> | T <sub>e</sub> | T <sub>w</sub> | T <sub>e</sub> | T <sub>w</sub> | T <sub>e</sub> |
|                | 30,04          | -30,04         | 2,8            | -2,8           | -4,51          | -4,51          | -2,9           | -2,14          | -5,075         | -3,745         |
|                | M <sub>t</sub> |                | M <sub>t</sub> |                | M <sub>t</sub> |                | M <sub>t</sub> |                | M <sub>t</sub> |                |
| 129,857        |                | 12,1           |                | 0              |                | -8,864         |                | -15,50         |                |                |

Portique de rive (1)

| Poutres | G              |                | P              |                | SI             |                |
|---------|----------------|----------------|----------------|----------------|----------------|----------------|
|         | M <sub>w</sub> | M <sub>e</sub> | M <sub>w</sub> | M <sub>e</sub> | M <sub>w</sub> | M <sub>e</sub> |
| AB      | -2,226         | -6,02          | -0,282         | -0,762         | 14,62          | -11,51         |
| BC      | -5,17          | -4,756         | -0,655         | -0,602         | 11,51          | -11,51         |
| CD      | -4,756         | -2,226         | -0,602         | -0,655         | 11,51          | -11,51         |
| DE      | -6,02          | -2,226         | -0,762         | -0,282         | 11,51          | -11,51         |
| Poutres | T <sub>w</sub> | T <sub>e</sub> | T <sub>w</sub> | T <sub>e</sub> | T <sub>w</sub> | T <sub>e</sub> |
| AB      | 4,87           | -6,319         | 1,536          | -0,799         | -4,97          | -4,97          |
| BC      | 5,675          | -5,51          | 0,799          | -0,6979        | -4,38          | -4,38          |
| CD      | 5,51           | -5,675         | 0,6979         | -0,718         | -4,38          | -4,38          |
| DE      | 6,319          | -4,873         | 0,799          | -1,536         | -4,97          | -4,97          |
| Poutres | M <sub>t</sub> |                | M <sub>t</sub> |                | M <sub>t</sub> |                |
| AB      | 3,322          |                | 0,4082         |                | 1,55           |                |
| BC      | 2,38           |                | 0,301          |                | 0              |                |
| CD      | 2,38           |                | 0,301          |                | 0              |                |
| DE      | 3,322          |                | 0,4082         |                | -1,55          |                |

N.B : unite :

- . Moment M (t.m)
- . Effort tranchant T (t)



Superpositions des sollicitations.

Moments fléchissants et efforts tranchants - BLOCA.

| Portique (2)                   |                |                |                |                |                | Portique (3)   |                |                |                |                |
|--------------------------------|----------------|----------------|----------------|----------------|----------------|----------------|----------------|----------------|----------------|----------------|
| Sollicitations                 | T <sub>w</sub> | T <sub>e</sub> | M <sub>w</sub> | M <sub>e</sub> | M <sub>t</sub> | T <sub>w</sub> | T <sub>e</sub> | M <sub>w</sub> | M <sub>e</sub> | M <sub>t</sub> |
| G + P + $\vec{S}_I$            | 14,516         | -23,99         | 7,2            | -92,36         | 77,9           | 28,33          | -37,35         | -25,45         | -120,27        | 141,957        |
| G + P + $\vec{S}_I$            | 23,995         | -14,516        | -92,36         | 7,2            | 77,9           | 37,35          | -28,35         | -120,27        | -25,45         | 141,957        |
| G + 1,2 P                      | 19,6           | -19,6          | -43,32         | -43,32         | 79,28          | 33,42          | -33,4          | -74,10         | -74,10         | 144,37         |
| 0,8 G + $\vec{S}_I$            | 9,306          | -19,78         | 18,676         | -80,86         | 56,75          | 28,542         | -28,54         | -5,91          | -100,73        | 103,82         |
| 0,8 G + $\vec{S}_I$            | 18,78          | -9,306         | -80,86         | 18,676         | 56,75          | 28,542         | -19,52         | -100,73        | -5,91          | 103,88         |
| G + P + V <sub>n</sub>         | 14,67          | -19,71         | -34,26         | -42,47         | 69,35          | 29,94          | -34,98         | -64,55         | -72,75         | 133,09         |
| G + P + V <sub>ext</sub>       | 12,49          | -21,88         | -28,02         | -42,38         | 62,7           | 27,76          | -36,58         | -62,06         | -72,67         | 132,4          |
| G + 1,5(P + V <sub>n</sub> )   | 14,07          | -15,21         | -31,95         | -44,26         | 68,06          | 29,89          | -31,03         | -63,485        | -75,8          | 135,047        |
| G + 1,5(P + V <sub>ext</sub> ) | 10,80          | -17,60         | -22,59         | -44,14         | 58,10          | 26,62          | -33,43         | -54,12         | -75,68         | 125,33         |

| sollicitations      | Portique (1)   |                |                |                |                | Travée |
|---------------------|----------------|----------------|----------------|----------------|----------------|--------|
|                     | T <sub>w</sub> | T <sub>e</sub> | M <sub>w</sub> | M <sub>e</sub> | M <sub>t</sub> |        |
| G + P + $\vec{S}_I$ | 1,439          | -12,088        | 12,115         | -18,292        | 5,2857         | AB     |
| G + P + $\vec{S}_I$ | 11,379         | -2,148         | -17,23         | 4,728          | 2,176          |        |
| 0,8 G + $\vec{S}_I$ | -1,07          | -10,02         | 12,84          | -16,326        | 4,212          |        |
| 0,8 G + $\vec{S}_I$ | 8,869          | -0,0852        | -16,694        | 6,694          | 1,103          |        |
| G + 1,2 P           | -7,277         | -7,277         | -2,564         | -6,934         | 3,81           |        |
| G + P + $\vec{S}_I$ | -10,587        | -10,587        | 5,685          | -16,869        | 2,681          | BC     |
| G + P + $\vec{S}_I$ | -1,8279        | -1,828         | -17,335        | 6,152          | 2,681          |        |
| 0,8 G + $\vec{S}_I$ | -8,788         | -8,788         | 7,374          | 7,70           | 1,904          |        |
| 0,8 G + $\vec{S}_I$ | -0,028         | -0,028         | -15,646        | -15,31         | 1,904          |        |
| G + 1,2 P           | 6,536          | -6,347         | -5,95          | -5,478         | 2,74           |        |
| G + P + $\vec{S}_I$ | 1,835          | -10,773        | 6,152          | 8,629          | 2,681          | CD     |
| G + P + $\vec{S}_I$ | 10,595         | -2,013         | -16,868        | -14,391        | 2,681          |        |
| 0,8 G + $\vec{S}_I$ | 0,029          | -8,92          | 7,705          | -13,29         | 1,904          |        |
| 0,8 G + $\vec{S}_I$ | 8,788          | -0,16          | -15,314        | 9,729          | 1,904          |        |
| G + 1,2 P           | 6,355          | -6,536         | -5,478         | -3,012         | 2,74           |        |
| G + P + $\vec{S}_I$ | 2,148          | -11,79         | 4,728          | -17,128        | 2,176          | DE     |
| G + P + $\vec{S}_I$ | 11,498         | -2,029         | -18,292        | 12,112         | 5,285          |        |
| 0,8 G + $\vec{S}_I$ | 0,675          | -8,868         | 6,694          | -16,40         | 1,103          |        |
| 0,8 G + $\vec{S}_I$ | 1,435          | 1,0716         | -16,326        | 12,83          | 4,212          |        |
| G + 1,2 P           | 7,278          | -6,716         | -6,93          | -2,56          | 3,81           |        |



Bloc IB

SUPERPOSITION des sollicitations  
Moments fléchissants et efforts tranchants dans Les poutres

| PORTIQUE (A)         |        |         |        |        |             |
|----------------------|--------|---------|--------|--------|-------------|
| travée AB.           | $T_w$  | $T_c$   | $M_w$  | $M_c$  | $M_t$ (t.m) |
| G                    | 1,569  | -3,18   | -0,27  | -4,7   | 0,46        |
| P                    | 0,944  | -4,765  | -0,217 | -2,39  | 0,29        |
| $\overline{SI}$      | -1,815 | 1,815   | 3,97   | -3,196 | 0,317       |
| $G+P+\overline{SI}$  | 0,628  | -6,83   | 3,483  | -6,703 | 1,137       |
| $G+P+\overline{SI}$  | 4,398  | -3,06   | -4,456 | -0,311 | 0,363       |
| $0,8G+\overline{SI}$ | -0,628 | -4,429  | 3,754  | -5,86  | 0,747       |
| $0,8G+\overline{SI}$ | 3,14   | -0,659  | -4,186 | 0,532  | -0,019      |
| $G+1,2P$             | 2,702  | -5,298  | -0,53  | -3,54  | 0,808       |
| travée Bc            |        |         |        |        |             |
| G                    | 6,772  | -6,968  | -4,7   | -4,7   | 3,340       |
| P                    | 3,535  | -3,535  | -2,49  | -2,39  | 1,733       |
| $\overline{SI}$      | -0,72  | -0,72   | 1,87   | -1,556 | 0,1570      |
| $G+P+\overline{SI}$  | 9,587  | -11,223 | -5,32  | -8,646 | 5,230       |
| $G+P+\overline{SI}$  | 11,223 | -9,783  | -9,06  | -5,534 | 4,916       |
| $0,8G+\overline{SI}$ | 4,854  | -6,294  | -1,89  | -5,32  | 2,829       |
| $0,8G+\overline{SI}$ | 6,137  | -4,854  | -5,63  | -2,20  | 2,515       |
| $G+1,2P$             | 11,014 | -11,04  | -7,68  | -7,568 | 5,419       |
| travée CD            |        |         |        |        |             |
| G                    | 3,695  | -2,076  | -3,66  | -0,578 | 0,624       |
| P                    | 2,133  | -0,949  | -1,86  | -0,188 | 0,263       |
| $\overline{SI}$      | -3,46  | -3,46   | 4,38   | -2,768 | -2,194      |
| $G+P+\overline{SI}$  | 2,367  | -6,450  | -1,139 | -3,534 | -1,30       |
| $G+P+\overline{SI}$  | 3,292  | +0,869  | -2,899 | 2,002  | 3,08        |
| $0,8G+\overline{SI}$ | -0,5   | -5,120  | 1,452  | -2,23  | -1,694      |
| $0,8G+\overline{SI}$ | 6,419  | +1,799  | -7,308 | 2,3    | 2,633       |
| $G+1,2P$             | 6,258  | -3,173  | -5,89  | -0,8   | 0,939       |

| Portique 3-3         |         |        |        |        |        |
|----------------------|---------|--------|--------|--------|--------|
| travée (1)           | $T_w$   | $T_c$  | $M_w$  | $M_c$  | $M_t$  |
| G                    | -0,034  | 0,034  | 0,26   | -2,76  | -0,51  |
| P                    | -0,0132 | 0,0132 | 0,151  | -1,588 | -0,29  |
| SI                   | -5,50   | -5,50  | 5,113  | -3,87  | 0,6215 |
| $G+P+\overline{SI}$  | -5,55   | -5,45  | 5,524  | -8,281 | -1,785 |
| $G+P+\overline{SI}$  | 5,253   | 5,55   | -4,70  | -0,478 | -3,028 |
| $0,8G+\overline{SI}$ | -5,527  | 5,47   | 5,321  | -6,078 | 0,2135 |
| $0,8G+\overline{SI}$ | 5,473   | 5,527  | 4,905  | -1,662 | -1,029 |
| $G+1,2P$             | 0,0498  | 0,049  | 0,442  | -4,665 | -0,858 |
| travée (2)           |         |        |        |        |        |
| G                    | 6,88    | -6,88  | -4,000 | -4,000 | 4,988  |
| P                    | 4       | -4     | -2,303 | -4,000 | 4,976  |
| SI                   | -0,88   | -0,88  | 1,839  | -1,839 | 0      |
| $G+P+\overline{SI}$  | 10      | -11,76 | -4,484 | -3,162 | 4,653  |
| $G+P+\overline{SI}$  | 11,76   | 10     | -2,162 | -4,484 | 4,653  |
| $0,8G+\overline{SI}$ | 4,624   | 6,384  | -1,361 | -5,039 | 4,058  |
| $0,8G+\overline{SI}$ | 6,384   | 4,624  | -5,039 | -1,361 | 4,058  |
| $G+1,2P$             | 11,68   | -11,68 | -6,787 | -6,787 | 4,988  |

| Portique 1-1         |        |         |        |        |        |
|----------------------|--------|---------|--------|--------|--------|
| sollicitations       | $T_w$  | $T_c$   | $M_w$  | $M_c$  | $M_t$  |
| G                    | 3,036  | -3,036  | -2,372 | -2,372 |        |
| P                    | 1,5    | -1,5    | -1,172 | 0,586  |        |
| SI                   | -2,795 | -2,795  | 5,59   | -5,59  | 0      |
| $G+P+\overline{SI}$  | 1,741  | -1,741  | 2,046  | -2,134 | -0,78  |
| $G+P+\overline{SI}$  | 7,331  | -7,331  | -2,134 | 2,046  | -0,78  |
| $0,8G+\overline{SI}$ | 0,336  | 0,336   | 3,692  | -7,877 | -0,612 |
| $0,8G+\overline{SI}$ | 5,224  | 5,224   | -7,487 | 3,692  | -0,612 |
| $G+1,2P$             | 11,223 | -11,223 | -2,223 | 2,223  | 2,811  |

47



BLOC A

\* SUPERPOSITION des sollicitations dans Les poteaux  
 Moments - effort normaux - effort tranchants

|             | Moment | G      | P     | $\bar{S}I$ | $V_n$ | $G+1,2P$ | $0,86 \cdot \bar{S}I$ | $0,86 \cdot \bar{S}I$ | $G+P+1,2\bar{S}I$ | $0,86 \cdot P+1,2\bar{S}I$ | $G+P+V_n$ | $G+1,5(P+V_n)$ | $G+P+V_{ext}$ | $G+1,5(P+V_{ext})$ |
|-------------|--------|--------|-------|------------|-------|----------|-----------------------|-----------------------|-------------------|----------------------------|-----------|----------------|---------------|--------------------|
| portique(3) | $M_s$  | -66,65 | -6,24 | 47,41      | 8,32  | -74,102  | -100,73               | -5,91                 | -129,75           | -15,968                    | -64,54    | -63,48         | -58,3         | -54,12             |
|             | $M_I$  | 33,32  | 3,10  | -57,95     | 7,072 | 37,02    | 84,606                | -31,29                | 105,96            | -33,12                     | 43,49     | 48,58          | 48,796        | 56,53              |
| portique(2) | $M_s$  | -38,88 | -3,7  | 49,78      | 8,32  | -43,32   | -76,88                | -22,676               | -102,316          | 17,156                     | -34,26    | -34,95         | -28           | -22,6              |
|             | $M_I$  | 19,43  | 1,87  | -69,85     | 7,072 | 24,674   | 76,32                 | -45,306               | 94,32             | -54,72                     | 28,372    | 40,799         | 8,924         | 40,8               |

|             |   | G      | P     | $\bar{S}I$ | $V_n$ | $G+1,2P$ | $0,86 \cdot \bar{S}I$ | $0,86 \cdot \bar{S}I$ | $G+P+1,2\bar{S}I$ | $G+P+1,2\bar{S}I$ | $G+P+V_n$ | $G+1,5(P+V_n)$ | $G+P+V_{ext}$ | $G+1,5(P+V_{ext})$ |
|-------------|---|--------|-------|------------|-------|----------|-----------------------|-----------------------|-------------------|-------------------|-----------|----------------|---------------|--------------------|
| portique(3) | N | 44,675 | 6,045 | -4,5       | -2,9  | 48,33    | 29,76                 | 35,96                 | 45,4              | 56,84             | 47,82     | 49,39          | 45,64         | 46,13              |
|             | T | 10,048 | 0,935 | -10,59     | -3,75 | 11,17    | -2,55                 | 18,63                 | -1,724            | 23,69             | 7,23      | 5,825          | 4,42          | 1,6                |
| portique(2) | N | 31,46  | 5,056 | -4,74      | -2,9  | 37,527   | 20,43                 | 39,908                | 30,83             | 42,184            | 33,616    | 34,69          | 34,44         | 34,43              |
|             | T | 5,86   | 0,559 | -11,12     | -3,75 | 6,551    | -6,43                 | 15,808                | -6,924            | 19,765            | -4,7      | 1,07           | -0,14         | -3,14              |

- Portique 1.

| Combinaisons          | poteau A |         |        | poteau B |         |        | poteau C |         |        | poteau D |         |        | poteau E |        |        |
|-----------------------|----------|---------|--------|----------|---------|--------|----------|---------|--------|----------|---------|--------|----------|--------|--------|
|                       | $M_s$    | $M_I$   | N      | $M_s$    | $M_I$   | N      | $M_s$    | $M_I$   | N      | $M_s$    | $M_I$   | N      | $M_s$    | $M_I$  | N      |
| G                     | -2,226   | 1,112   | 9,746  | 0,84     | -0,419  | 31,46  | 0        | 0       | 44,65  | -0,84    | 0,419   | 31,46  | 2,226    | -1,112 | 9,746  |
| P                     | -0,282   | 0,141   | 3,07   | 0,106    | -0,053  | 5,056  | 0        | 0       | 6,045  | -0,106   | 0,053   | 5,056  | 0,282    | -0,14  | 3,07   |
| $\bar{S}I$            | 14,62    | -17,89  | -4,97  | 23,02    | -28,183 | 0,585  | 23,02    | -28,18  | 0      | 23,02    | -28,183 | -0,585 | 14,62    | -17,89 | 4,97   |
| $\bar{S}I$            | -14,62   | 17,89   | 4,97   | -23,02   | 28,183  | -0,585 | -23,02   | 28,18   | 0      | -23,02   | 28,183  | 0,585  | -14,62   | 17,89  | -4,97  |
| $G+P+1,2\bar{S}I$     | 15,036   | -20,052 | 6,854  | 28,57    | -34,29  | 37,18  | 27,624   | -33,819 | 50,695 | -28,57   | 38,189  | 35,814 | 20,05    | -22,72 | 18,782 |
| $G+P+1,2\bar{S}I$     | -20,052  | 22,721  | 18,782 | -26,68   | 33,346  | 35,814 | -27,624  | 33,819  | 50,695 | 22,721   | -24,725 | 37,18  | -15,036  | 20,214 | 6,854  |
| $0,86 + \bar{S}I$     | 12,839   | -16,99  | 2,827  | 23,69    | -28,518 | 22,827 | 23,02    | -28,18  | 35,72  |          |         | 24,658 | -12,839  | 16,99  | 2,826  |
| $0,86 \cdot \bar{S}I$ | -36,40   | 36,40   | 12,764 | -24,35   | 27,847  | 21,658 | -23,02   | 28,18   | 35,72  | -23,69   | 31,44   | 22,827 | 16,40    | -18,78 | 12,76  |
| $G+1,2P$              | -2,564   | 1,281   | 13,432 | 0,968    | -0,483  | 37,527 | 0        | 0       | 54,90  | -0,968   | 0,483   | 37,527 | 2,564    | -1,281 | 13,432 |

84



| Port (A) | G              |                | P              |                | SI             |                |
|----------|----------------|----------------|----------------|----------------|----------------|----------------|
|          | M <sub>s</sub> | M <sub>r</sub> | M <sub>s</sub> | M <sub>r</sub> | M <sub>s</sub> | M <sub>r</sub> |
| Poteau A | -0,27          | 0,089          | -0,218         | 0,1            | 3,57           | -5,259         |
| B        | -1,33          | 0,615          | -0,719         | 0,355          | 5,07           | -5,73          |
| C        | 1,063          | -0,58          | 0,532          | -0,266         | 6,146          | -6,4           |
| D        | 0,578          | -0,473         | 0,188          | -0,093         | 8,768          | -11,64         |
| Poteau   | T              | N              | T              | N              | T              | N              |
| A        | 0,063          | 1,569          | 0,056          | 0,944          | 1,63           | -1,885         |
| B        | 0,344          | 9,952          | 0,190          | 5,3            | 1,911          | 1,165          |
| C        | -0,438         | 10,657         | 0,213          | 5,66           | 3,34           | -2,738         |
| D        | -0,4121        | 2,076          | 0,110          | 0,914          | 7,166          | 3,46           |

| Port 2.2    | G              |                | P              |                | SI             |                |
|-------------|----------------|----------------|----------------|----------------|----------------|----------------|
|             | M <sub>s</sub> | M <sub>r</sub> | M <sub>s</sub> | M <sub>r</sub> | M <sub>s</sub> | M <sub>r</sub> |
| Poteau Rive | -0,55          | 0,5            | -0,27          | 0,3            | 4,08           | -5,1           |
| interméd    | -0,73          | 0,7            | -0,3           | 0,25           | 3,7            | -              |
| Poteau      | T              | N              | T              | N              | T              | N              |
| Rive        | 0,186          | 2,67           | 0,100          | 1,30           | -1,625         | -1,69          |
| interméd    | 0,253          | 7,3            | 0,097          | 3,65           | -1,840         | 1,69           |

| Port 3.3    | G              |                | P              |                | SI             |                |
|-------------|----------------|----------------|----------------|----------------|----------------|----------------|
|             | M <sub>s</sub> | M <sub>r</sub> | M <sub>s</sub> | M <sub>r</sub> | M <sub>s</sub> | M <sub>r</sub> |
| Poteau Rive | 0,26           | -0,125         | 0,152          | -0,073         | 5              | -6,1           |
| interméd    | -1,261         | 0,63           | -0,732         | 0,366          | 5,46           | -6,7           |
| Poteau      | T              | N              | T              | N              | T              | N              |
| Rive        | 0,102          | 0,033          | 0,06           | 0,0125         | 2,96           | -4,58          |
| interméd    | -0,504         | 10,04          | 0,282          | 5,817          | 3,24           | 3,699          |

- SUPEPOSITION des sollicitations -  
. Poteaux.

| Portique Longitudinal (A) |                |        | G+1,2P  | G+P+1,2SI      | G+P+1,2SI | 0,8G+SI | 0,8G+SI |
|---------------------------|----------------|--------|---------|----------------|-----------|---------|---------|
|                           |                |        | A       | M <sub>s</sub> | -0,531    | 4,276   | -5,252  |
|                           | M <sub>r</sub> | 0,209  | -6,121  | 6,499          | -5,188    | 5,33    |         |
|                           | N              | 2,702  | 0,251   | 4,775          | -0,629    | 3,140   |         |
| B                         | M <sub>s</sub> | -2,19  | 4,035   | -6,100         | 4         | -6,134  |         |
|                           | M <sub>r</sub> | 1,046  | -5,9    | 7,85           | -5,234    | 6,222   |         |
|                           | N              | 16,882 | 10,651  | 13,854         | 9,127     | 6,796   |         |
| C                         | M <sub>s</sub> | 1,702  | 8,97    | -3,32          | 6,996     | 12,175  |         |
|                           | M <sub>r</sub> | -0,899 | -8,826  | 6,834          | -5,774    | 5,936   |         |
|                           | N              | 17,468 | 13,04   | 19,61          | 5,787     | 11,26   |         |
| D                         | M <sub>s</sub> | 0,804  | 11,287  | -9,755         | 9,23      | -8,3    |         |
|                           | M <sub>r</sub> | -0,584 | -13,814 | 11,261         | -11,418   | 10,66   |         |
|                           | N              | 3,935  | 7,14    | -1,16          | 5,12      | -1,8    |         |

| Portique 2.2 | Poteaux        |                | G+1,2P | G+P+1,2SI      | G+P+1,2SI | 0,8G+SI | 0,8G+SI |
|--------------|----------------|----------------|--------|----------------|-----------|---------|---------|
|              |                |                | Rive   | M <sub>s</sub> | -0,874    | 4,1     | -5,74   |
|              | M <sub>r</sub> | 0,96           | -5,32  | 6,92           | -4,7      | 5,5     |         |
|              | N              | 4,23           | 1,75   | 6              | 0,366     | 3,9     |         |
| interméd     | M <sub>s</sub> | -1,09          | 5,14   | -7,2           | 4,55      | -5,72   |         |
|              | M <sub>r</sub> | 1              | -6,61  | 8,51           | -5,74     | 6,86    |         |
|              | N              | 11,68          | 11,57  | 10,32          | 6,36      | 5,32    |         |
| Portique 3.3 | Rive           | M <sub>s</sub> | 0,442  | 6,547          | -5,723    | 5,321   | -4,905  |
|              | M <sub>r</sub> | -0,2116        | -7,696 | 6,052          | -6,348    | 6,15    |         |
|              | N              | 0,048          | -5,628 | 5,719          | -4,7      | 4,754   |         |
| interméd     | M <sub>s</sub> | -2,14          | 4,898  | -8,849         | 4,7       | -6,722  |         |
|              | M <sub>r</sub> | 1,069          | -7,38  | 9,374          | -6,478    | 7,486   |         |
|              | N              | 17,02          | 20,297 | 11,297         | 11,832    | 4,252   |         |

## FERRAILLAGE DES POUTRES

- Conformément à l'article A15 du CCBA 68, Les poutres seront ferrai-  
llées en flexion simple sous la plus défavorable des combinaisons  
SP1 et SP2. Il ne sera pas fait état dans les calculs des efforts  
normaux dans les poutres.

Pour ce qui est le choix de la sollicitation la plus défavorable, on  
considèrera la plus grande de  $1,5 M(SP_1)$  et  $M^{max}(SP_2)$ .

$M^{max}(SP_2)$ : Le moment sous la plus défavorable des combinaisons du  
2<sup>ème</sup> Genre. La méthode de détermination des sections d'Aciers  
sera celle de P. Charon.

- Calcul des armatures longitudinales :

on calcule  $\mu = \frac{15M}{\bar{\sigma}_a b h^2}$   $\xrightarrow{\text{tableau}}$   $\epsilon$  et  $\kappa \rightarrow \sigma'_b = \frac{\sigma_a}{\kappa}$

• si  $\sigma'_b \leq \bar{\sigma}'_b \Rightarrow$  pas d'armatures comprimées  $\rightarrow A = \frac{M}{\bar{\sigma}_a \epsilon h}$

• si  $\sigma'_b > \bar{\sigma}'_b \Rightarrow$  il faut prévoir des armatures comprimées on calcule :

$K_1 = \frac{15}{\eta} \frac{\bar{\sigma}_a}{\bar{\sigma}'_b}$  et  $K_2 = \frac{15(h-d')}{(h+d') \bar{\sigma}'_b}$

• si  $K_1 > K_2$ , on prend  $K_1$  et  $\sigma'_b = \bar{\sigma}'_b \xrightarrow{\text{tableau}}$   $\epsilon, \alpha, \mu' \rightarrow M_1 = \mu' \sigma'_b b h^2$

$\Delta M = M - M_1$ ,  $y_1 = \alpha h \rightarrow \sigma'_a = \frac{15(y_1 - d')}{y_1} \bar{\sigma}'_b$

$A = \frac{M_1}{\bar{\sigma}_a \epsilon h} + \frac{\Delta M}{\bar{\sigma}_a (h-d')}$  (section d'armature tendue) ;  $A' = \frac{\Delta M}{(h-d') \sigma'_a}$  (Arm. comprimée)

• si  $K_2 > K_1$ , on prend  $K_2$  et  $\sigma'_b = \frac{\bar{\sigma}_a}{\kappa_2} \rightarrow \epsilon, \alpha, \mu'$

- Pourcentage d'armatures Le Pourcentage total minimal (maximal)

des aciers longitudinaux sur toute la longueur de la poutre  
doit être de 0,3% (2,5%) pour les armatures à H.A.

- calcul des armatures transversales

La quantité minimale est donnée par  $A_t = 0,004 t b$  où "t" est  
l'espacement ; b: largeur de la poutre.

• Contrainte de cisaillement max:  $\tau_b = \frac{T^{max}}{b z}$  avec  $z = \frac{7}{8} h$



• Contraintes admissibles de cisaillement

• Pour  $\sigma'_b \leq \bar{\sigma}'_{b0} \rightarrow \bar{\tau}_b = 3,5 \bar{\sigma}_b$  ; - pour  $\bar{\sigma}'_{b0} \leq \sigma'_b \leq 2 \bar{\sigma}'_{b0} \rightarrow \bar{\tau}_b = \left(4,5 - \frac{\sigma'_b}{\bar{\sigma}'_{b0}}\right) \bar{\sigma}_b$

- si  $\tau_b \leq \bar{\tau}_b \rightarrow$  on utilise des cadres et étriers.

- si  $\bar{\tau}_b < \tau_b < 5 \bar{\sigma}_b \rightarrow$  on utilise des cadres et étriers droits plus des barres obliques.

• Contrainte admissible des armatures transversales :

$\bar{\sigma}_{at} = \beta_a \bar{\sigma}_{en}$  avec  $\begin{cases} \beta_a = \frac{2}{3} & \text{reprise de bétonnage} \\ \beta_a = \sup\left(\frac{2}{3}, 1 - \frac{\tau_b}{9 \bar{\sigma}_b}\right) & \text{si pas de reprise de bétonnage} \end{cases}$

• Espacement :

$$e = \frac{A_t \beta_a \bar{\sigma}_{at}}{T_c}$$

• Espacement admissible :  $\bar{e} \leq \min\left(\frac{h}{4}, 12\phi, 30\text{cm}\right)$  en Z.N

$\bar{e} \leq \frac{h}{2}$  en Z. courante.

• Vérifications :

• Condition de non fragilité (Art 19. CCBA 68)  $A \geq 0,69 b h \frac{\bar{\sigma}_b}{\bar{\sigma}_{en}}$

• Condition de flèche (CCBA 68. art 61.21)

a)  $h_t \geq \frac{e}{16}$     b/  $h_t \geq \frac{1}{10} \frac{M_t}{M_o} \cdot l$     c/  $A \leq b \cdot h \frac{43}{\bar{\sigma}_{en}}$

si les 3 conditions sont vérifiées, il est inutile de faire une justification de flèche.

• Fissuration : on doit vérifier que  $\max(\sigma_1, \sigma_2) \geq \bar{\sigma}_a$

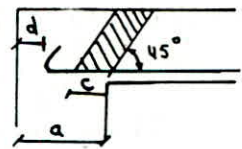
• Condition aux appuis :

• béton : on doit avoir  $c \geq \frac{2T}{b_o \bar{\sigma}'_{b0}}$

T : effort tranchant max  
c = a - (d + z)

• Acier :

armatures inférieures :  $A \bar{\sigma}_a \geq T + \frac{M}{\beta}$



• Condition de non entrainement des barres

(CCBA 68. art 20.11) on doit vérifier  $\tau_d \leq \bar{\tau}_d / \bar{\tau}_d = 2 \psi_d \bar{\sigma}_b$

( $\psi_d = 1,5$  Acier H.A).  $\tau_d = \frac{T \max}{n P \beta}$  avec P : périmètre de la barre  
n : nbre de barres.

• Vérification des contraintes :

La section d'armature étant connue, nous calculons :

$\tilde{\omega} = \frac{1000 A}{b h}$      $\tilde{\omega} \rightarrow \epsilon, \kappa$  on doit avoir  $\sigma_a = \frac{M}{A E h} \leq \bar{\sigma}_a$  et

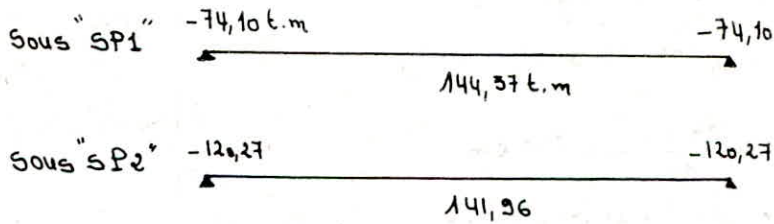
$\sigma'_b = \frac{\sigma_a}{\kappa} \leq \bar{\sigma}'_b$



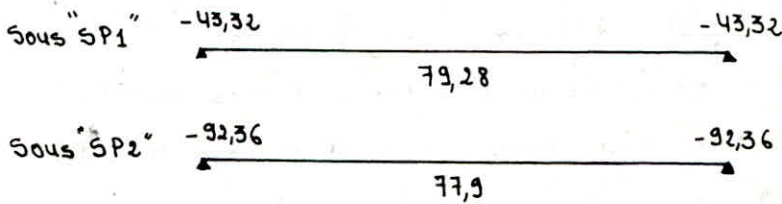
Ferraillage des Poutres

"BLOC A"

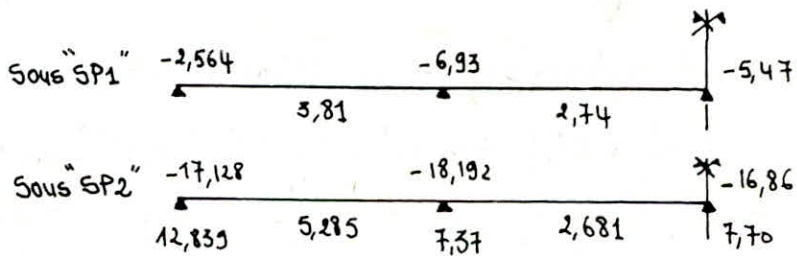
Portique (3) :



Portique (2) :



Portique de rive (1) :



\* Portique "3"

Section sur appui:  $M^{\max}(SP_2) = -120,27 \text{ t.m}$

La table se trouve dans la zone tendue, d'où elle n'intervient pas dans le calcul. La section en T est considérée comme une section rectangulaire de largeur  $b = 50 \text{ cm}$ , et de hauteur  $h = 104 \text{ cm}$ .

$$\mu = \frac{15M}{\bar{\sigma}_a b h^2} = \frac{15 \times 120,27 \cdot 10^5}{4000 \cdot 50 \cdot 104^2} = 0,083$$

$$\Rightarrow \epsilon = 0,8834 ; K = 27,9 ; \alpha = 34,97$$

Section d'armature :

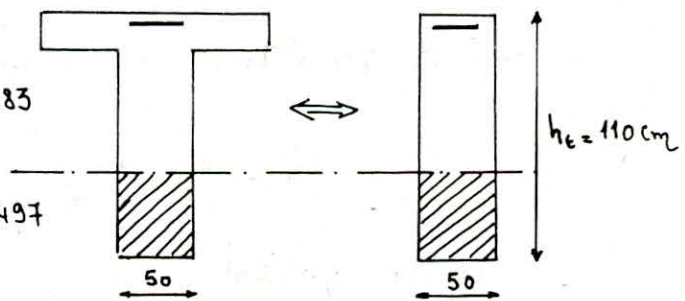
$$A = \frac{M}{\epsilon h \bar{\sigma}_a} = \frac{120,27 \cdot 10^5}{0,8834 \cdot 104 \cdot 4000} = 32,7 \text{ cm}^2$$

Soit  $A = 6T25 + 2T14$

$$\sigma'_b = \frac{\bar{\sigma}_a}{K} = \frac{4000}{27,9} = 143,37 \text{ Kg/cm}^2 < \bar{\sigma}'_b = 205,5 \text{ Kg/cm}^2$$

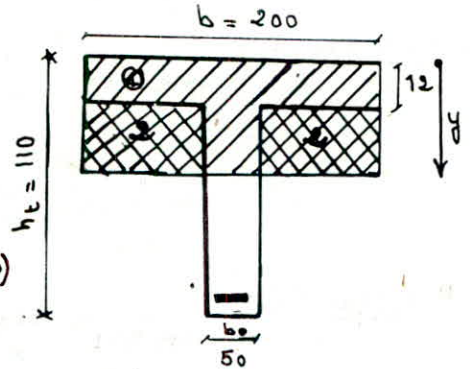
$$\sigma'_m = \frac{A \cdot \bar{\sigma}_a}{B'} = \frac{32,53 \cdot 4000}{36,36 \cdot 50} = 71,55 \text{ Kg/cm}^2 < \bar{\sigma}'_{b0} = 102,75 \text{ Kg/cm}^2$$

Condition de non fragilité :  $A \geq 0,69 b h \frac{\bar{\sigma}_b}{\bar{\sigma}_{en}} = 0,69 \cdot 50 \cdot 104 \cdot \frac{8,85}{4000} = 7,94 \text{ cm}^2$



- Section entravée:  $M_t^{max} (SP_1) = 144,37 \text{ t.m}$

- Détermination de la largeur de la table de compression (art 23.3 CC BA 68).



1°)  $b_1 \leq \frac{L}{10} = \frac{2030}{10} = 203 \text{ cm}$

L : portée libre de la poutre entre nus des appuis)

2°)  $b_1 \leq \frac{l}{2} = \frac{525 - 50}{2} = 237,5 \text{ cm}$  avec l est la distance entre face voisine de deux nervures consécutives.

3°)  $6h_0 \leq b_1 \leq 8h_0 \rightarrow 72 \text{ cm} \leq b_1 \leq 96 \text{ cm} \rightarrow b_1 = 75 \text{ cm}$  (la 3<sup>ème</sup> condition est la plus restrictive) donc  $b = 2b_1 + b_w = 2 \cdot 75 + 50 = 200 \text{ cm}$

- Calcul des armatures: Par la méthode exacte

$M_T = K_T b h_0^2 = 97,1 \cdot 200 \cdot 21^2 = 27,96 \text{ t.m} < M^{ext} = 144,37 \text{ t.m} \Rightarrow$  l'axe

$K_T = \frac{\bar{\sigma}_a}{n} \frac{h - h_0/3}{h - h_0} = \frac{2670}{15} \frac{100 - 12/3}{100 - 12} = 97,1$  neutre tombe dans la nervure  $\rightarrow$  Sect. en T

On procède par itérations:

1<sup>ère</sup> itération: supposons que le béton travaille à  $\bar{\sigma}'_b = 74 \text{ kg/cm}^2$

$\alpha = \frac{n \bar{\sigma}'_b}{n \bar{\sigma}'_b + \bar{\sigma}_a} = \frac{15 \cdot 74}{15 \cdot 74 + 2670} = 0,293$  ,  $x = \alpha h = 0,293 \cdot 100 = 29,3 \text{ cm}$   
 $\Rightarrow x > h_0 = 12 \text{ cm}$

Le calcul se fait par différence des deux sections rectangulaires ① et ②.

Pour la section ②  $\bar{\sigma}'_b = \bar{\sigma}'_b \frac{x - h_0}{x} = 74 \frac{29,3 - 12}{29,3} = 43,75 \text{ kg/cm}^2$

On dresse le tableau suivant :

|     | Forces                                                             | Bras de levier | Moment                                     |
|-----|--------------------------------------------------------------------|----------------|--------------------------------------------|
| ①   | $\frac{1}{2} \cdot 200 \times 29,36 \cdot 74 = 217,26 \text{ t}$   | 90,21 cm       | 196,34 t.m                                 |
| ②   | $\frac{1}{2} \cdot 150 (29,36 - 12) \cdot 43,75 = 56,96 \text{ t}$ | 82,21 cm       | 46,82 t.m                                  |
| ENS | $N_b = 217,26 - 56,96 = 160,3 \text{ t}$                           |                | $M_b = 196,34 - 46,82 = 149,6 \text{ t.m}$ |

Le moment  $M_b = 149,62 \text{ t.m}$  est proche du moment extérieur on s'arrête à cette 1<sup>ère</sup> itération.

La section d'acier nécessaire est :  $A = A_b \frac{M}{M_b} = \frac{160,3 \cdot 10^3}{2670} \frac{144,37}{149,6} = 57,93 \text{ cm}^2$   
 on adoptera : 12T25 (58,9 cm<sup>2</sup>)

\* Vérifications diverses :

- Contraintes

- axe neutre :

$$25y^2 + 2683,5y - 99150 = 0 \rightarrow y = 29,07 \text{ cm}$$

- Mom<sup>t</sup> d'inertie :

$$K = \frac{M}{I} = \frac{1}{3} 200 \cdot 29,07^3 - \frac{1}{3} (200-50)(29,07-12)^3 + 15 \times 58,9 (100-29,07)^2$$

$$I = \frac{M}{K} = 5,833 \cdot 10^6 \text{ cm}^4 \rightarrow K = \frac{M}{I} = 2,47$$

• contrainte du béton :  $\sigma'_b = K y = 2,47 \times 29,07 = 71,926 \text{ kg/cm}^2$

• " " d'acier :  $\sigma_a = nK(h-y) = 15 \times 2,47 (-29,07 + 100) = 2627,9 \text{ kg/cm}^2 < \bar{\sigma}_a$   
 Vérifié

• contrainte moyenne du béton :  $\sigma'_m = \frac{F}{B_0}$  avec  $F = \frac{M}{z}$

$$B_0 = 200 \times 12 + 50 (29,07 - 12) = 3253,5 \text{ cm}^2$$

$$z = \frac{I}{S_0} = \frac{I}{nA(h-y)} = 93,07 \text{ cm}$$

$$F = \frac{M}{z} = \frac{144,37 \cdot 10^5}{93,07} = 1,55 \cdot 10^5 \text{ kg}$$

$$\Rightarrow \sigma'_m = \frac{1,55 \cdot 10^5}{3253,5} = 47,67 \text{ kg/cm}^2 < \bar{\sigma}'_{b0} = 68,5 \text{ kg/cm}^2$$

la contrainte moyenne du béton est vérifiée.

- fissuration :

$$\eta = 1,6$$

$$\sigma = 25 \text{ mm}$$

$$A = 58,9 \text{ cm}^2$$

$$K = 1,5 \cdot 10^6$$

$$d = 10 \text{ cm}$$

$$\rightarrow \omega_f = \frac{A}{2bd} = 0,0585 \rightarrow \sigma_1 = 3567,4 \text{ kg/cm}^2 > \bar{\sigma}_a = 2670 \text{ kg/cm}^2$$

pas de risque de fissuration

- flèche : La flèche est max au nud 4 :  $V_4 = \sum a'_{2k} X_k = \frac{1}{K} \sum a_{2k} X_k = \frac{1}{K} y_4$   
 $y_4 = \sum a_{2k} X_k = (a_{21} + a_{23}) X_2 + a_{22} X_4$

A.N :  $y_4 = 2(X_2 + X_4) = 2(0,766 + 0,5) \Rightarrow y_4 = 2,532 \text{ P}$

\* Position du centre de Gravité  $y_G = 60,91 \text{ cm}$

\* moment d'inertie  $I_G$  :  $I_G = 1,1388 \cdot 10^7 \text{ cm}^4$

• flèche sous charge de faible durée

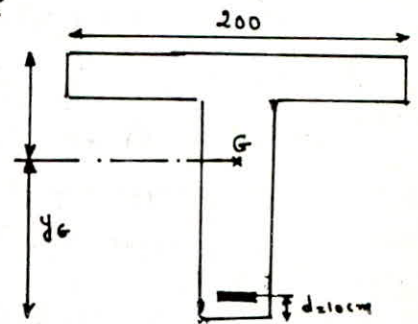
$$V_{4i} = \frac{L^3}{6E_i I_{Gi}}$$

avec  $E_i = 21000 \sqrt{\sigma'_f}$

$$I_{Gi} = \frac{I_G}{1 + \mu_i \eta}$$
 (moment d'inertie fictif)

$$\mu_i = \frac{\bar{\sigma}_b}{72(2 + 3\frac{\bar{\sigma}_b}{b})} \tilde{\omega}$$

$$\tilde{\omega} = \frac{A}{b_0 h} = 0,0117 \rightarrow \mu_i = 2,529 \rightarrow y = 0,794 \rightarrow I_{Gi} = 3,78 \cdot 10^6 \text{ cm}^4$$



$$y_4^{G+P} = 79,63 \cdot 10^3 \text{ kg} \rightarrow V_{4i} = \frac{525^3}{6 \cdot 378 \cdot 10^3 \cdot 3,78 \cdot 10^6} \times 79,63 \cdot 10^3 \rightarrow V_{4i} = 1,344 \text{ cm}$$



flèche sous charge de longue durée

$$V_4^\infty = \frac{L^3}{6E_v I_{g_v}} y_4^G$$

avec  $y_4^G = 2,532 P$  ;  $P = Q \cdot S$

$Q = 1,03 \text{ t/m}^2 \rightarrow y_4^G = 71,88 \cdot 10^3$   
 $S = 5,25 \text{ m}^2$

$$\lambda_y = \frac{\bar{\sigma}_b}{180(2 + 3 \frac{b_0}{b}) \bar{\omega}} = 1,0118 ; y = 0,794 \rightarrow I_{g_v} = \frac{I_t}{1 + \lambda_y} = 6,31 \cdot 10^6 \text{ cm}^4$$

$E_v = \frac{E_c}{3} = 1,26 \cdot 10^5 \text{ kg/cm}^2$  La flèche st:  $V_4^\infty = \frac{525^3}{6 \cdot 1,26 \cdot 10^5 \cdot 6,31 \cdot 10^6} \cdot 71,88 \cdot 10^3$

flèche finale:  $\Delta f_{gt} = V_4^\infty - V_4^i = 2,18 - 1,34 = 0,835 \text{ cm} < \bar{f} = \frac{l}{1000} + 0,5 = 2,6 \text{ cm}$

\* Vérifiée \*

- Armatures inférieures:  $T + \frac{M}{l} \leq A \bar{\sigma}_a$

à l'appui  $T = 37,34 \text{ t}$   $M = -120,27 \text{ t.m} \Rightarrow T + \frac{M}{l} < 0$

- entraînement des barres tendues: (art 29 cc BA 68)

$\tau_d = \frac{T}{P \cdot l}$  ; P: Périmètre total adhérent  $\rightarrow$  1 barre  $\rightarrow p = \pi \phi$

$\left\{ \begin{array}{l} T = 33,4 \text{ t} \\ 4 T \cdot 25 \end{array} \right. \rightarrow \tau_d = \frac{33,4 \cdot 10^3}{\pi \times 4 \times 2,5 \cdot \frac{7}{8} \cdot 104} = 11,68 \text{ kg/cm}^2 < \bar{\tau}_d = 2 \psi_d \bar{\sigma}_b = 17,7 \text{ kg/cm}^2$

- Liaison hourdis nervures: (cc BA art 25.2)

$\tau_b = T \left( \frac{b-b_0}{2} \right) / \psi \cdot b \cdot h_0$  avec  $b_1 = \frac{b-b_0}{2} = \frac{200-50}{2} = 75 \text{ cm}$  ;  $z = \frac{7}{8} h = 91 \text{ cm}$

$h_0 = 12 \text{ cm}$ ,  $b_0 = 50 \text{ cm}$ ,  $b = 200 \text{ cm} \Rightarrow \tau_b = \frac{33,4 \cdot 10^3 \cdot 75}{91 \cdot 200 \cdot 12} = 11,46 \text{ kg/cm}^2$

$\bar{\tau}_b = 4 \bar{\sigma}_b = 4 \cdot 5,9 = 23,6 \text{ kg/cm}^2 \rightarrow \tau_b < \bar{\tau}_b$

- Armatures de couture: On considère les armatures propres du hourdis

comme armature de couture: On doit vérifier:  $\sigma_a = \frac{T b_1}{\psi b} \cdot \frac{1}{A} \leq \bar{\sigma}_a$

$A \rightarrow \left\{ \begin{array}{l} \text{nappe sup: } 5T8/\text{ml} \\ \text{nappe inf: } 7T10/\text{ml} \end{array} \right\} A = 8 \text{ cm}^2 \rightarrow \sigma_a = \frac{137,63}{8} = 17,20 \text{ kg/cm}^2 \ll \bar{\sigma}_a$

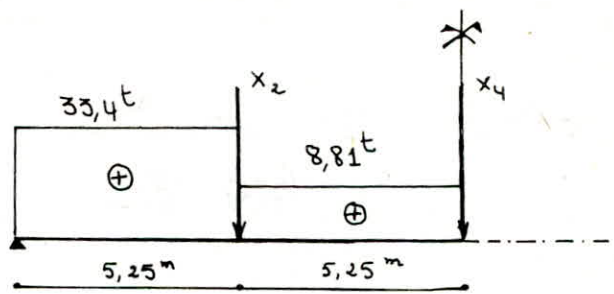
- Condition aux appuis:

• béton: on doit avoir  $c \geq \frac{2T}{b_0 \bar{\sigma}_b} = c_0$   $c = a - (d + z)$   $a = 70 \text{ cm}$

$r = 5\phi = 12,5 \text{ cm}$   $d = 8 \text{ cm}$   $c = 70 - (12,5 + 8) = 49,5 \text{ cm}$

$T = 33,4 \text{ t} \rightarrow c_0 = \frac{2 \cdot 33,4 \cdot 10^3}{50 \cdot 69,5} = 19,5 \text{ cm} < c = 49,5 \text{ cm}$

ARMATURES TRANSVERSALES



\* entre l'appui et la charge  $X_2$  l'effort tranchant est  $T = 33,4^t$ , l'écartement des armatures transversales sera pris constant, On prévoit 2 cadres  $\varnothing 10 \rightarrow A_{L1} = 3,14 \text{ cm}^2$

- Contrainte de cisaillement:  $\tau = \frac{T^{\max}}{b \cdot z}$  avec  $z = \frac{7}{8} h = \frac{7}{8} \cdot 104 = 91 \text{ cm}$   
 $b_0 = 50 \text{ cm}$

. Contrainte admissible:

$\sigma'_b = 88,82 \text{ kg/cm}^2 > \bar{\sigma}'_{b0} = 68,5 \text{ kg/cm}^2 \Rightarrow \bar{\sigma}_b = \left(4,5 - \frac{\sigma'_b}{\bar{\sigma}'_{b0}}\right) \bar{\sigma}_b = \left(4,5 - \frac{88,82}{68,5}\right) 5,9$   
 $\tau_b = 7,34 \text{ kg/cm}^2 < \bar{\tau}_b = 18,89 \text{ kg/cm}^2 \Rightarrow$  on utilise des cadres et étriers droits.

- Contrainte de traction admissible des armatures transversales:

$\bar{\sigma}_{at} = \sigma_a \cdot \gamma_{en}$  avec  $\gamma = \frac{2}{3}$  (reprise de bétonnage)  
 $\sigma_{en} = 2400 \text{ kg/cm}^2$  (FeE24)  $\rightarrow \bar{\sigma}_{at} = 1600 \text{ kg/cm}^2$

- espacement  $t = \frac{A_{L1} \bar{\sigma}_{at} z}{T} = \frac{3,14 \cdot 1600 \cdot 91}{33,4 \cdot 10^3} = 13,68 \text{ cm}$  soit  $t = 13 \text{ cm}$

. espacement admissible

. CCBA 68:  $\bar{E} = \max \left\{ \begin{array}{l} h(1 - 0,3 \frac{\tau_b}{\bar{\sigma}_b}) = 65,13 \text{ cm} \\ 0,2 R_c = 29,8 \text{ cm} \end{array} \right.$

. RPA 81:  $\bar{E} \leq \min \left( \frac{h}{4}, 12\varnothing, 30 \right) = 27,5 \text{ cm}$  en Z. nodale  
 $\bar{E} \leq \frac{h}{2} = 55 \text{ cm}$  en Zone courante

\* Immédiatement après la 1<sup>ère</sup> charge  $X_2$  l'effort tranchant est:  $T = 8,81^t$

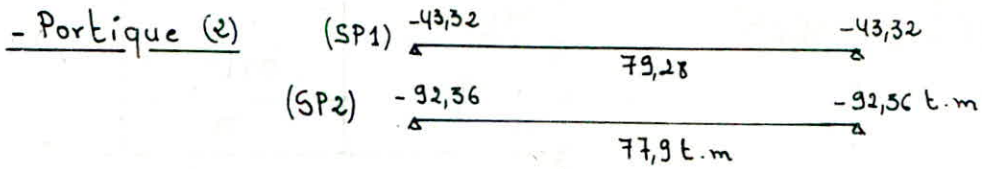
- Contrainte de cisaillement:  $\tau_b = \frac{T}{b \cdot z} = \frac{8,81 \cdot 10^3}{50 \cdot \frac{7}{8} \cdot 103} = 1,95 \text{ kg/cm}^2$

$\bar{\sigma}_b = \left(4,5 - \frac{\sigma'_b}{\bar{\sigma}'_{b0}}\right) \bar{\sigma}_b = \left(4,5 - \frac{71,93}{68,5}\right) \cdot 5,9$   
 $\tau_b = 1,95 \text{ kg/cm}^2 < \bar{\tau}_b = 29,35 \text{ kg/cm}^2$

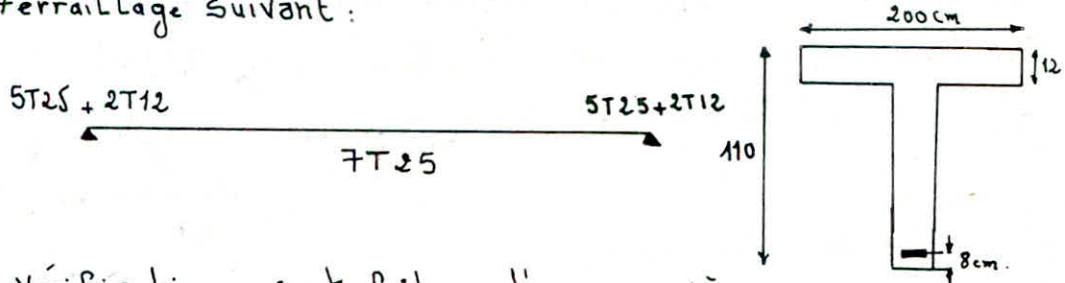
. espacement:  $t = \frac{A_{L2} z \bar{\sigma}_{at}}{T}$   $A_{L2} = 4,71 \text{ cm}^2$  2 cadres  $\varnothing 10$  + 1 cadre  $\varnothing 6$

$t \leq \frac{4,71 \cdot \frac{7}{8} \cdot 103 \cdot 1600}{8,81 \cdot 10^3} = 77,09 \text{ cm}$  d'où on prend  $t = 30 \text{ cm}$

Vérification  $A_{L1} = 3,14 \text{ cm}^2 \rightarrow 0,003 \cdot t \cdot b = 0,003 \cdot 13 \cdot 50 = 1,95 \text{ cm}^2$  [Vérifiée]  
 $A_{L2} = 4,71 \text{ cm}^2 > 0,003 \cdot 30 \cdot 50 = 4,5 \text{ cm}^2$



avec le même principe de calcul adopté pour le portique déjà étudié on trouve le Ferrailage suivant :

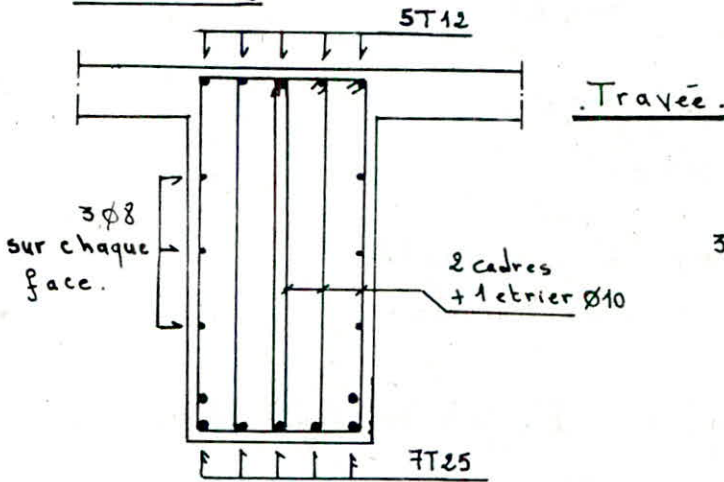


• Toutes les vérifications sont faites d'une manière analogue que la poutre (a<sub>3</sub>) du portique (3).

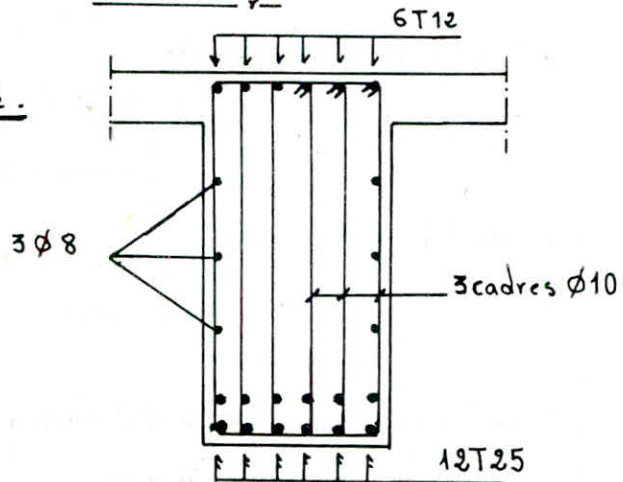
• Rmq : Les poutres b<sub>i</sub> sont identiques aux poutres a<sub>i</sub>. Le Ferrailage adopté est le même que les poutres a<sub>i</sub>.

\* Dessin du Ferrailage :

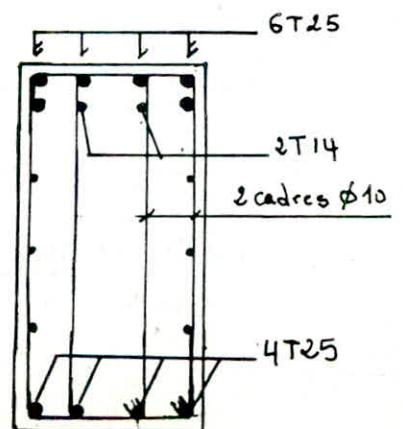
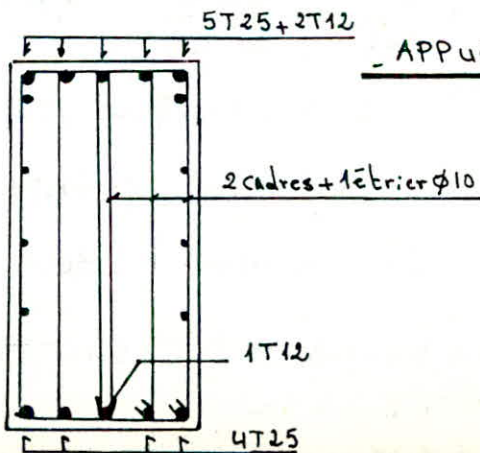
• Poutre a<sub>2</sub> :



• Poutre a<sub>3</sub> :



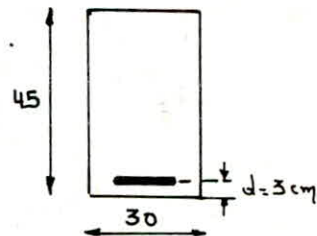
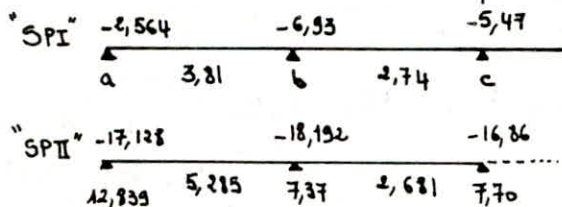
- Appui -





Portique de rive (Bloc A)

Etant donné que les poutres de rive ne sont pas porteuses des charges verticales et elles ne sont sollicitées principalement que par les forces horizontales, donc elles doivent avoir des armatures symétriques avec une section en travée au moins égale à la moitié de la section sur appuis (RPA 81 Art 4-2-3-2)



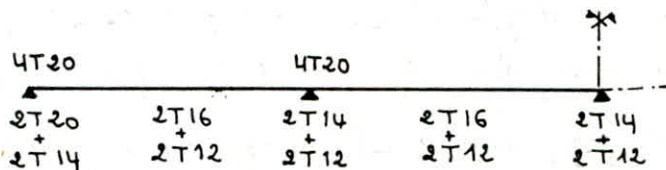
Sections d'Aciers aux appuis

| APPUI | Sollicitation | M       | $\mu$  | $\epsilon$ | K    | $\xi_b$ | $A_c(\text{cm}^2)$ | $A_{\text{adopté}}$ | $\emptyset$ |
|-------|---------------|---------|--------|------------|------|---------|--------------------|---------------------|-------------|
| a     | SP II         | -17,128 | 0,1155 | 0,8667     | 22,5 | 186,66  | 11,20              | 12,56               | 4T20        |
| b     | SP II         | -18,192 | 0,1234 | 0,860      | 21,5 | 195,35  | 12,01              | 12,56               | 4T20        |
| c     | SP II         | -16,82  | 0,1138 | 0,8674     | 22,7 | 185,02  | 11,02              | 12,56               | 4T20        |

armatures inf sur appuis

| APPUI | Sollicitation | M(k.m) | $\mu$  | $\epsilon$ | K     | $\xi_b$ | $A_c(\text{cm}^2)$ | $A_{\text{adopté}}$ | $\emptyset$ |
|-------|---------------|--------|--------|------------|-------|---------|--------------------|---------------------|-------------|
| a     | SP II         | 12,939 | 0,0866 | 0,8814     | 27,15 | 154,69  | 8,257              | 9,36                | 2T20 + 2T14 |
| b     | SP II         | 7,374  | 0,0497 | 0,9064     | 38,4  | 109,37  | 4,611              | 5,34                | 2T14 + 2T12 |
| c     | SP II         | 7,70   | 0,0519 | 0,9046     | 37,4  | 112,30  | 4,825              | 5,34                | 2T14 + 2T12 |

Ferrillage adopté:



Vérifications:

a) flèche

- $h_e = 45 \text{ cm} > \frac{l}{16} = \frac{475}{16} = 29,687 \text{ cm}$
- $h_e = 45 > \frac{l}{10} \frac{M_e}{M_0} = \frac{4,75 \cdot 3,73}{10 \cdot 8,27} = 21 \text{ cm}$
- $A \leq b h \frac{43}{6 \sigma_{cr}} = 30 \times 42 \frac{43}{4200} = 12,9 \text{ cm}^2$  (Vérifié)

Les trois conditions sont bien vérifiées donc il est inutile de faire un calcul précis de la flèche.

b/ condition de non fragilité :  $A \geq 0,69 bh \frac{\bar{\sigma}_b}{\sigma_{bc}} = \begin{cases} 1,22 \text{ cm}^2 (SP_1) \\ 1,83 \text{ cm}^2 (SP_2) \end{cases}$

c/ Condition aux appuis : On doit avoir  $c \geq \frac{2T}{b_0 \bar{\sigma}_{bc}} = C_0$  avec  $C = a - (d + \tau)$   
 $a = 50 \text{ cm}$   
 $\tau = 5\phi = 10 \text{ cm} (\phi = 2 \text{ cm})$   
 $d = 8 \text{ cm}$

| Appui          | a      | b      | c     |
|----------------|--------|--------|-------|
| T(t)           | 11,379 | 12,088 | 10,58 |
| C              | 32     | 32     | 32    |
| C <sub>0</sub> | 3,16   | 4,70   | 6,74  |

| Section                      | a      | b     | c     |
|------------------------------|--------|-------|-------|
| M(t.m)                       | 12,839 | 7,37  | 7,70  |
| T(t)                         | 11,379 | 12,08 | 10,58 |
| $\frac{T}{a} + \frac{M}{3a}$ | 11,02  | 7,65  | 7,5   |

d/ Armatures inférieures : Il faut que  $A \bar{\sigma}_a > T + \frac{M}{j}$

e/ fissuration

|            | A (cm <sup>2</sup> ) | $\bar{\omega}_s$ | $\sigma_s$ (kg/cm <sup>2</sup> ) | $\sigma_e$ [kg/cm <sup>2</sup> ] | Vérification |
|------------|----------------------|------------------|----------------------------------|----------------------------------|--------------|
| Appui a    | 12,56                | 0,0697           | 4928,97                          | 2019,4                           | verifiée     |
| travée a-b | 6,28                 | 0,0348           | 8097,9                           | 2019,4                           | verifiée     |

verifiée

f/ Vérification des contraintes

pour les autres sections la fissuration est bien vérifiée.

| Appui | M(t.m) | A (cm <sup>2</sup> ) | $\bar{\omega}$ | K    | E      | $\sigma_a$ | $\sigma'_b$ |
|-------|--------|----------------------|----------------|------|--------|------------|-------------|
| a     | 17,128 | 12,56                | 0,996          | 21,3 | 0,8623 | 3765       | 176,7       |
| b     | 18,292 | 12,56                | 0,8623         | 21,3 | 0,8623 | 4021,3     | 188,8       |
| C     | 16,86  | 12,56                | 0,8623         | 21,3 | 0,8623 | 3708,2     | 174,1       |

$$\bar{\omega} = \frac{100 A}{bh} \rightarrow \left\{ \begin{array}{l} E \\ K \end{array} \right.$$

$$\sigma_a = \frac{M}{EhA}$$

g/ Armatures transversales

$T_{(SP_2)}^{\max} = 12,088 \text{ t} \rightarrow$  contrainte de cisaillement  $\tau_b = \frac{T^{\max}}{b \cdot z} = \frac{12,09 \cdot 10^3}{30 \times \frac{7}{8} \cdot 42} = 10,97 \text{ kg/cm}^2$

$\tau_{b, \max} = 174,1 \text{ kg/cm}^2 > \bar{\sigma}'_b = 102,75 \text{ kg/cm}^2 \rightarrow \bar{\tau}_b = (4,5 - \frac{\sigma'_b}{\sigma_{bc}}) \bar{\sigma}'_b$   
 donc  $\tau_b = 10,97 \text{ kg/cm}^2 < \bar{\tau}_b = 24,82 \text{ kg/cm}^2$  (Vérifiée)

on prend pour les  $A_t$   $\phi 8 \text{ FE 24}$  ( $A_t = 2,01 \text{ cm}^2$ ) avec  $\bar{\sigma}_{at} = \frac{2}{3} \sigma_{bc}$

$\bar{t} \leq \min (\frac{h}{4}; 12\phi, 30 \text{ cm}) = 11,25 \text{ cm}$  en Zone nodale

$\bar{t} \leq h/2 = 22,5 \text{ cm} \rightarrow$  en Zone courante

espacement théorique :  $t = \frac{2,01 \times \frac{7}{8} \cdot 42 \times 240}{12,08 \cdot 10^3} = 14,67 \text{ cm}$

on prend  $t = 10 \text{ cm}$  en Zone nodale et  $20 \text{ cm}$  en Zone courante

Vérification :  $A_t^{\min} = 0,0036 b = 0,003 \cdot 10 \cdot 30 = 0,9 \text{ cm}^2 < A_t = 2,01 \text{ cm}^2$

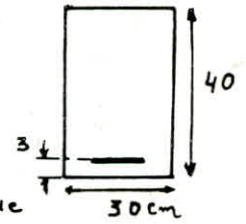
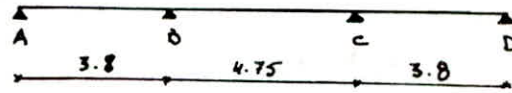
Condition de non entraînement des armatures

$\tau_d \leq \bar{\tau}_d = 3 \bar{\sigma}'_b = 3 \times 1,5 \times 5,9 = 26,55 \text{ kg/cm}^2 \rightarrow \tau_d = \frac{T^{\max}}{m P \bar{\tau}_d} = \frac{12,08 \cdot 10^3}{478 \cdot \frac{7}{8} \cdot 42} = 13 \text{ kg/cm}^2$



Ferrailage des Poutres: BLOC B "Plancher Gradient"

- Portique Longitudinal (A)



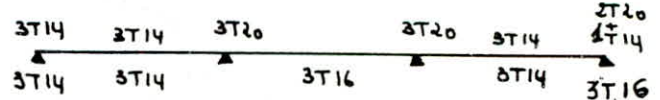
I/ section inferieure tendue

|            | A      | AB     | B.C    | C.D   | D      |
|------------|--------|--------|--------|-------|--------|
| $\bar{M}$  | 4200   | 4200   | 4200   | 4200  | 4200   |
| M          | 3,754  | 1,137  | 5,419  | 3,08  | 8,3    |
| $\gamma$   | 0,0244 | 0,0074 | 0,07   | 0,02  | 0,054  |
| E          | 0,964  | 0,961  | 0,8913 | 0,933 | 0,9027 |
| K          | 124    | 114    | 31     | 60    | 36,4   |
| $\sigma_b$ | 22,58  | 24,56  | 90,36  | 46,67 | 76,92  |
| Acal       | 0,47   | 0,76   | 5,90   | 1,8   | 5,9    |
| Achoisi    | 4,62   | 4,62   | 6,03   | 4,62  | 6,03   |

- section superieur tendue

|            | A      | A.B    | B.C    | C      | CD     | D           |
|------------|--------|--------|--------|--------|--------|-------------|
| $\bar{M}$  | 4200   | 4200   | 2800   | 2800   | 4200   | 4200        |
| M          | -4,456 | -0,019 | -7,68  | -7,568 | -1,695 | -9,534      |
| $\gamma$   | 0,029  | 0,0047 | 0,1    | 0,0987 | 0,011  | 0,062       |
| E          | 0,9265 | 0,967  | 0,874  | 0,875  | 0,953  | 0,896       |
| K          | 53     | 144    | 24,7   | 25     | 91,5   | 33,5        |
| $\sigma_b$ | 52,83  | 20     | 113,36 | 8,35   | 30,6   | 82,58       |
| Acal       | 3,09   | 0,36   | 8,48   | 8,35   | 1,15   | 6,8         |
| Achoisi    | 3T14   | 3T14   | 3T20   | 3T20   | 3T14   | 4T20 + 1T14 |

Sections d'armatures adoptees

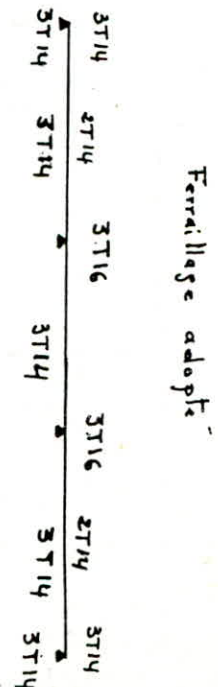


- Portique transversal 3.3

Poutre b = 30cm, h = 37cm



|                 |            | APPui A | Travee AB | APPui B | travee BC |
|-----------------|------------|---------|-----------|---------|-----------|
| SPI             | M          | 0,442   | -0,858    | -6,787  | 4,968     |
|                 | $\gamma$   | 0,0064  | 0,067     | 0,0987  | 0,0987    |
|                 | E          | 0,96    | 0,9576    | 2,875   | 2,906     |
|                 | K          | 122     | 103       | 25      | 38,2      |
|                 | $\sigma_b$ | 22      | 27,18     | 106,8   | 75,3      |
|                 | A          | 0,479   | 0,88      | 8,06    | 5,5       |
| SPII            | M          | 5,524   | -1,4215   | -8,162  | 4,653     |
|                 | $\gamma$   | 0,053   | 0,0137    | 0,056   | 0,04      |
|                 | E          | 0,9087  | 0,9479    | 0,9016  | 0,915     |
|                 | K          | 37      | 81        | 35,8    | 43,8      |
|                 | $\sigma_b$ | 72,16   | 5485      | 117,32  | 95,89     |
|                 | A          | 4,3     | 0,96      | 6       | 3,27      |
| A adoptee       |            | 3T14    | 3T14      | 3T16    | 3T14      |
| cm <sup>2</sup> |            | 4,62    | 4,62      | 6,03    | 4,62      |

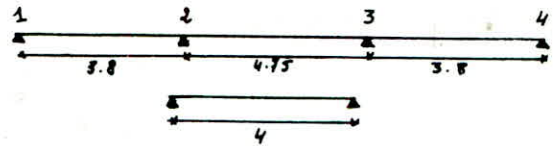


Ferrailage adopte



## Vérifications

- Portique longitudinal : I.
- Portique transversal II.



### \* Vérification des Contraintes

| Portique I          |         |        |        |        |        |        | Portique II |        |
|---------------------|---------|--------|--------|--------|--------|--------|-------------|--------|
| M (tm)              | APPui 1 | travée | travée | APPui  | APPui  | travée | APPui       | travée |
| M tm                | -4,456  | 0,952  | 5,419  | -7,68  | -9,89  | 2,69   | 9,134       | 2,946  |
| A (cm²)             | 4,62    | 4,62   | 6,03   | 9,42   | 7,82   | 4,62   | 7,82        | 4,62   |
| $\bar{\omega}$      | 0,416   | 0,416  | 0,543  | 0,785  | 0,704  | 0,416  | 0,704       | 0,416  |
| $\epsilon$          | 0,9012  | 0,9012 | 0,889  | 0,873  | 0,878  | 0,9012 | 0,878       | 0,90   |
| K                   | 35,6    | 35,6   | 30,4   | 24,3   | 26     | 35,6   | 26          | 35,6   |
| $\sigma_a$ (kg/cm²) | 1928,36 | 1081,8 | 2729,3 | 2524,6 | 4093,8 | 2619,2 | 3595,5      | 1164,1 |
| $\sigma'_b$         | 54,167  | 30,38  | 89,78  | 103,89 | 157,4  | 49,04  | 161,54      | 49,04  |

### - fissuration

|            | I       |         |            |            | II     |        |
|------------|---------|---------|------------|------------|--------|--------|
|            | appui 1 | appui 2 | travée 1-2 | travée 2-3 | appui  | travée |
| A (cm²)    | 4,62    | 7,82    | 4,62       | 6,03       | 7,82   | 4,62   |
| $\omega_s$ | 0,025   | 0,0434  | 0,0256     | 0,0335     | 0,043  | 0,026  |
| $\sigma_1$ | 3428,6  | 3631,8  | 3428,6     | 3764,04    | 3608   | 3537,0 |
| $\sigma_2$ | 2413,6  | 2019,42 | 2413,6     | 2257,8     | 2091,4 | 2413,7 |

- flèche : Les moments sont sous G+P, pour cette Vérification nous avons pris les poutres dont la portée est la plus grande et chargée défavorablement

|                                      | Poutres des portiques |        |
|--------------------------------------|-----------------------|--------|
|                                      | I                     | II     |
| l                                    | 4,75                  | 4      |
| b                                    | 30                    | 30     |
| h                                    | 37                    | 37     |
| M <sub>t</sub>                       | 5,419                 | 2,558  |
| M <sub>b</sub>                       | 12,211                | 5,175  |
| h <sub>t</sub>                       | 40                    | 40     |
| A                                    | 6,03                  | 6,16   |
| $\frac{l}{16}$                       | 0,2968                | 0,25   |
| $\frac{l}{10} \cdot \frac{M_t}{M_0}$ | 0,210                 | 0,1977 |
| $43bh/\sigma_{ben}$                  | 11,364                | 11,36  |

- $h_t \geq \frac{l}{16}$
- $h_t \geq \frac{l}{10} \frac{M_t}{M_0}$
- $A \leq bh \frac{\sigma}{\sigma_{ben}}$

Les 3 conditions sont vérifiées.  
il est inutile de faire un calcul précis de la flèche

# FERRAILLAGE DES POTEAUX

## Introduction:

Les poteaux seront calculés en flexion composée. Chaque poteau est soumis à un effort normal  $N$  et à des moments fléchissants en tête et en pied dans le sens longitudinal et dans le sens transversal. Ces efforts et ces moments de flexion ont été déterminés précédemment selon les différentes sollicitations et pour chaque des genres on retiendra la combinaison la plus défavorable. Les moments dans la direction transversale respectivement longitudinale pouvant se renversant, nous prévoyons des armatures symétriques par rapport au centre de gravité de la section du poteau.

## Méthode de calcul:

On a adopté la méthode de "P. CHARON". avec  
On peut avoir 3 cas de sollicitations:

$$\begin{aligned} * \bar{\sigma}'_b &= 2\bar{\sigma}'_{b_0} \rightarrow \text{si } e_0 \geq \frac{h_t}{6} \\ * \bar{\sigma}'_b &= \left(1 + \frac{e_0}{3e_1}\right) \bar{\sigma}'_{b_0} \rightarrow \text{si } e_0 < \frac{h_t}{6} \end{aligned}$$

1°  $e_0 > e_1 \rightarrow$  S.P.C ; 2°  $e_0 = 0 \rightarrow$  Compression simple

3°  $e_0 < e_1 \rightarrow$  - S.E.C (N: Compression)  $(e_1 = \frac{h_t}{6})$   
- S.E.T (N: Traction)

## 1° Section partiellement comprimée ( $e_0 > e_1$ )

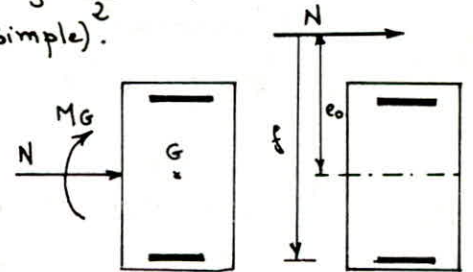
On ferraillera symétriquement; la marche à suivre est la suivante:

- Calcul du moment fictif:  $M_f = N \cdot f$  avec  $f = \frac{h_t}{2} - d + e$

- Calcul de la section en flexion sous  $M_f$  (f. simple).

- Si  $\bar{\sigma}'_b \leq \bar{\sigma}'_b$   $\rightarrow A'_c = 0$   $A_{g_c} = A_{g_s} - \frac{N}{\bar{\sigma}_a}$

- Si  $\bar{\sigma}'_b > \bar{\sigma}'_b$  Les armatures comprimées sont nécessaires, on calculera les sections d'aciers sous la flexion composée



$$A'_{g_c} = A'_{g_a} ; A_{g_c} = A_{g_s} - \frac{N}{\bar{\sigma}_a} \quad (N < 0 \text{ traction})$$

## 2° Section en Compression Simple ( $e_0 = 0$ )

La section d'armatures longitudinales doit vérifier les 3 conditions suivantes:

a) Condition de sécurité:  $A_L \leq \frac{B}{20}$  ( $\frac{A_L}{B} \leq 5\% \rightarrow$  CCBA 68) B: Section du béton

b) Section théorique:  $A_L \geq \frac{1}{n} \left( \frac{N}{\bar{\sigma}_b} - B \right)$



c/  $A_L \geq 1,25 \theta_1 \theta_2 \theta_3 \frac{N}{\sigma'_{bo}}$  d'où  $\theta_1$ : Coefficient qui tient compte de l'excentricité de la charge.

$\theta_1 = \begin{cases} 1,8 & \text{poteau d'angle} \\ 1,4 & \text{de rive} \\ 1 & \text{autres poteaux} \end{cases}$

$\theta_2 = 1 + \frac{l_c}{4a - 2c}$

$l_c$ : Longueur de flambement  
 $c$ : enrobage des Aciers Long.

$\theta_3 = 1 + \frac{2160}{\sigma_{cn}}$

3/ Pourcentage minimal d'armatures:  $A_L/B = W_L \geq \frac{1,25 \theta_1 \theta_2 \theta_3}{1000} \frac{\sigma'_m}{\sigma'_{bo}}$

$\sigma'_m$ : contrainte moyenne de compression.

- Flambement des poteaux: La longueur de flambement est déterminée en fonction de la longueur du poteau  $l_0$  et de la liaison de ses extrémités. Dans notre cas on considère que les poteaux sont encastres à leur base et articulés à leur tête  $l_c = 0,7 l_0$ .

- Pour les poteaux en compression simple, il ne sera pas tenu compte du flambement si  $\lambda < 50$ .

- Pour les poteaux soumis à la flexion composée, l'"élancement mécanique" ( $\lambda$ ) doit être inférieur à 35.

$\lambda = \frac{l_c}{i}$  avec  $i$  = rayon de giration  $\rightarrow i = \sqrt{\frac{I}{B}} = \frac{a}{\sqrt{12}} \Rightarrow \lambda = \frac{l_c}{a} \sqrt{12}$

• si  $\lambda > 35 \Rightarrow$  il faut tenir compte du flambement en excentrant l'effort normal d'une excentricité complémentaire:

$f_{1c} = 0,16 (\lambda - 35) e_0$ ,  $e_0$ : excentricité de la charge / c de G de la section du béton seul

Application: nous avons: poteau  $\begin{cases} a = 50 \\ b = 70 \end{cases}$ ;  $l_0 = 9,95m \rightarrow l_c = 0,7 l_0 = 6,96m$

$\lambda = \frac{l_c}{a} \sqrt{12} = \frac{696}{50} \sqrt{12} = 48,2 > 35cm$  on tient compte du

flambement avec l'excentricité de calcul  $e = e_0 + f_{1c}$ .

- Armatures transversales:

- RPA:  $A_t/t = \frac{1,25T}{h_1 \sigma_{cn}}$   $t$ : espacement entre les cours successifs d'armatures transversales.

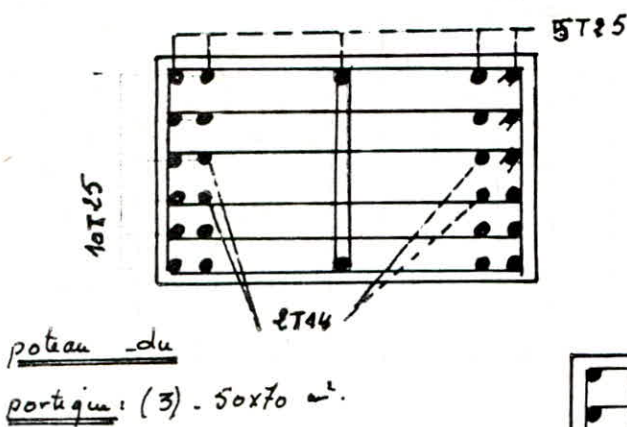
• espacement admissible  $\bar{t}$ :  $\begin{cases} t < 12 \phi_e^{min} \rightarrow \text{Zone courante} \\ t < \min(10 \phi_e^{min}, 15cm) \rightarrow \text{en Zone nodale.} \end{cases}$

•  $A_t^{min} = 0,004 t b_1$  en Zone II

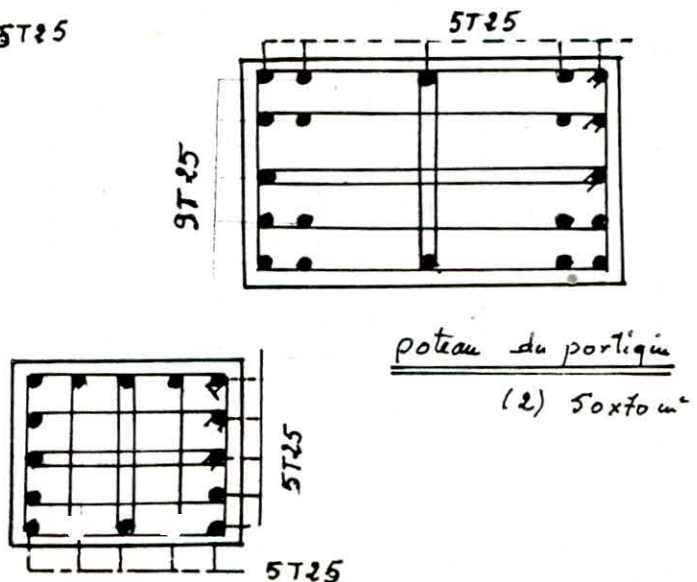


- Bloc A

| Effort             | Portique : 3                          |                                      |                                      | Portique : 2                  |                                      |                                      |
|--------------------|---------------------------------------|--------------------------------------|--------------------------------------|-------------------------------|--------------------------------------|--------------------------------------|
|                    | N, M                                  | N <sup>max</sup> , M <sup>corr</sup> | N <sup>min</sup> , M <sup>corr</sup> | N, M                          | N <sup>max</sup> , M <sup>corr</sup> | N <sup>min</sup> , M <sup>corr</sup> |
| SoLL               | SP <sub>1</sub>                       | SP <sub>2</sub>                      | SP <sub>2</sub>                      | SP <sub>1</sub>               | SP <sub>2</sub>                      | SP <sub>2</sub>                      |
| N [t]              | 51,90                                 | 56,12                                | 32,64                                | 37,53                         | 42,184                               | 20,428                               |
| M [t.m]            | 74,10                                 | 129,75                               | 31,294                               | 43,32                         | 102,316                              | 45,328                               |
| e <sub>0</sub>     | 142,67                                | 231,20                               | 95,8                                 | 115,487                       | 221,78                               | 242,65                               |
| f (cm)             | 29                                    | 29                                   | 29                                   | 29                            | 29                                   | 29                                   |
| σ <sub>c</sub>     | 89,154                                | 146,02                               | 40,76                                | 54,24                         | 114,59                               | 51,23                                |
| γ                  | 0,233                                 | 0,267                                | 0,0738                               | 0,149                         | 0,209                                | 0,0937                               |
| ε                  | 0,8264                                | 0,8188                               | 0,8851                               | 0,8529                        | 0,8333                               | 0,8774                               |
| K                  | 13,8                                  | 12,6                                 | 30,1                                 | 19                            | 15                                   | 25,8                                 |
| σ <sub>b</sub>     | 193,5                                 | 317,46                               | 132,90                               | 140,52                        | 266,66                               | 155,04                               |
| R                  | 19,5                                  | 19,5                                 |                                      | 19,5                          | 19,5                                 |                                      |
| α                  | 0,4348                                | 0,4348                               |                                      | 0,4348                        | 0,4348                               |                                      |
| E                  | 0,8551                                | 0,8551                               |                                      | 0,8551                        | 0,8551                               |                                      |
| γ'                 | 0,1859                                | 0,1859                               |                                      | 0,1859                        | 0,1859                               |                                      |
| γ <sub>i</sub>     | 27,83                                 | 27,83                                |                                      | 27,83                         | 27,83                                |                                      |
| σ <sub>a</sub>     | 1611,95                               | 2417,9                               |                                      | 1611,95                       | 2417,9                               |                                      |
| M <sub>(1-2)</sub> | 52,153                                | 78,23                                |                                      | 52,159                        | 78,23                                |                                      |
| ΔM                 | 21,95                                 | 67,8                                 |                                      | 2,08                          | 36,36                                |                                      |
| A'                 | 23,47                                 | 48,33                                | -                                    | 1,32                          | 25,92                                | -                                    |
| A <sub>gc</sub>    | 30,4                                  | 50,87                                | 17,7                                 | 22,96                         | 40,8                                 | 22,79                                |
| A = A'             | 10T25 + 2T14 (52,16 cm <sup>2</sup> ) |                                      |                                      | 9T25 [44,17 cm <sup>2</sup> ] |                                      |                                      |



Poteau d'angle :  
50x50. cm<sup>2</sup>



| Portique derive |                     | Poteau d'angle 50x50 |        |                     | Poteau : B 50x70    |        |                     | Poteau : c 50x70    |      |  |
|-----------------|---------------------|----------------------|--------|---------------------|---------------------|--------|---------------------|---------------------|------|--|
| EFForts         | $N^{max}, M^{corr}$ | $N^{min}, M^{corr}$  | N, M   | $N^{max}, M^{corr}$ | $N^{min}, M^{corr}$ | N, M   | $N^{max}, M^{corr}$ | $N^{min}, M^{corr}$ | N, M |  |
| M               | 22,721              | 16,99                | 2,564  | 34,29               | 27,847              | 0,968  | 33,819              | 28,183              | 0    |  |
| N               | 18,782              | 2,827                | 13,43  | 33,536              | 21,83               | 33,847 | 47,12               | 22,86               | 51,9 |  |
| $e_0$           | 120,97              | 601,3                | 19,091 | 102,25              | 127,56              | 2,816  | 71,77               | 5,948               | 0    |  |
| $\xi_{ic}$      | 256,45              | 1274,75              | 40,47  | 216,78              | 270,4               | 6,063  | 152,15              | 85,77               |      |  |
| $M'$            | 31,73               | 36,03                | 5,43   | 28,12               | 16,82               | 0,966  | 16,25               | 5,10                |      |  |
| $\xi$           | 20                  | 20                   | 20     | 20                  | 20                  | 20     | 20                  | 20                  |      |  |
| $\mathcal{M}$   | 58,2                | 53,58                | 7,336  | 69                  | 49                  | 8,69   | 59,47               | 45,52               |      |  |
| $y$             | 0,215               | 0,198                | 0,044  | 0,182               | 0,128               | 0,0334 | 0,157               | 0,12                |      |  |
| $\varepsilon$   | 0,8317              | 0,8366               | 0,3114 | 0,8413              | 0,8611              | 0,9204 | 0,8499              | 0,8649              |      |  |
| K               | 14,7                | 15,6                 | 41,4   | 16,5                | 21                  | 47,8   | 18,3                | 22                  |      |  |
| $\sigma_b$      | 185,71              | 256,72               | 64,49  | 242,7               | 190,65              | 59,86  | 218,85              | 181,95              |      |  |
| $\bar{K}$       | 19,5                | 19,5                 |        | 19,5                |                     |        | 19,5                | 19,5                |      |  |
| $\alpha$        | 0,435               | 0,435                |        | 0,435               |                     |        | 0,435               | 0,435               |      |  |
| $\varepsilon$   | 0,8851              | 0,8851               |        | 0,8851              |                     |        | 0,8851              |                     |      |  |
| $\mu'$          | 0,186               | 0,186                |        | 0,186               |                     |        | 0,186               |                     |      |  |
| $\sigma_a'$     | 2295                | 2295                 |        | 2295                |                     |        | 2295                |                     |      |  |
| $M_1$           | 38,7                | 38,67                |        | 54,8                |                     |        | 54,15               |                     |      |  |
| $\Delta M$      | 19,7                | 14,88                |        | 14,82               |                     |        | 5,32                |                     |      |  |
| A'              | 9,3                 | 9,3                  |        | 16,4                |                     |        | 5,79                |                     |      |  |
| A               | 32,59               | 33,7                 | 7,24   | 36                  | 26,9                | 7,86   | 26,69               | 21,3                |      |  |
| $A = A'$        | 7T25                |                      |        | 8T25                |                     |        | $A = A' = 6T25$     |                     |      |  |



Portique Longitudinal:

\* Ferrailage Des Poteaux

BLOC B \*

|                 | Poteau : A <sub>1</sub> 40x40 |                                      |                                      | Poteau : A <sub>2</sub> 40x40 cm <sup>2</sup> |                                      |                                      | Poteau : A <sub>3</sub> 40x30 |                                      |                                      | Poteau : A <sub>4</sub> 40x30 |                                      |                                      |
|-----------------|-------------------------------|--------------------------------------|--------------------------------------|-----------------------------------------------|--------------------------------------|--------------------------------------|-------------------------------|--------------------------------------|--------------------------------------|-------------------------------|--------------------------------------|--------------------------------------|
|                 | N, M                          | N <sup>max</sup> , M <sup>corr</sup> | N <sup>min</sup> , M <sup>corr</sup> | N, M                                          | N <sup>max</sup> , M <sup>corr</sup> | N <sup>min</sup> , M <sup>corr</sup> | N, M                          | N <sup>max</sup> , M <sup>corr</sup> | N <sup>min</sup> , M <sup>corr</sup> | N, M                          | N <sup>max</sup> , M <sup>corr</sup> | N <sup>min</sup> , M <sup>corr</sup> |
| Soil            | SP <sub>1</sub>               | SP <sub>2</sub>                      | SP <sub>2</sub>                      | SP <sub>1</sub>                               | SP <sub>2</sub>                      | SP <sub>2</sub>                      | SP <sub>1</sub>               | SP <sub>2</sub>                      | SP <sub>2</sub>                      | SP <sub>1</sub>               | SP <sub>2</sub>                      | SP <sub>2</sub>                      |
| M(k.m)          | 6,499                         | 6,499                                | 5,188                                | 2,19                                          | 5,9                                  | 6,222                                | 1,702                         | 6,874                                | 5,804                                | 0,804                         | 13,81                                | 9,23                                 |
| N(t)            | 4,775                         | 4,775                                | 0,6298                               | 17,407                                        | 16,65                                | 6,796                                | 18,608                        | 19,61                                | 5,787                                | 3,935                         | 7,14                                 | 5,12                                 |
| e(m)            | 10,68                         | 1,361                                | 8,23                                 | 12,58                                         | 35,43                                | 0,9255                               | 0,0009                        | 0,35                                 | 1,00                                 | 0,204                         | 153,47                               | 1,80                                 |
| f(m)            | 0,17                          | 0,17                                 | 0,17                                 | 0,17                                          | 0,17                                 | 0,17                                 | 0,12                          | 0,12                                 | 0,12                                 | 0,12                          | 0,12                                 | 0,12                                 |
| σ <sub>c</sub>  | 1,373                         | 7,31                                 | 5,08                                 | 5,149                                         | 9,73                                 | 7,377                                | 3,539                         | 9,227                                | 6,498                                | 1,276                         | 14,67                                | 9,894                                |
| γ               | 0,0134                        | 0,0477                               | 0,033                                | 0,050                                         | 0,0569                               | 0,048                                | 0,0722                        | 0,1130                               | 0,0796                               | 0,0234                        | 0,1796                               | 0,12                                 |
| ε               | 0,9485                        | 0,9084                               | 0,9219                               | 0,906                                         | 0,900                                | 0,9077                               | 0,9301                        | 0,8677                               | 0,8856                               | 0,9334                        | 6,842                                | 0,8645                               |
| k               | 82                            | 39,6                                 | 49                                   | 38,2                                          | 35,4                                 | 39,2                                 | 30,4                          | 22,8                                 | 28,7                                 | 60                            | 16,7                                 | 21,90                                |
| σ <sub>b</sub>  | 34,14                         | 106,06                               | 85,71                                | 73,3                                          | 118,64                               | 107,14                               | 92,16                         | 184,21                               | 146,34                               | 46,26                         | 251,49                               | 127,85                               |
| A <sub>fs</sub> | 1,397                         | 5,176                                | 3,54                                 | 5,485                                         | 6,24                                 | 5,23                                 | 5,846                         | 9,37                                 | 6,47                                 | 1,80                          |                                      | 10,04                                |
| A <sub>gc</sub> | <0                            | 4,04                                 | 3,69                                 | <0                                            | 2,3                                  | 3,61                                 | <0                            | 4,70                                 | 5,09                                 | 0,3935                        | 13,5                                 | 8,82                                 |
| A'              | -                             | -                                    | -                                    | -                                             | -                                    | -                                    | -                             | -                                    | -                                    | -                             | 4,82                                 | -                                    |
| A = A'          | 1T16 + 2T20                   |                                      |                                      | 3T16                                          |                                      |                                      | 3T16                          |                                      |                                      | 5T20                          |                                      |                                      |

Portique transversal

| Poteau 1A                            |                                      | M(k.m) | N(t)  | e(m)  | f(m) | σ <sub>c</sub> | γ      | ε      | k     | σ <sub>b</sub> | A <sub>fs</sub> | A <sub>gc</sub> | A = A'      |
|--------------------------------------|--------------------------------------|--------|-------|-------|------|----------------|--------|--------|-------|----------------|-----------------|-----------------|-------------|
|                                      | N, M                                 | 3,78   | 4,836 | 0,781 | 17   | 4,6            | 0,045  | 0,91   | 40,6  | 68,96          | 4,9             | 3,152           | 2T20 + 1T14 |
|                                      | N <sup>max</sup> , M <sup>corr</sup> | 10,25  | 7,89  | 1,29  | 17   | 11,59          | 0,075  | 0,8884 | 29,8  | 93,96          | 8,4             | 6,52            |             |
| N <sup>min</sup> , M <sup>corr</sup> | 5,88                                 | -0,366 | 16,06 | 17    | 5,82 | 0,038          | 0,9196 | 45,2   | 61,94 | 4,08           | 4,2             |                 |             |

66



Portique transversal 3.3:

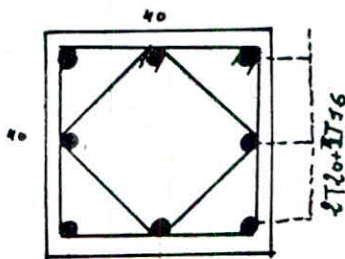
|         |                                      | M [k.m] | N (t)  | e <sub>0</sub> | f  | M <sub>l</sub> (t.m) | y      | E      | K    | σ <sub>b</sub> | A <sub>gs</sub> | A <sub>gc</sub> (cm <sup>2</sup> ) |
|---------|--------------------------------------|---------|--------|----------------|----|----------------------|--------|--------|------|----------------|-----------------|------------------------------------|
| rIVE    | N, M                                 | 0,442   | 0,048  | 920,8          | 16 | 0,43                 | 0,0044 | 0,99   | 150  | 18,6           | 0,431           | 0,413                              |
|         | N <sub>max</sub> , M <sub>corr</sub> | 6,052   | 5,789  | 105,8          | 16 | 6,97                 | 0,048  | 0,908  | 39,2 | 107,14         | 5,13            | 4 cm <sup>2</sup>                  |
|         | N <sub>min</sub> , M <sub>corr</sub> | -6,35   | 4,7    | 135,1          | 16 | 5,6                  | 0,054  | 0,9016 | 35,6 | 78,67          | 4,31            | 5,489                              |
| IntermÉ | N, M                                 | 2,14    | 17,02  | 12,57          | 16 | 4,87                 | 0,07   | 0,8911 | 30,9 | 90,6           | 5,69            | 0,7                                |
|         | N <sub>max</sub> , M <sub>corr</sub> | 7,38    | 20,417 | 36,15          | 16 | 10,64                | 0,072  | 0,889  | 30,4 | 92,10          | 7,848           | 2,98                               |
|         | N <sub>min</sub> , M <sub>corr</sub> | 7,486   | 4,232  | 176,9          | 16 | 8,163                | 0,056  | 0,901  | 35,6 | 78,6           | 5,97            | 1,10                               |

tableau récapitulatif des Ferrailages des Poteaux

| Poteau | 0    | 2                 | 3                 | A <sub>1</sub>    | B <sub>2</sub> | C <sub>3</sub> | D <sub>4</sub> |
|--------|------|-------------------|-------------------|-------------------|----------------|----------------|----------------|
| Sens y | 3T16 | 3T16              | 3T16              | 2T16<br>+<br>1T16 | 3T16           | 3T16           | 5T20           |
| Sens x | 3T16 | 1T20<br>+<br>2T16 | 1T20<br>+<br>2T16 | 2T16<br>+<br>2T20 | 3T16           | 3T16           | 3T20           |

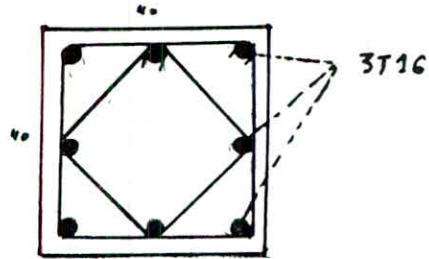
Exemples de Ferrailages: Portique Longitudinal

Poteau 1-5 - A

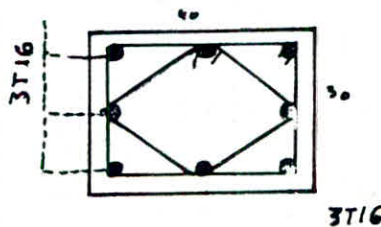


2T20 + 1T16

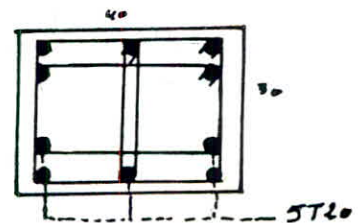
poteau 2-6 - B



poteau 3-7 - C



poteau 4-8 - D



Vérification de la résistance à l'effort tranchant

BLOC B:

| Poteaux | h(cm) | l <sub>c</sub> | a(cm) | λ     | n | T <sub>c</sub> (kg) | β(cm) | τ <sub>b</sub> (kg/cm <sup>2</sup> ) | τ̄ <sub>b</sub> (kg/cm <sup>2</sup> ) |
|---------|-------|----------------|-------|-------|---|---------------------|-------|--------------------------------------|---------------------------------------|
| A       | 565   | 398,5          | 40    | 34,25 | 2 | 4150                | 32,37 | 3,20                                 | 40,5                                  |
| B       | 565   | 395,5          | 40    | 34,25 | 2 | 5650                | 32,9  | 4,29                                 | 40,5                                  |
| C       | 375   | 249,9          | 30    | 28,85 | 2 | 7566                | 24,15 | 7,832                                | 40,5                                  |
| D       | 255   | 178,5          | 30    | 20,61 | 2 | 16594               | 22,92 | 18,09                                | 40,5                                  |

$$\lambda = \frac{\sqrt{12} l_c}{a} \quad \tau_b = \frac{2T}{\beta b} \quad \text{si } \lambda > 15 \quad \bar{\tau}_b = 0,15 \sigma'_{28} = 40,5 \text{ kg/cm}^2$$

Armatures transversales:

on utilise des cadres et étriers fermés Ø 8 Acier FeE22.

espacement admissible:  $\left\{ \begin{array}{l} \text{Zone courante: } \bar{E} \leq 12 \phi_{\text{min}} = 12 \times 1,6 = 19,2 \text{ cm} \\ \text{Zone nodale: } \bar{E} \leq \min(10 \phi, 15) = 15 \text{ cm} \end{array} \right.$

on adopte un espacement  $t = 15 \text{ cm}$  en Zone Nodale

BLOCA:

| Poteaux                         | h(cm) | l <sub>c</sub> (cm) | a(cm) | λ     | n | T(kg) | β(cm) | τ <sub>b</sub> (kg/cm <sup>2</sup> ) | τ̄ <sub>b</sub> (kg/cm <sup>2</sup> ) |
|---------------------------------|-------|---------------------|-------|-------|---|-------|-------|--------------------------------------|---------------------------------------|
| A <sub>x</sub> , A <sub>y</sub> | 995   | 696                 | 50    | 48,25 | 2 | 3023  | 38,56 | 3,13                                 | 40,5                                  |
| B <sub>x</sub>                  | 995   | 696                 | 50    | 48,25 | 2 | 4153  | 39,37 | 4,219                                | 40,5                                  |
| B <sub>y</sub>                  | 995   | 696                 | 70    | 34,44 | 2 | 19763 | 56,43 | 14,00                                | 40,5                                  |
| C <sub>x</sub>                  | 995   | 696                 | 50    | 48,25 | 2 | 4296  | 39,6  | 4,34                                 | 40,5                                  |
| C <sub>y</sub>                  | 995   | 696                 | 70    | 34,44 | 2 | 23690 | 56    | 16,92                                | 40,5                                  |

Armatures transversales: Cadres + étriers Ø 10

. RPA :  $\left\{ \begin{array}{l} \text{Z. Courante: } \bar{E} \leq 12 \phi_{\text{min}} = 30 \text{ cm} \\ \text{Z. nodale: } \bar{E} \leq \min(10 \phi, 15) = 15 \text{ cm} \end{array} \right.$  . On prend:  
 $t = 18 \text{ cm}$  Z<sub>c</sub>  
 $t = 15 \text{ cm}$  Z<sub>n</sub>

Vérification à la fissuration: (CCBA 68. Art. 49)

la valeur maximale de la contrainte de traction des armatures est limitée à la plus grande des deux valeurs suivantes:

$$\sigma_1 = \frac{k\eta}{\phi} \frac{\bar{\omega}_s}{1 + 10\bar{\omega}_s} \quad \text{et} \quad \sigma_2 = 2,4 \sqrt{\frac{k\eta}{\phi} \bar{\sigma}_b} \quad \Rightarrow \sigma_{s3} \leq \min \begin{cases} \frac{2}{3} \sigma_{ez} \\ \max(\sigma_1, \sigma_2) \end{cases}$$

| Poteau | Section | A (cm <sup>2</sup> ) | $\omega_s$ | $\sigma_1$ (kg/cm <sup>2</sup> ) | $\sigma_2$ (kg/cm <sup>2</sup> ) |
|--------|---------|----------------------|------------|----------------------------------|----------------------------------|
| A, E   | 50x50   | 29,45                | 0,059      | 3563                             | 1806                             |
| B, D   | 50x70   | 44,17                | 0,0736     | 4070,04                          | 1806                             |
| C      | 50x70   | 55,36                | 0,092      | 4600                             | 1806                             |

Vérifiée

Vérification des Contraintes:

|                      | Poteau         | N <sup>max</sup> | M <sup>corr</sup> | A=A'  | P       | Q       | 4P <sup>2</sup> +27Q <sup>2</sup> | y <sub>2</sub> | y <sub>1</sub> | $\sigma'_b$ | $\sigma'_a$ | $\sigma_a$ | c      | c <sub>0</sub> |
|----------------------|----------------|------------------|-------------------|-------|---------|---------|-----------------------------------|----------------|----------------|-------------|-------------|------------|--------|----------------|
| Portique 2<br>50x70  | A <sub>2</sub> | 42,18            | 102,18            | 44,17 | 69109   | 48108   | < 0                               | 234            | 26,4           | 171,54      | 3664,9      | 198810     | -207,6 | +242,6         |
| Portique 3<br>50x70  | A <sub>3</sub> | 56,09            | 129,75            | 55,36 | -612615 | 449383  | > 0                               | 213            | 26,92          | 180,9       | 3737,7      | 2108,7     | -195   | 230            |
| Portique de rive (1) | A, E           | 18,78            | 20,05             | 29,45 | -8335,4 | -157710 | < 0                               | 101,5          | 19,74          | 7437        | 1227,7      | 8329,9     | -81,76 | 106,76         |
|                      | B, D           | 33,53            | 28,57             | 34,35 | 1557,01 | -269311 | > 0                               | 56             | 20,451         | 683,21      | 1085,6      | 683,21     | -60,12 | 85,12          |

$$P = -3c^2 - \frac{6nA'}{b}(c-d') + \frac{6nA}{b}(h_t - d - c)$$

$$Q = -2c^3 - \frac{6nA'}{b}(c-d')^2 - \frac{6nA}{b}(h_t - d - c)^2$$

$$c = -\left(e_0 - \frac{h_t}{6}\right)$$

$$y_2^3 + Py_2 + Q = 0$$

$$y_1 = y_2 + c$$

$$\sigma'_b = k y_1, \quad \sigma'_a = n k (y_1 - d'), \quad \sigma_a = n k (h_t - d - y_1)$$



# CALCUL DES DALLES

Dans cet ouvrage, on retrouve 2 types de planchers :

- 1) Plancher terrasse
- 2) Plancher Gradient

1) Plancher terrasse Il est constitué d'une dalle pleine de 12 cm d'épaisseur s'appuyant sur des poutres croisées.

$l_x = l_y = 5,25 - 0,5 = 4,75 \text{ m} \rightarrow g = \frac{l_x}{l_y} = 1 > 0,4$  la dalle

porte dans les deux sens.

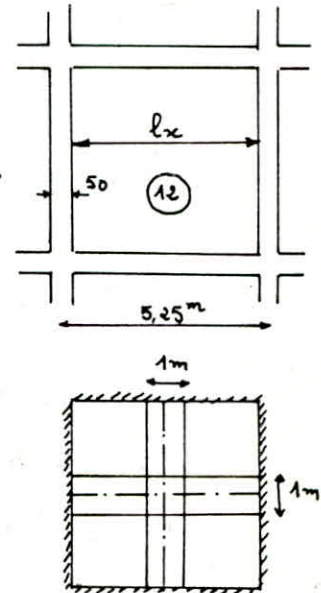
La plaque sera calculée comme une dalle articulée sur son pourtour. Les moments fléchissants au milieu des bandes centrales sont donnés par :  $M_x = \mu_x q l_x^2$

Les valeurs de  $\mu_x$  et  $\mu_y$  sont données en fonction de  $g = \frac{l_x}{l_y}$ .

- Descente de charge :  $G = \text{revêt} + \text{pds de la dalle} = 680 \text{ kg/m}^2$   
 $P = \text{surcharge d'exploit} = 100 \text{ kg/m}^2$

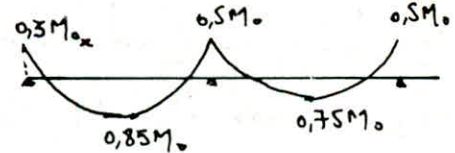
$q = G + 1,2P = 800 \text{ kg/m}^2$

$g = 1 \rightarrow \mu_x = 0,0423 \rightarrow M_x = 0,763 \text{ t.m/ml}$   
 $\mu_y = 1 \rightarrow M_y = 0,763 \text{ t.m/ml}$

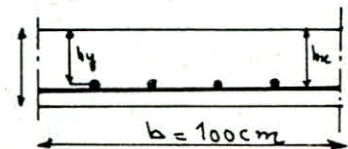


\* Moments de continuité :

$M_{tx} = 0,85 M_x = 0,65 \text{ t.m/ml}$   
 $M_{ax} = 0,5 M_x = 0,38 \text{ t.m/ml}$



- La dalle n'étant pas exposée aux intempéries, nous placerons la génératrice des armatures de la nappe inférieure à 1cm de la paroi



Le diamètre max des armatures est :  $\phi \leq \frac{h_t}{10} = \frac{12}{10} = 1,2 \text{ cm}$  on prend  $\phi = 10 \text{ mm}$   
 d'où  $h_x = 10,5 \text{ cm}$ ,  $h_y = 9,5 \text{ cm}$ .

Ferrailage travée :  $M_{tx} = 0,65 \text{ t.m/ml} \rightarrow \mu = \frac{15 M}{8 a b h_x^2} = \frac{15 \times 0,65 \cdot 10^5}{2800 \times 100 \cdot 10,5^2} = 0,33$   
 $\mu = 0,33 \rightarrow \begin{cases} \epsilon = 0,805 \\ \kappa = 10,5 \end{cases} \quad A_{tx} = \frac{M}{\epsilon \sigma_s h_x} = \frac{0,65 \cdot 10^5}{0,805 \cdot 2800 \cdot 10,5} = 2,8 \text{ cm}^2$  doit 7T10 ( $e = 17 \text{ cm}$ )

appui:  $M = 0,38 \text{ t.m/ml} \rightarrow y = \frac{15M}{\bar{\sigma}_a b h^2} = \frac{15 \times 0,38 \cdot 10^5}{2800 \times 100 (10,5)^2} = 0,193 \rightarrow \begin{cases} \epsilon = 0,837 \\ K = 15,8 \end{cases}$

$A_{ax} = \frac{M}{\epsilon h \bar{\sigma}_a} = \frac{0,38 \cdot 10^5}{0,837 \times 10,5 \times 2800} = 0,193 \text{ cm}^2$  soit 5T8  $e = 25 \text{ cm}$

Verifications

- Contraintes:  $\tilde{\omega} = \frac{A \times 100}{b h} = \frac{5,49 \times 100}{100 \cdot 10,5} = 0,522 \rightarrow \begin{cases} K = 31,1 \\ \epsilon = 0,8915 \end{cases} \rightarrow \begin{cases} \bar{\sigma}_a = \frac{M}{A \epsilon h} = 1264 \text{ kg/cm}^2 \\ \bar{\sigma}_b = \frac{\bar{\sigma}_a}{K} = 40,66 \text{ kg/cm}^2 \end{cases}$

- fissuration:  $\tilde{\omega}_f = \frac{A}{8 f_f} = \frac{5,49}{2 \times 1,5 \times 100} = 0,0183$

$\bar{\sigma}_1 = \frac{K \eta}{\phi} \frac{\tilde{\omega}_f}{1 + 10 \tilde{\omega}_f} = \frac{1,5 \times 1,6 \cdot 10^6}{10} \frac{0,0183}{1 + 0,183} = 3712,59 \text{ kg/cm}^2 > \bar{\sigma}_a = 2800 \text{ kg/cm}^2$

- Condition de non fragilité  $\frac{A_y}{b h_y} \geq \frac{1 + \beta}{4} \psi_4 \frac{\bar{\sigma}_b}{\bar{\sigma}_a} \left( \frac{h_0}{h_y} \right)^2$  avec  $\begin{cases} h_0 = 12 \text{ cm} \\ h_y = 9,5 \text{ cm} \\ \bar{\sigma}_b = 5,9 \text{ kg/cm}^2 \\ \bar{\sigma}_a = 2800 \text{ kg/cm}^2 \\ \psi_4 = 0,54 \end{cases}$

d'où  $A_y \geq 1,6 \text{ cm}^2$  (Vérifié)

- flèche:  $\frac{h_0}{l_x} = \frac{12}{475} = 2,52 \cdot 10^{-2} > \frac{1}{20} \frac{M_t}{M_0} = \frac{1}{20} \cdot 0,85 = 4,25 \cdot 10^{-2}$  (non vérifié)

alors il faut vérifier la flèche CCBA 68 art (6.1.2) stipule que pour tenir compte de l'existence de fissures actuelles dans les zones tendues tendues d'une pièce de béton armé, on substitue au moment d'inertie  $I_t$  de la section totale homogénéisée, le moment d'inertie  $I_g$  définie par la relation

$I_{gy} = \frac{I_t}{1 + \alpha \nu}$  (avec  $\alpha, \nu$ : coefficients)  $\nu = 1 - \frac{5 \bar{\sigma}_b}{4 \tilde{\omega} \bar{\sigma}_a + 3 \bar{\sigma}_b}$ ;  $\alpha = \frac{\bar{\sigma}_b}{180(2 + 3 \frac{\bar{\sigma}_b}{\bar{\sigma}_a}) \tilde{\omega}}$

La flèche max est:  $\Delta f_t = f_{g0} + f_{q0} - f_{g0}$

avec  $f_{g0} = \frac{M_g l^2}{10 E_v I_{gy}}$ ;  $f_{g0} = \frac{M_g l^2}{10 E_c I_{g0}}$ ;  $f_{q0} = \frac{M_q l^2}{10 E_c I_{g0}}$

$G = 680 \text{ kg/m}^2$ ;  $P = 100 \text{ kg/m}^2 \rightarrow q = G + P = 680 + 100 = 780 \text{ kg/m}^2$

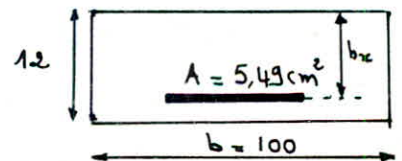
sous "q"  $\rightarrow M_q = 0,663 \text{ t.m/ml}$

sous (G)  $\rightarrow M_g = 0,55 \text{ t.m/ml}$

- valeur de  $\tilde{\omega} = \frac{A}{b h} = 0,0052$

$x_G = \frac{12 \times 100 \times 6 + 15 \times 5,49 \times 1,5}{1200 + 15 \cdot 5,49} = 5,71 \text{ cm}$

$I_t = 15960,5 \text{ cm}^4$



\* charge de faible durée:  $d_c = \frac{\bar{\sigma}_b}{72(2 + 3 \frac{\bar{\sigma}_b}{\bar{\sigma}_a}) \tilde{\omega}} = \frac{5,9}{72(2 + 3) \cdot 0,0052} = 3,15$

\* charge de longue durée:  $d_v = \frac{d_c}{2,5} = 1,26$

charge q:  $\sigma_a = \frac{Mq}{\sum A} = \frac{0,663 \cdot 10^5}{9,187 \times 5,49} = 1314,4 \text{ Kg/cm}^2 \rightarrow y = 0,349$

Pour la charge g:  $\sigma_a = \frac{0,578 \cdot 10^5}{9,187 \times 5,49} = 1145,9 \text{ Kg/cm}^2 \rightarrow y = 0,289$

$I_{g_0} = 11798,12 \text{ cm}^4 \Rightarrow f_{g_0} = 0,81 \text{ cm} \quad (E_y = \frac{E_i}{3} = 126000 \text{ Kg/cm}^2)$

\* calcul de  $f_{g_i}$ :  $I_{g_i} = \frac{I_t}{1 + d_i y} = 8480,6 \text{ cm}^4 \Rightarrow f_{g_i} = 0,42 \text{ cm}$

\* calcul de  $f_{q_0}$ :  $I_{g_i} = \frac{I_t}{1 + d_i y} = \frac{15960,49}{1 + 3,15 \times 0,349} = 7602,6 \text{ cm}^4$

$f_{q_0} = 0,663$

$f_{q_0} = \frac{0,663 \cdot 10^5 \cdot 4,75^2 \cdot 10^4}{10 \cdot 378 \cdot 10^3 \times 7602,6} = 0,52 \text{ cm}$

d'où  $\Delta f_t = f_{g_0} + f_{q_0} - f_{g_i} = 0,81 + 0,52 - 0,42 = 0,91 \text{ cm} < f_{ad} = \frac{R}{500} = \frac{475}{500} = 0,95 \text{ cm}$   
(Vérifiée)

---



2. Plancher Gradient: Constitué de trois types de dalles (trapezoidales, rectangulaires, triangulaires.....)

L'épaisseur de la dalle est déterminé par  $e \leq \frac{\max(l_x, l_y)}{35} = 16,5 \text{ cm}$

On prend  $e = 15 \text{ cm}$ .

a/ dalle trapezoidale: Les dalles trapezoidales se calculent selon leur forme approché comme des dalles rectangulaires, ou triangulaires.

- si  $\frac{c}{a} \leq 0,25 \Rightarrow$  Dalle triangulaire de base  $a$  et de hauteur  $B = b \frac{a}{a-c}$

- si  $\frac{c}{a} > 0,25$  Les dalles trapezoidales se remplacent par un rectangle de dimensions réduites:  $a_r = \frac{2}{3}(2c+a) \frac{a}{a+c}$ ,  $b_r = b - \frac{a(a-c)}{6(a+c)}$

dans notre cas  $c = 4,05 \text{ m}$ ,  $a = 5,8 \text{ m} \Rightarrow \frac{c}{a} = 0,69 > 0,25 \rightarrow$  dalle rectang

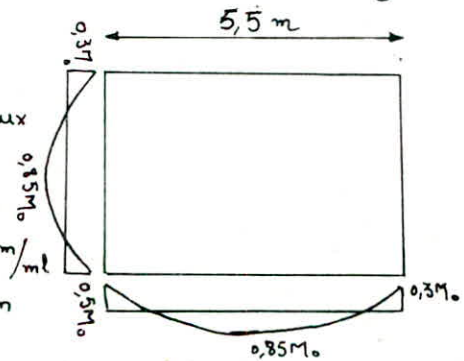
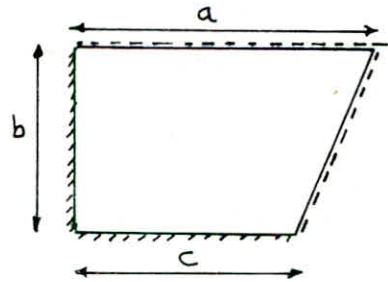
$\Rightarrow a_r = 5,5 \text{ m}$ ,  $b_r = 4,3 \text{ m}$

Le calcul revient à une dalle rectangulaire:

$\beta = \frac{l_x}{l_y} = \frac{4,3}{5,5} = 0,78 > 0,4$  dalle porte dans les deux sens

$q = G + 1,2P = 879 + 1,2 \cdot 500 = 1479 \text{ kg/m}^2$

$\beta = 0,78 \rightarrow \gamma_x = 0,0637$ ,  $M_x = \gamma_x q l_x^2 = 1,73 \text{ t.m/ml}$   
 $\gamma_y = 0,655$ ,  $M_y = \gamma_y M_x = 1,13 \text{ t.m}$



Moment de continuité: en travée:  $M_{tx} = 0,85 M_x$ ,  $M_{ty} = 0,85 M_y$   
 appui:  $M_{ax} = -0,5 M_x$ ;  $M_{ay} = -0,5 M_y$

- Ferrailage:  $M_{tx} = 1,47 \text{ t.m/ml} \rightarrow \gamma = 0,0465 \rightarrow K = 40$ ,  $E = 0,909 \Rightarrow$

$\sigma'_b = 70,0 \text{ kg/cm}^2$  et  $A = 4,44 \text{ cm}^2$  soit 6 T10  $e = 16,5 \text{ cm}$

$M_{ty} = 0,961 \text{ t.m/ml} \rightarrow \gamma = 0,03 \rightarrow K = 51,5$ ,  $E = 0,9242 \Rightarrow \sigma'_b = 54,37 \text{ kg/cm}^2$

et  $A_{ty} = 2,86 \text{ cm}^2$  soit T8  $e = 16,5 \text{ cm}$

\*  $M_a^x = M_a^y = 0,5 M_x = 0,863 \text{ t.m/ml} \rightarrow \gamma = 0,0273 \rightarrow E = 0,9272$ ;  $K = 54 \rightarrow$

$\sigma'_b = 51,85 \text{ kg/cm}^2$  et  $A_a = 3,55 \text{ cm}^2$  soit 6 T8  $e = 16,5 \text{ cm}$   $A =$

\* Vérification: - fissuration:  $\tilde{w}_f = \frac{A}{B_f} = \frac{4,71}{2 \times 2 \times 100} = 0,0117 \rightarrow \max(\sigma_1, \sigma_2) = 2856$

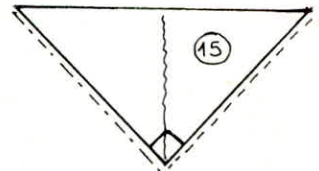
$\sigma_g = 2856 \text{ kg/cm}^2 > \bar{\sigma}_a = 2800 \text{ kg/cm}^2$  Vérifié.

- contrainte:  $M = 1,47 \text{ t.m}$ ,  $A = 4,71$  d'où  $\bar{w} = \frac{100A}{bh} = 0,36 \rightarrow \begin{cases} E = 0,9067 \\ K = 38,1 \end{cases}$

d'où  $\sigma_a = \frac{M}{EhA} = 2647 \text{ kg/cm}^2 < \bar{\sigma}_a$  et  $\sigma'_b = \frac{5\sigma_a}{K} = 68 \text{ kg/cm}^2 < \bar{\sigma}'_b$

B/ Dalle triangulaire

- Cette dalle sera calculer par la méthode des lignes de rupture, d'où le moment de rupture  $m = \frac{P}{6}$  (Plaque simplement appuyée sur les deux côtés de l'angle droit), qu'on multiplie par un coefficient de majoration  $\gamma = 1,7$  on admet un encastrement partiel aux appuis.



$M_{apx} = M_{apy} = 0,5 \gamma \cdot m = 0,5 \times 1,7 m = 0,85 m$

$M_{tx} = M_{ty} = 0,85 \gamma m = 1,445 m$

charge uniformément répartie  $\Rightarrow q = G + 1,2 P = 525 + 1,2 \cdot 500 = 1125 \text{ kg/ml}$

Ferrailage:

- travée :  $M_t = 1,445 \times \frac{1,125}{6} = 0,27 \text{ t.m/ml} \rightsquigarrow \gamma = \frac{15 \times 0,27 \cdot 10^5}{100 \times 2800 \times 13^2} = 0,0085$   
 $\rightsquigarrow K = 105, E = 0,9583 \rightsquigarrow \sigma'_b = 26,6 \text{ kg/cm}^2; A = 0,8 \text{ cm}^2$   
 soit 5T8

- appui :  $M_a = 0,16 \text{ t.m/ml} \rightsquigarrow \gamma = 0,005 \rightsquigarrow E = 0,9677, K = 140$   
 $\rightsquigarrow \sigma'_b = 20 \text{ kg/cm}^2$  et  $A = 0,45 \text{ cm}^2$  soit 5T5

Verification de fissuration:

$A : 5T8 = 2,51 \text{ cm}^2 \quad \omega_f = \frac{A}{2bd} = \frac{2,51}{2 \times 1,4 \times 100} = 0,009$

$\sigma_2 = 2,4 \sqrt{\frac{K \gamma \bar{\sigma}_b}{\rho}} = 2,4 \sqrt{\frac{1,5 \times 1,6 \cdot 10^6 \cdot 0,009}{8}} = 3193 \text{ kg/cm}^2 > \bar{\sigma}_1$

on a  $\max(\sigma_1, \sigma_2) > \bar{\sigma}_a = 2800 \text{ kg/cm}^2$

donc on a pas de risque de fissuration.

Verification des contraintes :

$M_t = 0,27 \text{ t.m}$

$A = 2,51 \text{ cm}^2$

$\bar{\omega} = \frac{100 A}{bh} = \frac{100 \times 2,51}{100 \times 13,6} = 0,184 \rightarrow \begin{cases} K = 57 \\ E = 0,9306 \end{cases}$

d'où on aura comme contraintes

$\sigma_a = \frac{M}{E h A} = \frac{0,27 \cdot 10^5}{0,93 \times 13,6 \times 2,51} = 850 \text{ kg/cm}^2 < \bar{\sigma}_a$

$\sigma'_b = \frac{\bar{\sigma}_a}{K} = 15 \text{ kg/cm}^2 < \bar{\sigma}'_b \Rightarrow \text{Verifiée}$

# -75- ACROTÈRE

L'acrotère est assimilée à une console encastrée dans le plancher terrasse. elle est calculée en flexion composée sous l'effet d'un effort normal dû à son poids propre et d'un moment fléchissant max à la base qui est dû à la surcharge de main courante P.

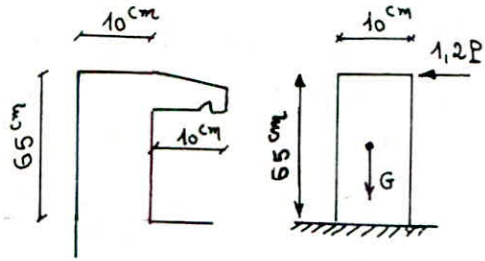
Les efforts sollicitant l'acrotère sont :

- Poids propre :  $G = 0,65 \times 2500 \times 0,1 = 162,5 \text{ kg/ml}$

- Surcharge :  $P = 100 \text{ kg/ml}$

Pour le calcul on considère une section rectangulaire ( $0,1 \times 1 \text{ m}$ ) soumise à la flexion composée

$$\begin{cases} N = G = 162,5 \text{ kg} \\ M = 1,2 \times 100 \times 0,65 = 78 \text{ kg.m} \end{cases}$$



La section dangereuse sera au niveau de l'encastrement.

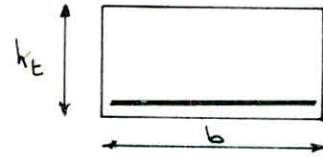
excentricité :  $e_0 = \frac{M}{N} = \frac{78}{162,5} = 0,48 \text{ m}$   
 $e_1 = \frac{h_E}{6} = \frac{0,1}{6} = 0,017 \text{ m}$  }  $\Rightarrow e_0 > e_1 \rightarrow$  section partiellement comprimée.

## calcul de la section d'armatures

$$f = \frac{h_E}{2} - d = \frac{10}{2} - 2 = 3 \text{ cm}$$

Moment fictif :  $M_f = N e_a = N (e_0 + \frac{h_E}{2} - d) = M + N \cdot f$

$$M_f = 78 + 162,5 \times 3 \cdot 10^{-2} = 83 \text{ kg.m/ml}$$



On calcule la section en flexion simple avec la méthode de P. Charron

$$\eta = \frac{15M}{\sigma_a b h^2} = \frac{15 \cdot 83 \cdot 10^2}{2800 \cdot 100 \cdot 8^2} = 0,007 \xrightarrow{\text{tableau}} \begin{cases} \epsilon = 0,962 \\ K = 118 \end{cases}$$

$$A_{fs,1} = \frac{M}{\sigma_a \cdot \epsilon \cdot h} = \frac{83 \cdot 10^2}{2800 \times 0,962 \times 8} = 0,38 \text{ cm}^2/\text{ml} \quad \sigma'_b = \frac{\sigma_a}{K} = 23,7 \text{ kg/cm}^2 \ll \bar{\sigma}'_b$$

$$A_{fc,1} = A_{fs,1} - \frac{N}{\sigma_a} = 0,38 - \frac{162,5}{2800} = 0,33 \text{ cm}^2/\text{ml}$$

## Condition de non fragilité (CCBA art 52)

$$A \geq 0,69 b h \frac{\bar{\sigma}'_b}{\sigma_{en}} \rightarrow A \geq 0,69 \cdot 100 \cdot 8 \frac{5,9}{4200} = 0,78 \text{ cm}^2/\text{ml}$$

Conclusion : on adoptera 5T8/ml ( $A = 2,51 \text{ cm}^2/\text{ml}$ ) avec un espacement  $e = 20 \text{ cm}$ . On prévoit également des armatures  $\perp$  aux armatures principales (ces premières sont constructives).



• Condition de non fissuration

$$\tilde{\omega}_f = \frac{A}{B_f} = \frac{2,51}{100 \times 4} = 63 \cdot 10^{-4}$$

$$K = 1,5 \cdot 10^6 \text{ (fissuration peu nuisible)}$$

$$\eta = \text{(Acier HA)}$$

$$\bar{\sigma}_b = 5,9 \text{ kg/cm}^2$$

$$\sigma_1 = \frac{K \eta \bar{\omega}_f}{\phi \sqrt{1 + 10 \tilde{\omega}_f}} = 1878 \text{ kg/cm}^2$$

$$\Rightarrow \sigma_2 = 2,4 \sqrt{\frac{K \eta \bar{\sigma}_b}{\phi}} = 3226 \text{ kg/cm}^2$$

$$\max(\sigma_1, \sigma_2) = 3226 \text{ kg/cm}^2 > \bar{\sigma}_a = 2800 \text{ kg/cm}^2$$

(Vérifiée)

• Vérification de l'effort tranchant :

$$T + \frac{M}{z} = 1,2 \cdot 100 - \frac{83 \cdot 10^2}{7} < 0$$

$$A \bar{\sigma}_a \geq T + \frac{M}{z} \text{ avec } z = \frac{7}{8} h = \frac{7}{8} \cdot 8 = 7 \text{ cm}$$

\Rightarrow inutile de faire la vérification.

• Vérification du seisme local de l'acrotère :

d'après le "RPA 81" art 3.3.9, on doit vérifier le seisme local dans les éléments secondaires de la structure : l'acrotère sera vérifiée sous l'action de la force horizontale :  $F_p = Z \cdot I \cdot C_p \cdot W_p$

-  $W_p$  : poids de l'élément  $\rightarrow W_p = 187,5 \text{ Kg}$

-  $Z = \frac{A(\text{groupe d'usage 1, Zone II})}{A(\text{groupe d'usage 1, Zone III})} = \frac{0,25}{0,35} = 0,714$

-  $I = \frac{\text{Valeur du coefficient A pour le Grpe d'usage du bâtiment}}{\text{Valeur du coef A pour le Grpe d'usage II}} = \frac{0,25}{0,15} = 1,66$

-  $C_p$  = facteur de force horizontale  $\rightarrow C_p = 0,8$

-  $F_p = Z \cdot I \cdot C_p \cdot W_p = 1,19 \cdot 0,8 \cdot 187,5 = 178,6 \text{ Kg/ml} > 1,2P = 120 \text{ Kg/ml}$

Conclusion : L'acrotère est dimensionnée avec un effort inférieur à la force sismique, donc on recalculera les armatures avec  $F_p$  et on les compare avec celles trouvées par la condition de non fragilité.

$$M = F_p \cdot h = 178,6 \cdot 0,55 = 116,5 \text{ kg} \cdot \text{m/ml}$$

• excentricité :

$$e_0 = \frac{M}{N} = \frac{116,5}{162,5} = 0,714 \text{ m}$$

$$e_1 = \frac{h_t}{6} = 16,7 \text{ cm}$$

$$\Rightarrow e_0 > e_1 \Rightarrow \text{s.p.c}$$

• Moment fictif : ( $M_f$ )

$$M_f = N \cdot e_a = M + N \cdot f = 116,1 + 162,5 \cdot 0,03 = 121 \text{ Kg m/ml}$$

• section d'armature :

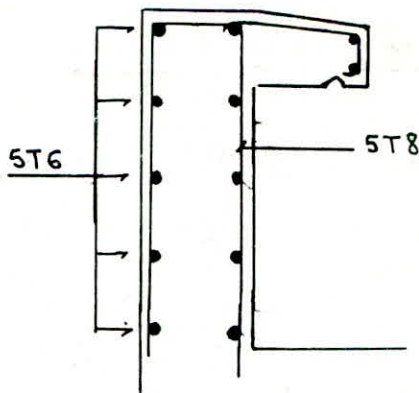
$$\mu = \frac{15M_f}{\bar{\sigma}_a b h^2} = \frac{15 \cdot 121 \cdot 10^2}{2800 \cdot 100 \cdot 8^2} = 0,0101 \Rightarrow \begin{cases} \epsilon = 0,9550 \\ K = 96 \end{cases}$$

$$A_{f_{s_2}} = \frac{M_f}{\bar{\sigma}_a \epsilon h} = \frac{121 \cdot 10^2}{2800 \cdot 0,955 \cdot 8} = 0,566 \text{ cm}^2/\text{ml}$$

$$A_{f_{c_2}} = A_{f_{s_2}} - \frac{N}{\bar{\sigma}_a} = 0,566 - \frac{162,5}{2800} = 0,508 \text{ cm}^2/\text{ml}$$

- condition de non fragilité :  $A \geq 0,78 \text{ cm}^2/\text{ml}$

La section d'armature calculée est inférieure à la condition de non fragilité et à la section d'armature adoptée  $A = 2,51 \text{ cm}^2$ , donc on prend  $A = 2,51 \text{ cm}^2/\text{ml}$  (5T8/ml)  $e = 20 \text{ cm}$ , et 5T6 d'armature de peau.



## - ETUDE DU SOL -

### \* Caractéristiques Géologiques du site :

D'après la carte hydrogéologique de la région d'ALGER en échelle 1:200.000. Notre site est implanté dans la région du miocène supérieur dont les dépôts sont représentés par des Marnes et des argiles. Afin de reconnaître la nature du sol, deux sondages ont été réalisés à la profondeur de 8,00m. Ceci ont donné des coupes assez semblables et ils révèlent un complexe de dépôts argileux à marneux.

Le sol est composé de trois couches: La première couche est située entre le niveau 0,0 et 3,00m formée d'une argile calcaire compacte, la deuxième couche entre 3,0 et 6,0m (argile plastique), à partir de 6,00m de profondeur on a une couche de Marnes.

Les caractéristiques du sol argileux sont données en fourchette d'après les essais au Laboratoire:

- Indice de consistance de 0,97 à 1,16
- teneur en eau de 13,3 à 20,3%
- Coefficient de tassement de 0,103 à 0,223
- Coefficient de gonflement de 0,041 à 0,106

\* D'après les essais "in situ" et ceux au Laboratoire, la portance du sol est suffisante pour une fondation superficielle.

Le taux de travail admissible du sol est déterminé à partir des essais de cisaillement, (sol argileux  $c = 0,3 \text{ kg/cm}^2$ ,  $\varphi = 18^\circ$ )

. Semelle isolée: 
$$\bar{\sigma}_s = \gamma_h D + \frac{g \gamma_h D + \gamma_h D (N_q - 1) + 1,3 c N_c}{F}$$
 avec 
$$g = \frac{B}{2(1 + \frac{B}{L})}$$
 (semelle rectangulaire)

Pour une semelle rectangulaire de dimension  $B \times L = 3,0 \text{ m} \times 4 \text{ m}$  ancrée à 1,50m de profondeur on trouve  $\bar{\sigma}_s = 2,69 \text{ kg/cm}^2$  avec

$F = 3$  coefficient de sécurité,  $\gamma_h = 2,12 \text{ t/m}^3$ ,  $c = 0,3 \text{ kg/cm}^2$ ,  $\varphi = 18^\circ \rightarrow$

$N_q = 5,25$ ;  $N_\gamma = 3,69$ ;  $N_c = 13,1$ .



vu La nature du sol et sa tendance au gonflement on prendra un taux de travail admissible de 2 bars.

- Etant dans une probabilité de gonflement des sols toute Les précautions au point de vue d'exécution du chantier, d'exploitabilité ainsi que La construction devront être tenues.

- Pour protéger Les sols contre Le changement d'état et Le gonflement au cours d'exécution du chantier, il faut respecter Les recommandations suivantes:

- protéger Les fouilles des semelles contre L'influence et la stagnation d'eau quelconque.

- exécuter Les dernières couches (d'épaisseur de 0,1m - 0,2m) de fouille juste avant Le coulage du béton.

- Remplir Les fouilles par Le même sol argileux, bien compacté.

En Plus il est à noter que L'exécution d'un drainage efficace autour du bâtiment est indispensable.

# CALCUL DES FONDATIONS

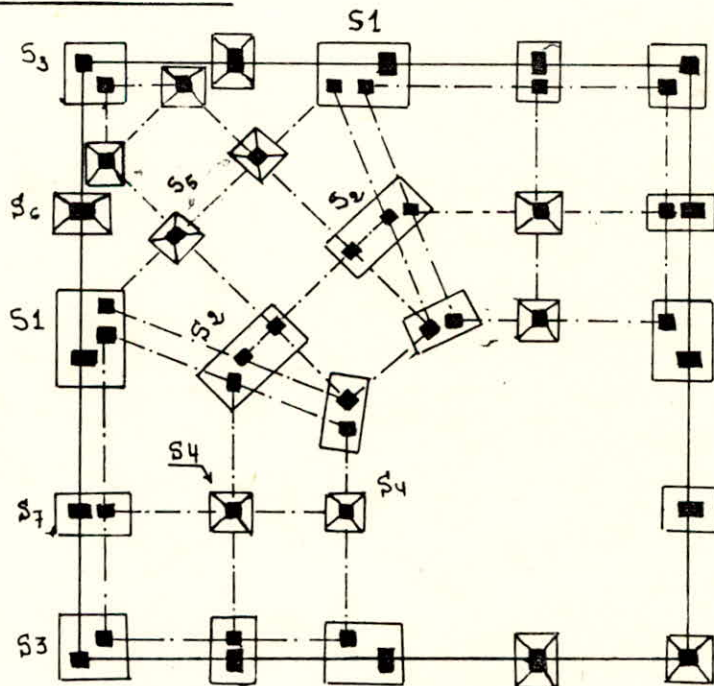
INTRODUCTION: Les Fondations que nous allons étudier sont des fondations superficielles; Nous avons  $\neq$  Types de semelles :

- Semelles isolées sous un poteau.
- Semelles " " " deux poteaux.
- Semelles continues, ss trois poteaux

Le dimensionnement et Le calcul des semelles se fait sous max (1,5SP, SP2)  
le prédimensionnement se fait sous SP1 et la vérification de la stabilité de la fondation sous SP2.

La solution adoptée pour les poteaux rapprochés, est celle d'un radier simple ou semelle sous plusieurs poteaux. Pour ce type de semelles et vu la disposition de leurs axes, les efforts seront rapportés au centre de gravité de la section suivant ces axes.

Vue en Plan des fondations :

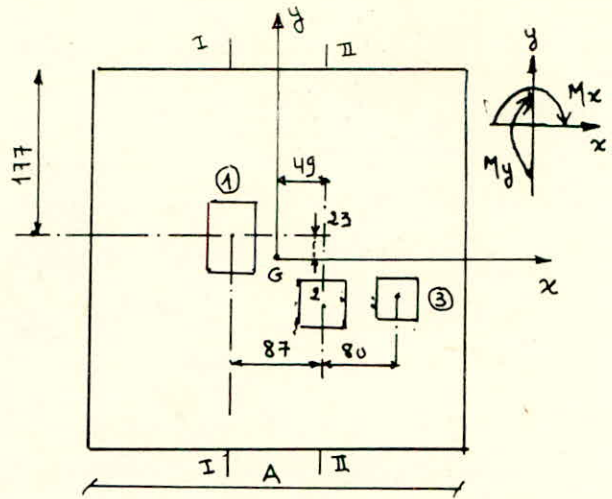


Semelle S1:

Efforts:

Sous SP1 :

$$\begin{aligned}
 N_1 &= 60,63t & N_2 &= 21,55t & N_3 &= 11,49t \\
 M_{1x} &= 0,6t.m & M_{2x} &= 3t.m & M_{3x} &= -0,6t.m \\
 M_{1y} &= 37,02t.m & M_{2y} &= 2,29t.m & M_{3y} &= 0,6t.m
 \end{aligned}$$



Efforts rapportés au C. D. G de la fondation:

$$N_G = 93,65t \quad M_{xG} = 2,4t.m \quad M_{yG} = 39,91t.m$$

Sous SP2 :

|          |                      |          |                     |
|----------|----------------------|----------|---------------------|
|          | $N_G = 99,04t$       |          | $N_G = 88,05t$      |
| sens y : | $M_{xG} = -0,77t.m$  | sens x : | $M_{xG} = 40,31t.m$ |
|          | $M_{yG} = 118,55t.m$ |          | $M_{yG} = 41,38t.m$ |

Deux solutions sont envisagées pour cette semelle:

- Ⓘ semelle sous 3 poteaux (radier simple)
- Ⓜ semelle sous 3 poteaux assemblés par un socle formant un Palais de transmission des efforts.

Solution I

Dimensions choisies:  $A = 400 \quad B = 400 \quad h_t = 60cm$

Vérification de la stabilité sous SP2 :

|                      |                                  |
|----------------------|----------------------------------|
| $N_G = 99,04t$       | Poids des terres: $N_t = 48,48t$ |
| $M_{xG} = -0,77t.m$  | Poids de la semelle: $N_s = 24t$ |
| $M_{yG} = 118,55t.m$ | $N_T = N_t + N_s = 171,5t$       |

$$e_0 = \frac{M_{yG}}{N_T} = 69,1cm < \frac{A}{4} = 100cm \text{ Vérifiée "semelle stable"}$$

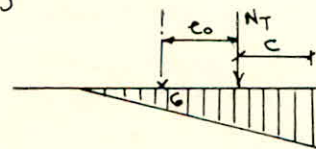
Vérification des contraintes :

$$e_0 = \frac{M}{N_T} = 69,1cm > \frac{A}{6} = 66,6cm \Rightarrow \text{Diagramme triangulaire}$$

$$Q = N_T = \frac{\sigma_m L B}{2} \text{ avec } L = 3c = 3\left(\frac{A}{2} - e_0\right) = 392,7cm$$

$$\text{donc } \sigma_m = \frac{2Q}{BL} = \frac{2 \cdot 171,5 \cdot 10^3}{400 \cdot 392,7} = 2,18 \text{ kg/cm}^2$$

$$\text{on doit avoir } \sigma\left(\frac{A}{4}\right) \leq \bar{\sigma}_s = 1,33 \cdot 2 = 2,66 \text{ kg/cm}^2 \rightarrow \sigma\left(\frac{A}{4}\right) = \frac{3}{4} \sigma_m = 1,63 \text{ kg/cm}^2 < \bar{\sigma}_s$$

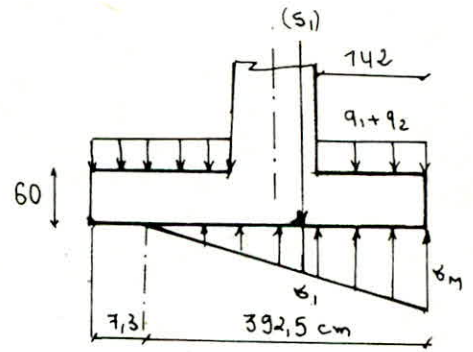




Ferraillage : Le Calcul des armatures se fera par la méthode des consoles.

Coupe I-I :

- Poids propre de la semelle :  $q_1 = 6 \text{ t/ml}$
- Poids du Remblai :  $q_2 = 12,11 \text{ t/ml}$
- \* Contraintes :  $\sigma_1 = 13,33 \text{ t/m}^2$      $\sigma_m = 21,8 \text{ t/m}^2$



Moment dans la section  $S_1$  :

$$- M_1 = B d^2 \frac{\sigma_1 + 2 \sigma_m}{6} = 4 \cdot 1,52^2 \frac{13,33 + 2 \cdot 1}{6} = 88,26 \text{ t.m}$$

$$- M_q = \frac{q \rho^2}{2} = \frac{18,11 \cdot 1,42^2}{2} = 18,26 \text{ t.m}$$

total  $M'_1 = 70 \text{ t.m}$

armatures :  $A_{inf} = \frac{M'_1}{\sigma_s \bar{\sigma}_a} = \frac{70 \cdot 10^5}{\frac{7}{8} \cdot 55 \cdot 4200} = 34,63 \text{ cm}^2$  soit :  $A_2 = 24 \text{ T } 14$

$$M''_1 = \frac{18,11}{2} \cdot 0,073^2 = 0,048 \text{ t.m} \rightarrow A_{sup} = \frac{M''_1}{\sigma_s \bar{\sigma}_a} = 0,023 \text{ cm}^2$$
 soit  $A_5 = 3 \text{ T } 12$

Coupe II-II :

$$\sigma_1 = 9,05 \text{ t/m}^2, \quad \sigma_m = 21,8 \text{ t/m}^2$$

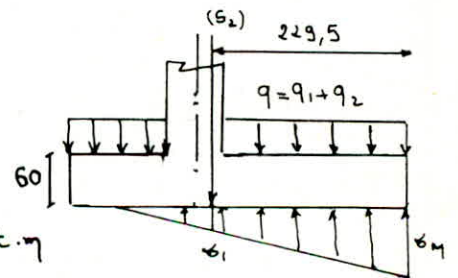
$$M_2(S_2) = 184,9 \text{ t.m}$$

$$M_q(\text{terre}) = 47,7 \text{ t.m}$$

$$\Rightarrow M'_2 = 184,9 - 47,7 = 137,2 \text{ t.m}$$

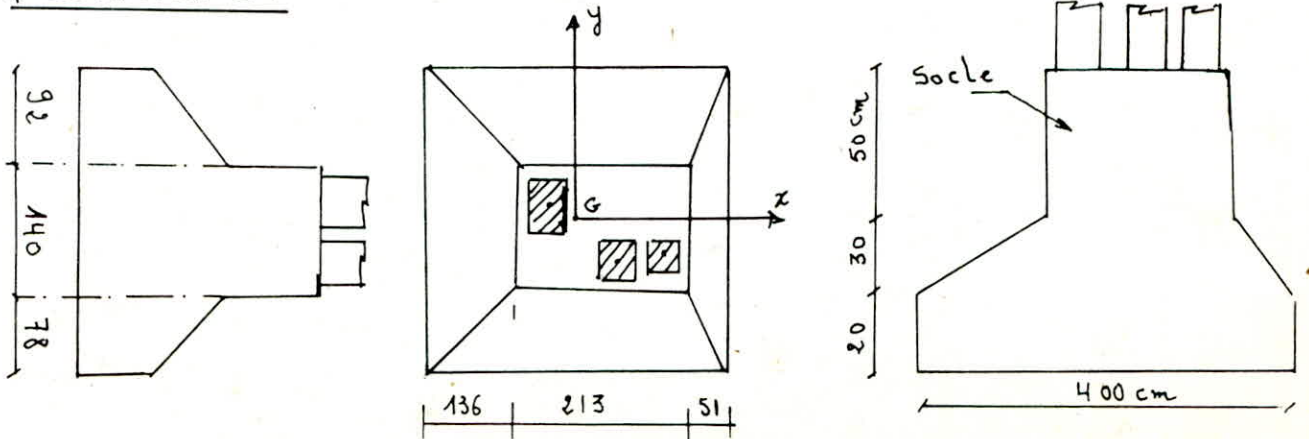
armature :  $A_{inf} = \frac{M'_2}{\sigma_s \bar{\sigma}_a} = \frac{137,2 \cdot 10^5}{\frac{7}{8} \cdot 55 \cdot 4200} = 67,87 \text{ cm}^2$

soit  $A_2 = 22 \text{ T } 20$



La section d'armature  $A_1 < A_2$  donc on ferraille avec  $A_2$ .

\* Solution II :



- Dimension :  $A \times B = 310 \times 400$      $h_t = 50$  cm

• Stabilité de la semelle

SP2:  $\begin{cases} N = 99,04t \\ M_x = -0,78t.m \\ M_y = 118,58t.m \end{cases}$      $N_T = N_s + N_{terre} + N = 16 + 40 + 99,04 = 155,04t$

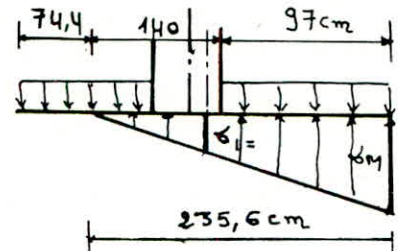
$e_o = \frac{M}{N_T} = \frac{188,58 \cdot 10^5}{155,04 \cdot 10^3} = 76,46$  cm  $< \frac{A}{4} = 77,5$  cm

Semelle stable

• Vérification des contraintes du sol

$e_o = 76,46$  cm  $> \frac{A}{6} = 51,66$  cm

$\Rightarrow$  Diagramme de réaction du sol triangulaire.



$\delta_M = \frac{2Q}{3(\frac{A}{2} - e_o)B} = 3,2$  Kg/cm<sup>2</sup>

$\delta(\frac{A}{4}) = \frac{3}{4} \delta_M = \frac{3}{4} \cdot 3,2 = 2,4$  Kg/cm<sup>2</sup>  $< 1,50 \cdot \delta_s = 1,50 \cdot 2 = 3,00$  Kg/cm<sup>2</sup> (Vérifié)

• Ferrailage :

du diagramme on déduit:  $M'_1 = 4 \times 0,97^2 \frac{18,9 + 2,32}{6} = 52$  t.m

$M'_q = \frac{9 \rho^2}{2} \dots \dots \dots 8$  t.m

$M'_{tot} = 44$  t.m

• armatures

$A'_{yng} = \frac{M}{\gamma \bar{\sigma}_a} = \frac{44 \cdot 10^5}{\frac{7}{8} \cdot 45 \cdot 4200} = 26,7$  cm<sup>2</sup> soit 24 T12

\* Sens x-x :

sous SP2:  $\begin{cases} N = 88,05t \\ M_x = 40,31t.m \\ M_y = 41,38t.m \end{cases}$      $N_T = N_s + N_t + N = 144,79t$

$e_o = \frac{M}{N_T} = 27,8$  cm  $< \frac{B}{4} = 100$  cm (stabilité vérifiée)

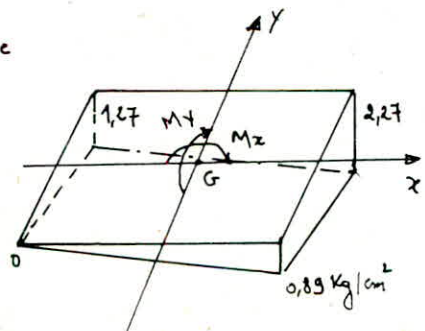
$e_o = \frac{M}{N_T} = 27,8$  cm  $< \frac{B}{6} = 66,6$  cm  $\Rightarrow$  répartition trapézoïdale

• sens x



$M'_1 = 3 \times 1,36^2 \frac{12,7 \times 2 + 16,1}{6} = 41,52$  t.m

$M_{pp+t} = \frac{9 \rho^2}{2} = 13,435 \cdot \frac{1,36^2}{2} = 12,42$  t.m



-  $M'_t = 41,52 - 12,42 = 29,1 \text{ t.m}$   $\rightarrow A_z = \frac{M}{\gamma \bar{\sigma}_a} = \frac{29,110^5}{\frac{7}{8} 43,2 4000} = 19,24 \text{ cm}^2$

Soit  $A = 15T10$

Vérification

Cisaillement:  $T^{\max} = 35,64 \text{ t}$   $\Rightarrow \tau_b = \frac{T^{\max}}{b \cdot \gamma} = \frac{35,64 10^3}{213 \frac{7}{8} 45} = 5,84 \text{ kg/cm}^2 < 115 \bar{\sigma}_b$

Adhérence:

$\phi \leq \frac{\bar{\tau}_d}{\bar{\sigma}_a} B$  avec  $\bar{\tau}_d = 1,25 \psi^2 \bar{\sigma}_b = 1,25 \cdot 1,5^2 \cdot 5,9 = 16,6 \text{ kg/cm}^2$

Sens x:

$\phi = 1 \text{ cm} < \frac{16,6}{2800} \cdot 400 = 2,37 \text{ cm} \rightarrow$  On met pas de Crochets

Sens y:

$\phi = 1,2 \text{ cm} < 1,83 \text{ cm}$  (Vérifié) pas de Crochets

Conclusion: On adopte la 2<sup>ème</sup> solution car elle est plus économique que la première, et on prévoit des armatures de grettage pour le Palai de transmission.

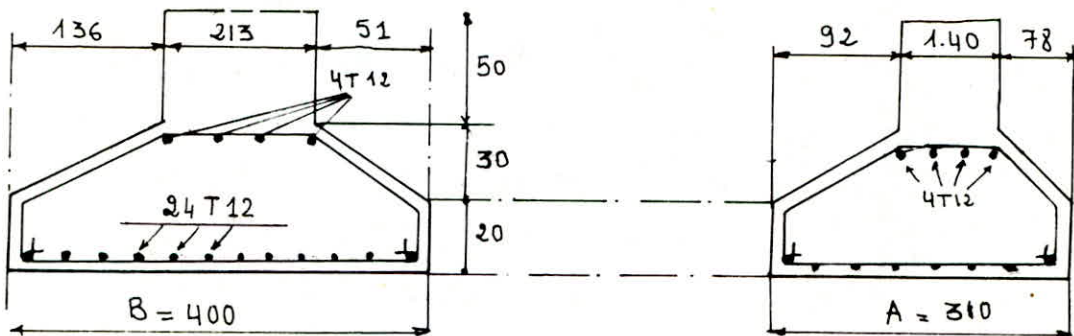
- dans le sens longitudinal (x-x): 15T10 (inferieure)  $e_p = 20,5 \text{ cm}$

- dans le sens transversal (y-y): 24T12 (inferieure)  $e_p = 13 \text{ cm}$

Armatures superieures :

- dans la direction x: 4T12

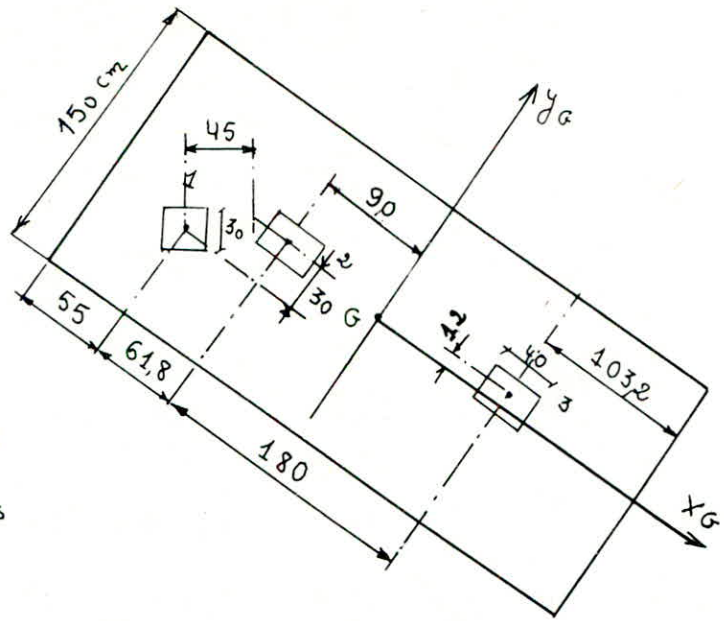
- dans " " " y: 4T12





Semelle S2:

La méthode utilisée pour le calcul de la semelle (continue) est la méthode classique basée sur l'hypothèse d'une semelle infiniment rigide, et d'une distribution linéaire des contraintes sous la semelle.



- Capacité portance vis à vis de la rupture :  $\gamma$ : densité du sol = 2,12 t/m<sup>3</sup>

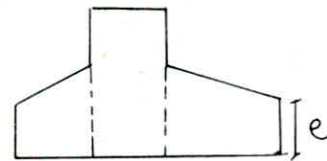
$$\bar{\sigma}_s = \gamma D + \frac{\gamma_h \rho N_\gamma + \gamma D (N_q - 1) + C N_c}{F}$$

• D = 1,50 m (ancrage)  
 • C = 0,3 kg/cm<sup>2</sup> (cohésion)

- N<sub>q</sub>, N<sub>γ</sub>, N<sub>c</sub> facteur de capacité portante sans dimension.
- φ: angle de frottement = 18°      φ = 18° → N<sub>γ</sub> = 3,69, N<sub>q</sub> = 5,25, N<sub>c</sub> = 13,1

d'où  $\bar{\sigma}_s = 2,12 \cdot 1,50 + \frac{2,12 \cdot 0,545 \cdot 3,69 + 2,12 \cdot 1,5 (5,25 - 1) + 3 \cdot 13,1}{3} = 2,2 \text{ kg/cm}^2$

- Le fonctionnement de cette semelle qui doit être assez rigide de fait dans les deux directions, la hauteur de la poutre de rigidité doit être telle que:



$h_t = \left(\frac{l}{6} \div \frac{l}{9}\right) = (30 \div 20)$  On prend  $h_t = 50 \text{ cm}$   
 ce qui ne fera qu'augmenter la rigidité, et  $d = 5 \text{ cm} \rightarrow h = 45 \text{ cm}$   
 hauteur de la semelle:  $h \geq \frac{B - b}{4} = \frac{150 - 70}{4} = 20 \text{ cm}$  on prend  $h = 25 \text{ cm}$   
 $h_t = 30 \text{ cm}$ ,  $e \geq 6\phi + 6$  avec  $\phi = 1,6 \rightarrow e \geq 15,6 \text{ cm}$        $e = 20 \text{ cm}$

- Détermination de la longueur élastique

$$l_e = \sqrt[4]{\frac{4 EI}{Kb}}$$

- I: inertie de la semelle
- E: module d'élasticité du béton
- K: coefficient de rigidité du sol = 8 kg/cm<sup>2</sup>
- b: largeur de la semelle

$$l_e = \sqrt[4]{\frac{4 \cdot 2 \cdot 10^5 \cdot 150 \cdot 30^3}{8 \cdot 150 \cdot 12}} = 122,5 \text{ cm}$$

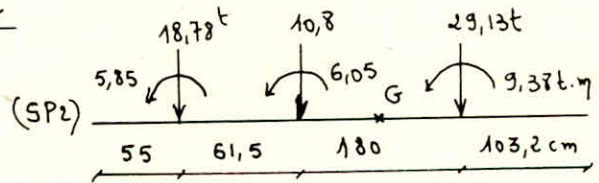
si  $l \leq \frac{\pi}{2} l_e$ , le calcul se fait en supposant une répartition linéaire des contraintes sur le sol et il n'y a pas lieu de faire le calcul relatif à la poutre sur sol élastique.

$l$ : distance entre les charges qui sollicitent la poutre.

$l = 180 \text{ cm} < \frac{\pi}{2} 122,5 = 192,5 \text{ cm} \Rightarrow$  répartition linéaire des contraintes sur le sol.

Stabilité de la semelle sous "SP2"

Poids de la semelle  $N_1 = 4,2 \text{ t}$   
 Poids des terres  $N_2 = 19,08 \text{ t}$   
 $N' = 23,28 \text{ t}$



$R = 18,78 + 10,8 + 29,13 = 58,71 \text{ t}$

$N_t = R + N' = 58,71 + 23,28 = 81,99 \text{ t}$

$M/G = 33,27 \text{ t.m}$

$\Rightarrow e = \frac{M/G}{N_t} = 0,40 \text{ m} < \frac{L}{4} = 1,00 \text{ m}$   
 "Semelle stable"

Vérification des contraintes:

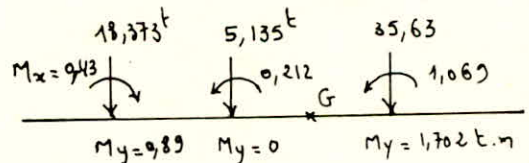
• SP<sub>2</sub>:  $\sigma_{1,2} = \frac{N_t}{S} \left( 1 \pm \frac{6e}{L} \right) = \frac{81,99 \cdot 10^3}{150 \cdot 400} \left( 1 \pm 6 \frac{40}{400} \right)$

$\sigma_{1,2} = 0,978 (1 \pm 0,6) \rightsquigarrow \sigma_1 = 1,56 \text{ kg/cm}^2; \sigma_2 = 0,39 \text{ kg/cm}^2$

$\sigma \left( \frac{L}{4} \right) = \frac{3\sigma_1 + \sigma_2}{4} = \frac{3 \cdot 1,56 + 0,39}{4} = 1,27 \text{ kg/cm}^2$

on doit avoir  $\sigma \left( \frac{L}{4} \right) = 1,27 \text{ kg/cm}^2 < 1,50 \cdot 2,20 = 3,33 \text{ kg/cm}^2$

Sous (SP1):



$N_t = N_1 + N_2 + R = 23,28 + 59,13 = 82,41 \text{ t}$

$M_{xG} = 1,7 \text{ t.m}$

$\Rightarrow e = \frac{M}{N_t} = 2,06 \text{ cm}$

$\sigma_{1,2} = \frac{N_t \cdot t}{S} \left( 1 \pm 6 \frac{e}{L} \right) = \frac{82,41 \cdot 10^3}{150 \cdot 400} \left( 1 \pm 6 \frac{2,06}{400} \right)$

$\sigma_1 = 1,41 \text{ kg/cm}^2$

$\sigma_2 = 1,33 \text{ kg/cm}^2$

$\sigma \left( \frac{L}{4} \right) = \frac{3 \cdot 1,41 + 1,33}{4} = 1,39 \text{ kg/cm}^2 < \bar{\sigma}_s$   
 (Vérifiée)

- Diagramme de M et T

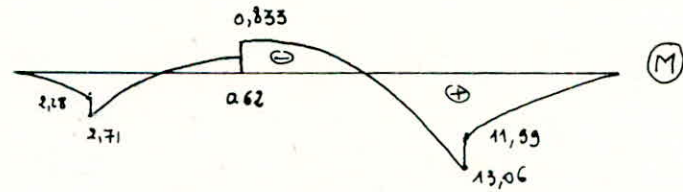
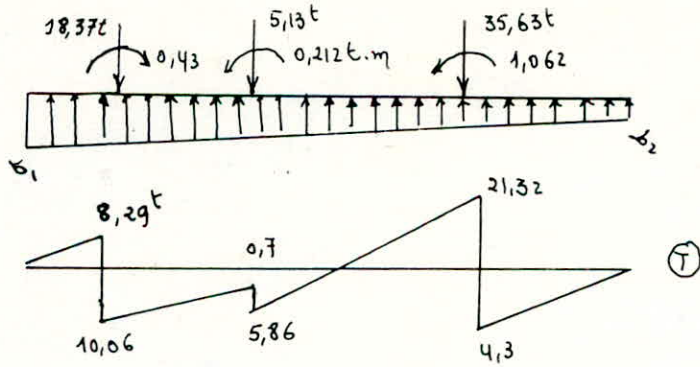
(SP1)

$$R = 59,13 \text{ t}$$

$$e = \frac{M}{R} = \frac{1,7}{59,13} = 0,028 \text{ m}$$

$$\sigma_{1,2} = \frac{N}{S} \left( 1 \pm 6 \frac{e}{L} \right)$$

$$\sigma_1 = 10,28 \text{ t/m}^2, \sigma_2 = 9,43 \text{ t/m}^2$$



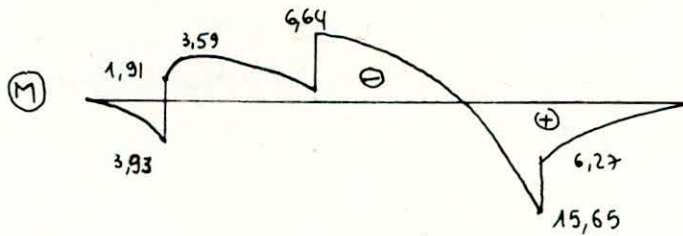
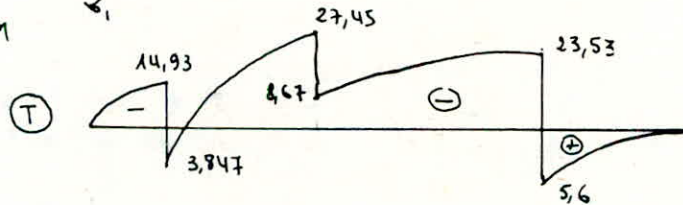
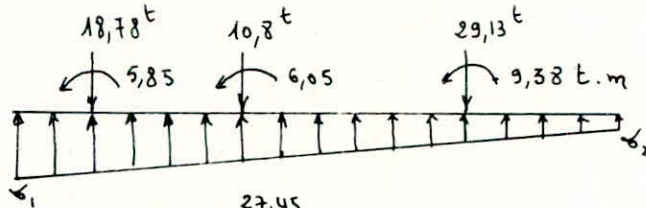
Plus défavorable sous  
(SP2)

$$R = 58,71 \text{ t}, M = 33,27 \text{ t.m}$$

$$e = \frac{M}{N} = 0,40 \text{ m}$$

$$\sigma_1 = 18,1 \text{ t/m}^2$$

$$\sigma_2 = 1,467 \text{ t/m}^2$$



Ferraillage :

a) Armatures longitudinales de traction: Le ferraillage se fait sous

$$M = \max(1,5 M(\text{SP1}), M(\text{SP2}))$$

. section rectangulaire:  $b = 70 \text{ cm}, h_t = 50 \text{ cm} \rightarrow h = 45 \text{ cm}$

- APPUIS:  $M_1^{\max}(\text{SP1}) = 13,06 \text{ t.m}$

$$y = \frac{15 \cdot 13,06 \cdot 10^5}{70 \cdot 45^2 \cdot 2800} = 0,049 \rightarrow \begin{cases} K = 38,8 \\ \epsilon = 0,9071 \end{cases} \rightarrow \sigma_b' = \frac{\sigma_a}{K} = 72,16 \text{ kg/cm}^2 < \bar{\sigma}_b'$$



$$A = \frac{M}{\epsilon h \bar{\sigma}_a} = \frac{13,06 \cdot 10^5}{0,9071 \cdot 45 \cdot 2800} = 11,42 \text{ cm}^2 \quad \text{soit } 6T16 \quad A = 12,06 \text{ cm}^2$$

- Moment entravé  $M(SP_2) = -6,64 \text{ t.m}$

$$y = \frac{15 \cdot 6,64 \cdot 10^5}{70 \cdot 45 \cdot 4200} = 0,0167 \rightarrow \begin{cases} \epsilon = 0,9425 \\ k = 72,0 \end{cases} \rightarrow \bar{\sigma}'_b = \frac{4200}{72} = 58,3 \text{ kg/cm}^2$$

$$A = \frac{M}{\epsilon h \bar{\sigma}_a} = \frac{6,64 \cdot 10^5}{0,9425 \cdot 45 \cdot 4200} = 3,73 \text{ cm}^2 \quad \text{soit } 4T12 \quad A = 4,52 \text{ cm}^2$$

Verifications:

1/ effort tranchant :  $A \bar{\sigma}_a \geq T + \frac{M}{z} = 21,32 \cdot 10^3 - 13,06 \cdot \frac{10^5}{\frac{7}{8} \cdot 45} < 0$  (Verifiée)

2/ entrainement des armatures :

$$\tau_d = \frac{T}{n \cdot p \cdot z}, \quad T^{\max} = 21,32 \text{ t} \Rightarrow \tau_d = \frac{21,32 \cdot 10^3}{30,15 \cdot \frac{7}{8} \cdot 45} = 17,2 \text{ kg/cm}^2$$

$$\tau_d < \bar{\tau}_d = 24 \cdot \bar{\sigma}_b = 2 \cdot 1,5 \cdot 5,9 = 17,7 \text{ kg/cm}^2 \quad (\text{Verifiée})$$

3/ armatures transversales :

$$\tau_b = \frac{T^{\max}}{b \cdot z} = \frac{21,3 \cdot 10^3}{70 \cdot \frac{7}{8} \cdot 45} = 7,73 \text{ kg/cm}^2$$

$$\bar{\sigma}'_b = 78,65 \text{ kg/cm}^2 \rightarrow 68,5 < \bar{\sigma}'_b < 137 \Rightarrow \bar{\tau}_b = \left(4,5 - \frac{\bar{\sigma}'_b}{\bar{\sigma}'_{b0}}\right) \bar{\sigma}_b$$

$$\bar{\tau}_b = \left(4,5 - \frac{78,65}{68,5}\right) 5,9 = 23,16 \text{ kg/cm}^2 > \tau_b = 3,5 \bar{\sigma}_b = 20,65 \text{ kg/cm}^2$$

on utilise des armatures  $\perp$  à la ligne moyenne, soit 3 cadres T10

$$A_t = 6,28 \text{ cm}^2 \quad \text{avec } \bar{\sigma}_{at} = 2800 \text{ kg/cm}^2$$

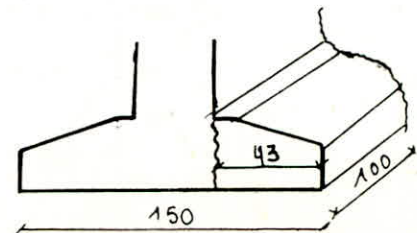
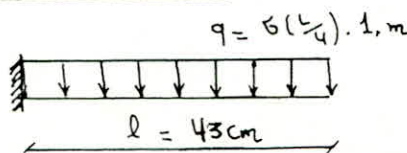
• espacement :  $e = \frac{A_t \cdot z \cdot \bar{\sigma}_{at}}{T} = \frac{6,28 \cdot \frac{7}{8} \cdot 45 \cdot 2800}{21,32 \cdot 10^3} = 32,47 \text{ cm}$

$$\bar{E} = \begin{cases} e_1 = 0,2h = 9 \text{ cm} \\ e_2 = \left(1 - 0,3 \frac{\tau_b}{\bar{\sigma}_b}\right) h = 27,31 \text{ cm} \end{cases}$$

On prend un espacement constant le long de la poutre  $e = 25 \text{ cm}$

Détermination des armatures  $\perp$  à la poutre de rigidité

Méthode des consoles



$$q = \left(\frac{L}{4}\right) \times 1,00 = 10,07 \cdot 1,00 = 10,07 \text{ t/ml (SP}_1\text{)} ; q(\text{SP}_2) = 18,37 \text{ t/ml}$$

La section dangereuse étant celle de l'encastrement.

$$M^{\max} = q \frac{l^2}{2} = 18,37 \cdot \frac{0,43^2}{2} = 1,69 \text{ t.m (SP}_2\text{)}$$

- nous avons une section rectangulaire de  $b = 100 \text{ cm}$ ,  $R = 25 \text{ cm}$

$$\mu = \frac{15 \cdot 1,69 \cdot 10^5}{100 \cdot 4200 \cdot 25^2} = 0,0097 \rightarrow \begin{cases} \epsilon = 0,9587 \\ K = 106 \end{cases} \rightarrow \sigma'_b = \frac{4200}{106} = 39,6 \text{ kg/cm}^2$$

$$\sigma'_b < \bar{\sigma}_b = 8,85 \text{ kg/cm}^2 \Rightarrow A' = 0$$

$$A = \frac{1,47 \cdot 10^5}{0,9587 \cdot 25 \cdot 4200} = 1,46 \text{ cm}^2 \quad \text{soit } 5 \text{ T10/ml}$$

. Armatures de répartition : soit 3 T10

Vérification au cisaillement au niveau de l'encastrement

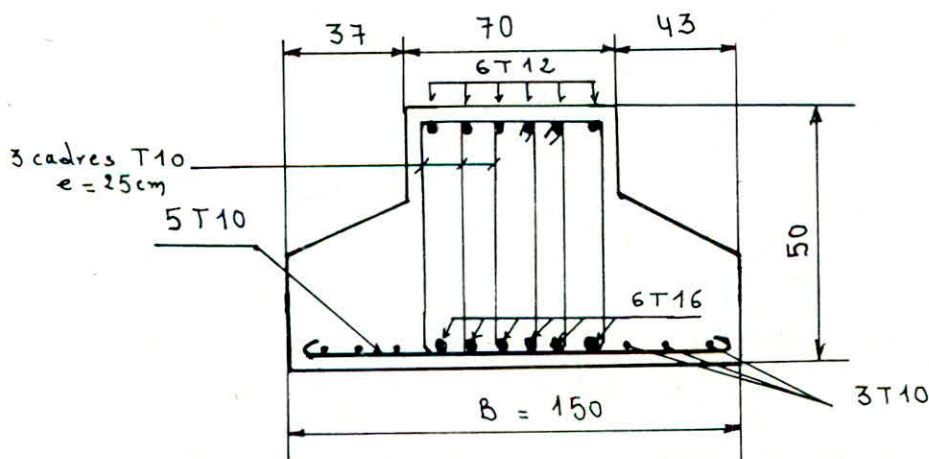
$$\tau_b = \frac{T^{\max}}{b \cdot z} \quad \text{avec } T^{\max} = q \cdot l = 18,37 \cdot 0,43 = 7,898 \text{ t}$$

$$\tau_b = \frac{7,898 \cdot 10^3}{100 \cdot \frac{7}{8} \cdot 25} = 3,61 \text{ kg/cm}^2, \quad \sigma'_b = 39,6 \text{ kg/cm}^2 < \bar{\sigma}_b \rightarrow$$

$$\bar{\tau}_b = 3,5 \bar{\sigma}_b = 3,5 \cdot 15 \cdot 5,9 = 30,97 \text{ kg/cm}^2 > \tau_b \quad (\text{Vérifié}).$$

Pas de risque de cisaillement

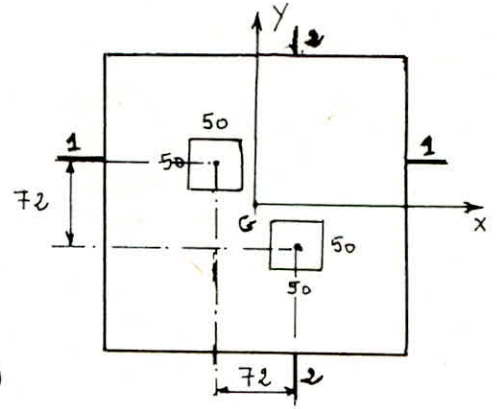
schéma du Ferroillage



- Semelle S3: (semelle sous 2 poteaux)

- Prédimensionnement: sous "SP1"

$$\begin{cases} N_G = 34,85 \text{ t} \\ M_{xG} = -2,58 \text{ t.m} \\ M_{yG} = 3,5 \text{ t.m} \end{cases}$$



- On prendra comme dimension:  $A \times B = 200 \times 200$

- Vérification de la stabilité sous SP2

-  $N_G = 42,84 \text{ t}$

-  $M_{Gx} = 8,518 \text{ t.m}$

-  $M_{Gy} = 6,398 \text{ t.m}$

Poids propre de la semelle:  $2 \times 2 \times 0,4 \times 0,25 = 4 \text{ t}$

Poids des terres:  $2,12 \times 1,5 \times [2 \times 2 - 0,5 \times 0,5 \times 2] = 11,13 \text{ t}$

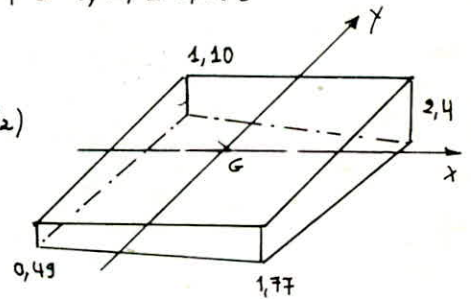
$N_{tot} = 42,84 + 4 + 11,13 = 57,97 \text{ t}$

$e_0 = \frac{M}{N_t} = \frac{8,518 \cdot 10^5}{57,97 \cdot 10^3} = 14,7 \text{ cm} < \frac{A}{4} = 50 \text{ cm}$  (Vérifiée)

- Contraintes:

$\sigma = \frac{N}{S} \pm \frac{M_x}{W_x} \pm \frac{M_y}{W_y} = 1,44 \pm 0,64 \pm 0,306$

$\sigma\left(\frac{A}{4}\right) = \frac{3\sigma_1 + \sigma_2}{4} = \frac{3 \cdot 2,4 + 1,77}{4} = 2,24 \text{ kg/cm}^2 < \bar{\sigma}_s$   
avec  $\bar{\sigma}_s = 2,66 \text{ kg/cm}^2$  (SP2)



- Ferraillage:

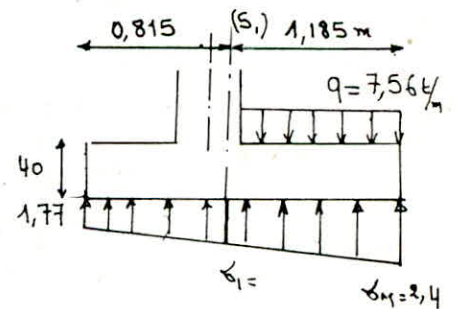
• Coupe 1.1: (sens y-y)

$\sigma_1 = 1,77 + \frac{81,5}{81,5 + 118,5} (2,4 - 1,77) = 2,03 \text{ kg/cm}^2$

$M_{L1} = 2 \times \frac{1,185^2}{6} \cdot \frac{2,03 + 2 \times 2,4}{2} \cdot 10^2 = 31,97 \text{ t.m}$

$M_q = 7,56 \cdot \frac{1,11^2}{2} = 4,7 \text{ t.m}$

$M_{tot} = 27,27 \text{ t.m}$

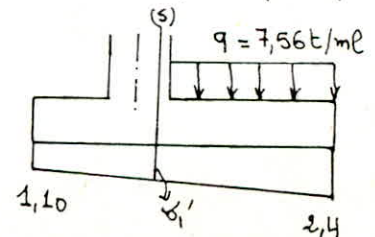


• armatures inférieures

$A = \frac{M}{\gamma \bar{\sigma}_a} = \frac{27,27 \cdot 10^5}{\frac{7}{8} \cdot 35 \cdot 4200} = 21,2 \text{ cm}^2$

soit  $A = 14 \text{ T14}$

• Coupe 2.2 sens (x-x): On adopte même ferraillage que le sens y-y puisque les efforts sont très proches.





- Vérifications:

- Cisaillement: L'effort tranchant max est:  $T^{max} = 24,6^t$

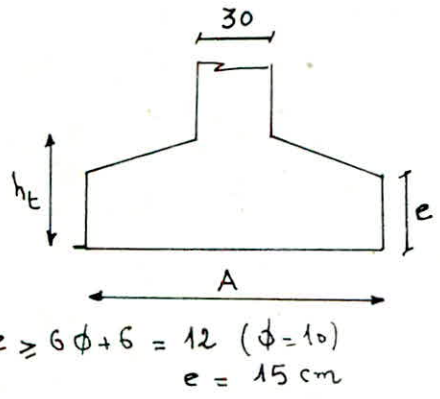
$$\tau_b = \frac{T}{b \cdot z} = \frac{24,6 \cdot 10^3}{200 \cdot \frac{7}{8} \cdot 35} = 4 \text{ Kg/cm}^2 < 1,15 \bar{\sigma}_b = 1,15 \cdot 5,9 \cdot 1,5 = 10,17 \text{ Kg/cm}^2 \quad (\text{Vérifié})$$

- adhérence: sens x:  $\phi = 1,4 \text{ cm} \neq \frac{\tau_d}{\bar{\sigma}_a} A = \frac{16,6}{2800} \cdot 200 = 1,18 \text{ cm}$

- Semelle isolée sous un poteau (Gradin) "S<sub>4</sub>"

Le poteau est homothétique à la fondation d'où:

$$\frac{a}{b} = \frac{A}{B} = 1 \Rightarrow A = B \quad (\text{semelle carrée})$$



Prédimensionnement:

sous SP<sub>1</sub>:

$$\begin{cases} N = 22,51^t \\ M_x = 0,78^t \cdot m \\ M_y = 0,89^t \cdot m \end{cases}$$

on dimensionne sous l'effort normal N et on vérifie sous SP<sub>2</sub>

$$\sigma = \frac{N}{S} \leq \bar{\sigma}_s \Rightarrow S \geq 11256 \text{ cm}^2 \Rightarrow A = 120 \text{ cm}$$

Les contraintes sous SP<sub>2</sub> ne sont pas vérifiées donc on augmente la section d'où  $A = B = 150 \text{ cm}$   $h \geq \frac{A - a}{4} = \frac{150 - 30}{4} = 30$   $h_e = 40 \text{ cm}$ .

- Vérification de la stabilité sous SP<sub>2</sub>

Sous SP<sub>2</sub>:  $N = 22,9^t$ ,  $M_x = -6,61^t \cdot m$ ,  $M_y = 0,89^t \cdot m$

• Poids des terres:  $2,12 \times 1,5 [1,5 \times 1,5 - 0,3 \times 0,3] = 6,90^t$

• Poids de la semelle ...

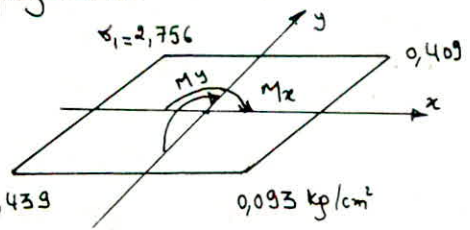
$$\Rightarrow N_T = 32,05^t$$

$$e_0 = \frac{M}{N_T} = \frac{6,61 \cdot 10^5}{32,05 \cdot 10^3} = 20,62 \text{ cm} < \frac{A}{4} = 37,5 \text{ cm} \quad \text{semelle stable}$$

-  $e_0 = 20,62 \text{ cm} < \frac{A}{6} = 25,00 \text{ cm} \rightarrow$  répartition trapézoïdale

Les contraintes sont déterminées par:

$$\sigma = \frac{N}{S} \pm \frac{M_x}{W_x} \pm \frac{M_y}{W_y} = 1,424 \pm 1,173 \pm 0,158$$



on doit avoir  $\sigma(\frac{A}{4}) = \frac{3\sigma_1 + \sigma_2}{4} \leq \bar{\sigma}_s$

$$\sigma(\frac{A}{4}) = 2,67 \text{ Kg/cm}^2 < \bar{\sigma}_s = 1,50 \cdot 2 = 3,00 \text{ Kg/cm}^2 \quad (\text{Vérifié})$$

### Ferraillage de la semelle (Méthode des bielles)

$$A_x = \frac{Q'(B-b)}{8h\sigma_a} \quad \text{avec } Q' = 6\left(\frac{A}{4}\right) \times A^2 = 2,67 \times 150^2 = 60,07 \text{ t}$$

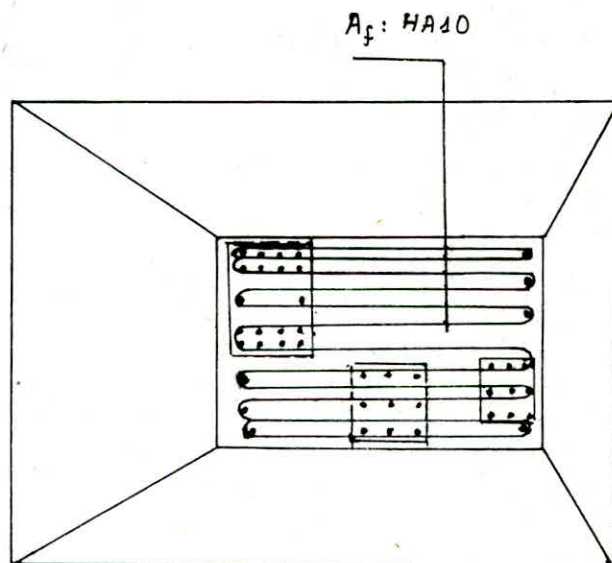
$$A_x = A_y = \frac{60,07 \times 10^3 (150-30)}{8 \times 30 \times 2800 \cdot 1,5} = 7,15 \text{ cm}^2 \quad \text{soit } A = 10 \text{ T } 10 (7,85 \text{ cm}^2)$$

### Frettage :

Pour la semelle "s1" Le socle réunissant les trois poteaux doit être frettés par des armatures transversales entourant le noyau résistant de la pièce, le frettage est utilisé pour obtenir.

- une augmentation de la résistance à la compression
- une bonne ductilité.

Il s'oppose à l'expansion latérale du béton.



# CALCUL DES TASSEMENTS

Seule la sollicitation du 1<sup>er</sup> Genre est prise en compte dans le calcul des tassements puisque la durée d'application des charges est assez longue.

- Tassement admissible = 6 cm Pour un sol argileux (semelle isolée)
- Méthode utilisée : Théorie de "Boussinesq" pour la répartition des contraintes en profondeur.

Le tassement sera calculé sous le centre de la semelle en considérant la contrainte moyenne  $\sigma_m = \frac{Nt}{S}$ .

• Calcul des contraintes effectives

$\sigma'_0$  à mi-couche

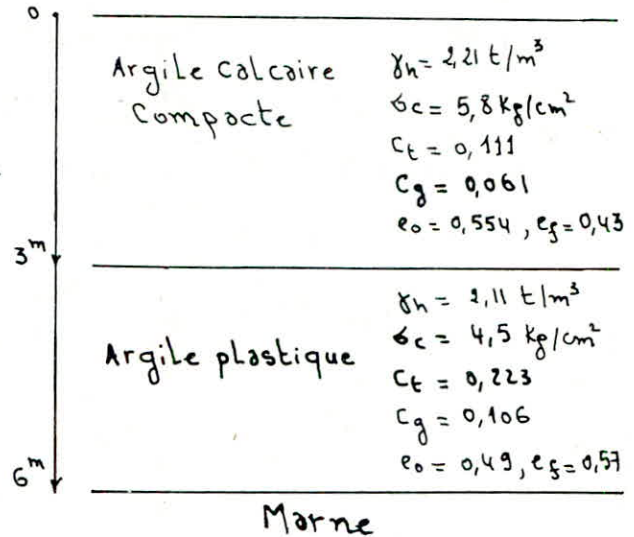
$$\sigma'_0 = \sum \gamma_i h_i$$

Couche 1 :  $\sigma'_{01} = \gamma_{h1} \cdot \frac{h_1}{2} = 2,21 \cdot \frac{3}{2} = 3,315 \text{ t/m}^2$

Couche 2 :  $\sigma'_{02} = \gamma_{h1} h_1 + \gamma_{h2} \cdot \frac{h_2}{2}$

$$\sigma'_{02} = 2,21 \cdot 3 + 2,11 \cdot \frac{3}{2} = 9,795 \text{ t/m}^2$$

on voit de façon très nette que  $\sigma'_0 < \sigma_c$  l'argile est donc surconsolidée.



Pour l'évaluation du tassement d'une argile surconsolidée on compare  $\Delta s$  à  $\frac{1}{2} (\sigma_c - \sigma'_0)$ .

si  $\Delta s < \frac{1}{2} (\sigma_c - \sigma'_0)$  Le tassement (s) d'une argile surconsolidée est compris entre le dixième et le quart du tassement d'une argile normalement consolidée de même liquidité.

$$\frac{\Delta h}{10} < s < \frac{\Delta h}{4}$$

$\Delta h$  : tassement d'une couche normalement consolidée.

Le tassement se calcule par la formule suivante :

$$\Delta R = h \frac{\Delta e}{1+e_0} = \frac{C_c}{1+e_0} \log \frac{\sigma'_0 + \Delta \sigma}{\sigma'_0} \quad (\text{argile N. consolidée})$$



Semelle S1     $A \times B = 310 \times 400$

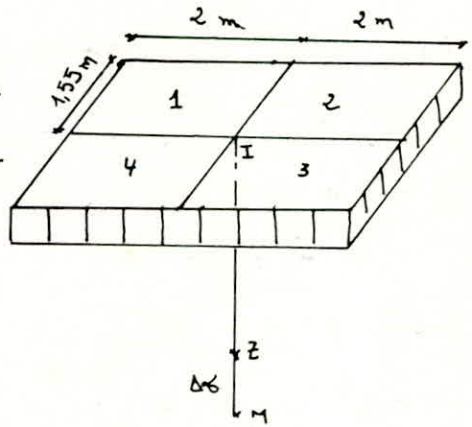
Le tassement sera calculé sous le centre de la semelle en considérant la contrainte moyenne:  $\sigma_m$

- poids de la semelle et des terres au-dessus de la semelle:  $56^t$
  - résultantes des efforts extérieurs . . . . .  $93,65^t$
- $N_t = 149,65^t$

Contrainte moyenne sous la semelle:

$$q = \sigma_m = \frac{N_t}{S} = \frac{149,6510^3}{400 \times 310} = 1,2 \text{ kg/cm}^2$$

Pour la répartition des contraintes en profondeur on utilise la théorie de "Boussinesq". La semelle est décomposée en quatre petits rectangles de dimension  $(\frac{A}{2} \times \frac{B}{2})$  de façon à avoir le centre de la semelle sur chaque coin du petit rectangle.



$\Delta\sigma = (k_1 + k_2 + k_3 + k_4) q = 4Kq$   
 avec  $K = f(m, n)$      $m = \frac{a}{z}$  ,  $n = \frac{b}{z}$

- Le tassement se calcule en utilisant la formule suivante:

$$\Delta h = h \frac{\Delta\sigma}{1+e_0} = h \frac{c_c}{1+e_0} \log \frac{\Delta\sigma + \sigma'_0}{\sigma'_0}$$

| Z (m) | $m = \frac{a}{z}$ | $n = \frac{b}{z}$ | K     | $\Delta\sigma = 4Kq$ | $c_c$ | $\sigma'_0$ | $e_0$ | $\Delta h_i$ (cm) |
|-------|-------------------|-------------------|-------|----------------------|-------|-------------|-------|-------------------|
| 0,75  | 2,67              | 2,06              | 0,235 | 1,128                | 0,111 | 0,331       | 0,544 | 7,2               |
| 3,00  | 0,67              | 0,517             | 0,105 | 0,504                | 0,223 | 0,979       | 0,490 | 7,91              |

$\Sigma \Delta h_i = 15,01 \text{ cm}$

Le tassement "s" de l'argile surconsolidée est tel que :

$$\Sigma \frac{\Delta h_i}{10} \leq s \leq \frac{\Sigma \Delta h_i}{4}$$

$\Delta h_i$ : tassement d'une argile normalement consolidée

$1,5 \text{ cm} \leq s \leq 3,75 \text{ cm}$

$\Rightarrow s^{max} = 3,75 \text{ cm} < s_{ad} = 6 \text{ cm}$

Vérifiée

Semelle S<sub>2</sub> L x B = 400 x 150

- Poids de la semelle et de la terre : 23,28 t

- efforts extérieurs . . . . . : 59,13 t

$$N_T = 82,41 \text{ t} \Rightarrow q_m = \frac{N_T}{S} = 1,4 \text{ kg/cm}^2$$

calcul du tassement:

| Z(m) | m    | n     | k    | $\Delta s = 4kq$ | $\Delta e$ | $\Delta h(\text{cm})$ |
|------|------|-------|------|------------------|------------|-----------------------|
| 0,75 | 2,66 | 1,337 | 0,21 | 1,154            | 0,072      | 7,024                 |
| 3    | 0,87 | 1,337 | 0,07 | 0,392            | 0,032      | 6,566                 |

tassement final :

$$1,36 \leq s \leq 3,39 \text{ cm} \Rightarrow s^{\max} = 3,39 \text{ cm} < \bar{s}_{\text{ad}} = 6 \text{ cm}$$

Vérifié

Semelle S<sub>3</sub> A x B = 200 x 200

- résultante des efforts extérieurs: 34,85 t

- Poids de la semelle et des terres: 15,13 t

$$N_{\text{tot}} = 49,98 \text{ t}$$

contrainte moyenne:

$$q_m = \frac{N_T}{S} = \frac{49,98 \text{ t}}{200 \times 200} = 1,25 \text{ kg/cm}^2$$

tassement:

| Z(m) | m     | n     | k     | $\Delta s = 4kq$ | $\Delta e$ | $\Delta h(\text{cm})$ |
|------|-------|-------|-------|------------------|------------|-----------------------|
| 0,75 | 1,335 | 1,335 | 0,20  | 1,028            | 0,0618     | 6,62                  |
| 3,0  | 0,335 | 0,335 | 0,042 | 0,215            | 0,0164     | 3,97                  |

$$\frac{\sum \Delta h_i}{10} \leq s \leq \frac{\sum \Delta h_i}{4} \Leftrightarrow 1,15 \leq s \leq 2,9 \text{ cm} \Rightarrow s^{\max} = 2,9 \text{ cm} < s_{\text{admissible}}$$

(Vérifié)

## VOILES PERIPHERIQUES

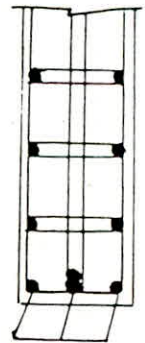
- Prescription RPA 81 : Les ossatures au dessous du niveau de base, formées de poteaux courts doivent comporter un voile périphérique continu entre le niveau de base en Zone II et III.

Ce voile qui sert à rigidifier l'infrastructure aura les caractéristiques ci dessus:

- épaisseur:  $e \geq 15 \text{ cm}$
- Armatures longitudinales filantes supérieures et inférieures doit être  $\geq 0,2 \text{ cm}^2$  de la section transversale avec recouvrement  $\geq 50 \phi$  et une épure de renforcement aux angles.
- Armatures de peau  $\geq 2 \text{ cm}^2$  par face et par ml.
- hauteur du voile:  $h = 1,5 \text{ m}$ , épaisseur  $e = 20 \text{ cm}$

-  $A_e \geq \frac{0,2 \times 150 \times 20}{100} = 6 \text{ cm}^2$  soit 4T16 (8,04 cm<sup>2</sup>) cadres et étriers  $\phi 8$

- Armatures longitudinales de peau: 4T12 (4,52 cm<sup>2</sup>/ml).



4T16

## - LONGRINES -

- Les longrines sont calculées conformément à l'article 4.2.3.3 RPA 81

Les longrines doivent pouvoir équilibrer une force axiale de compression ou de traction au moins égale à  $\frac{N}{15}$  (pour les terrains de consistance moyenne]

Dans notre cas la plus grande charge verticale est:  $N = 60,6 \text{ t}$

d'où  $N_1 = \frac{N}{15} = 4,04 \text{ t}$

Dimension : On prendra des longrines de 25 x 30

- En compression:  $\sigma'_b = \frac{N_1}{B} = \frac{4,04 \cdot 10^3}{25 \cdot 30} = 5,4 \text{ kg/cm}^2 < \bar{\sigma}'_b = 68,5 \text{ kg/cm}^2$

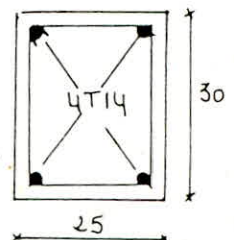
- armatures :

$A'_e = \frac{1}{\eta} \left( \frac{N_1}{B} - \bar{\sigma}'_b \right) = \frac{1}{15} \left( \frac{4,04 \cdot 10^3}{68,5} - 25 \cdot 30 \right) < 0 \Rightarrow A_e = A_{\min}$

- En traction:  $A_e \geq \frac{N}{\bar{\sigma}_a} = \frac{4,04 \cdot 10^3}{2800} = 1,5 \text{ cm}^2$

On prendra un ferrailage minimum  $A = A_{\min} = 4T14 (6,16 \text{ cm}^2)$

• condition de non fragilité:  $A \geq 0,69 b h \frac{\sqrt{\bar{\sigma}_b}}{\bar{\sigma}_a} = 0,69 \cdot 25 \cdot 27 \cdot \frac{5,9}{2800} = 0,99 \text{ cm}^2$





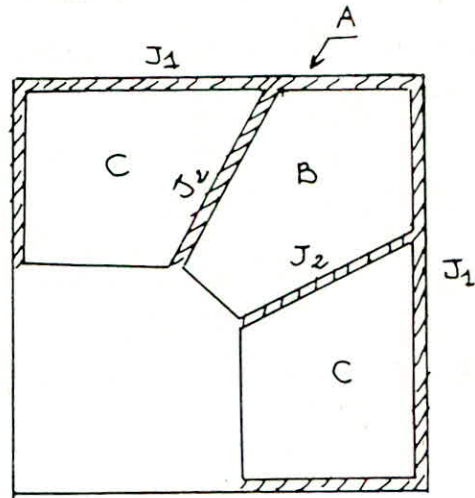
~ JOINTS DE DILATATION ~

- Sous l'action des secousses tous les joints doivent permettre aux blocs adjacents le libre déplacement sans contact préjudiciable. A défaut de justifications suivant l'article 3.3.81, le joint entre deux blocs contigus aura une largeur supérieure à  $\frac{H_i}{300}$  ou  $H_i$ , représente la hauteur du bloc le moins haut.

Notre structure comprend deux joints de dilatation à dimensionner:

Joint  $J_1$ : entre Le Bloc A et Les blocs B et C

Joint  $J_2$ : entre Le bloc B et C du plancher Gradin.



. Pour La détermination de la largeur du joint on prend les déplacements de chacun des blocs adjacents en opposition.

Le déplacement calculé à partir des forces latérales sismiques doit être multiplié par  $(\frac{1}{2B})$  pour obtenir le déplacement relatif.

(Art 3.3.7.1 RPA81) 
$$\delta_k = \frac{T_k}{R_k} \frac{1}{2B}$$

- .  $T_k$ : effort tranchant de niveau
- .  $B$ : facteur de comportement de la structure  $\rightarrow B = \frac{1}{4}$  (st. autos)

.  $R_k$ : rigidité du niveau  $k$ , .  $\delta_k$ : déplacement relatif de niveau.

Joint  $J_2$ : (entre le bloc c et B)

$$\delta_c = 2 \frac{T_c}{R_c} = \frac{2 \cdot 21 \cdot 10^3}{1,7 \cdot 10^1 \cdot 378 \cdot 10^3} = 0,61 \text{ cm}$$

$$\delta_B = 2 \frac{T_B}{R_B} = 2 \frac{28,8 \cdot 10^3}{2,56 \cdot 10^1 \cdot 378 \cdot 10^3} \approx 0,60 \text{ cm}$$

$\Rightarrow$  largeur du joint =  $\delta_B + \delta_c$

$$d = 0,61 + 0,60 = 1,21 \text{ cm}$$

RPA:  $d_{min} = 2 \text{ cm}$  ou  $d \geq \frac{H}{300} = \frac{415}{300} = 1,38 \text{ cm}$

donc on prendra une largeur du joint est égale à 2,5 cm.

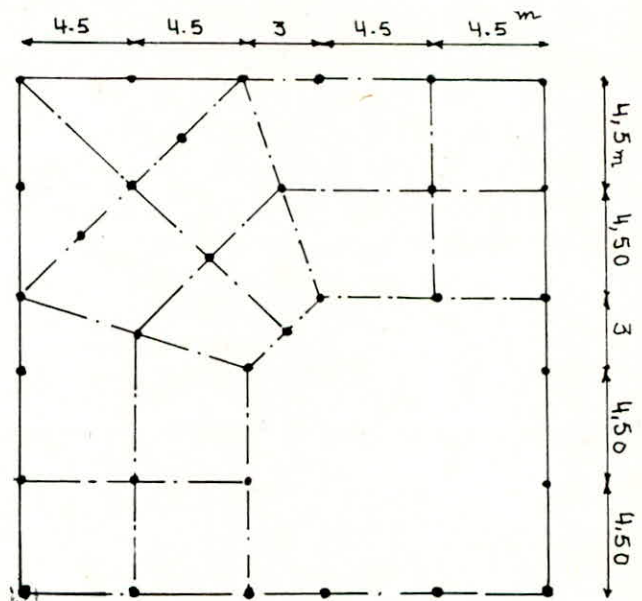
- Joint  $J_1$ : On prendra pour ce joint une largeur de 2,50 cm.

- STRUCTURE I.

- Les éléments de cette structure sont liés entre eux (pas de joint de dilatation entre les blocs). Elle est composée:

- d'un plancher gradin
- d'un plancher terrasse à poutres croisées espacés de 1,5 m.

\* Exposé de La Méthode de Calcul



\* "Vue en plan niveau 5,65 m"  
- Plancher gradin -

Etant donné la forme de la structure et la distribution de ces éléments (poteaux - poutres). Les hypothèses de calcul sont :

\* Charges Verticales

- Poutres : seront étudiées comme des poutres continues en tenant compte des conditions d'appuis.
- Poteaux : calculés sous l'effet des efforts normaux.

La vérification de ces éléments (poteaux - poutres) sera faite avec les sollicitations du 2<sup>e</sup> Genre (séisme).

\* Charges horizontales : La détermination des sollicitations sous l'effet du séisme se fait par la méthode de "MUTO élaborée" en tenant compte des rigidités des poteaux et des poutres.

Référence: CAKIROGLU, A et ÖZMEN G ; "Calcul des Portiques à étages soumis à des charges horizontales"

Le calcul exacte cette structure auto-stable (portique dans l'espace) se fait à l'aide d'un Ordinateur.

. La méthode approchée n'est pas exacte et elle donne des résultats approximatifs, d'où on a adopté la solution II avec joints de dilatation.



ÉPURE D'ARRÊT des barres des Poutres.Portique 3 et 2.

Courbes enveloppes: Les courbes enveloppes sont obtenues par les superpositions des courbes des moments dus à  $G+P+SI$  au voisinage de l'appui combinaison la plus défavorable et des courbes des moments  $G+1,2P$  entravée (voir Graphes).

Ces courbes enveloppes sont décalées de  $\frac{z}{2}$  pour tenir compte de l'influence de l'effort tranchant, la translation a lieu // à l'axe des abscisses.

Les moments résistants des barres <sup>sont</sup> comparés à l'enveloppe des moments fléchissants décalé de  $\frac{z}{2}$ .

pour déterminer l'arrêt des barres, il faut calculer la longueur du scellement droit.

$$l_d = \frac{\phi}{4} \frac{\bar{\sigma}_a}{\bar{\sigma}_d} \quad \text{avec} \quad \bar{\sigma}_d = 1,25 \psi_d \bar{\sigma}_b = 1,25 \cdot 1,5^2 \cdot 5,9 = 16,59 \text{ Kg/cm}^2$$

$$\bar{\sigma}_a = 2670 \text{ Kg/cm}^2$$

Pour  $\phi = 25 \rightarrow l_d = 100,6 \text{ cm}$  soit  $l_d = 105 \text{ cm}$   
 "  $\phi = 14 \rightarrow l_d = 56,3 \text{ cm}$  "  $l_d = 60 \text{ cm}$  Par mesure de sécurité  
 "  $\phi = 20 \rightarrow l_d = 80,8 \text{ cm}$  "  $l_d = 85 \text{ cm}$

Poutre (a3) du Portique (3):

Répartition des barres:

|                 | barres supérieures |           |         | barres inférieures |         |         |          |
|-----------------|--------------------|-----------|---------|--------------------|---------|---------|----------|
| Section         | x = 0              | x = 1,5 m | x = 3 m | x = 3,5 m          | x = 5 m | x = 7 m | x = 10,5 |
| $M^{ext} (t.m)$ | -120,27            | -71,01    | -21,75  | 42,726             | 92,88   | 114,9   | 144,38   |
| $S (cm^2)$      | 33,47              | 19,63     | 9,81    | 19,63              | 39,26   | 49,08   | 58,9     |
| $h (cm)$        | 104                | 105       | 106     | 105                | 103     | 102     | 100      |
| $M^{ra} (t.m)$  | 121,98             | 72,23     | 36,44   | 48,15              | 94,47   | 116,96  | 146,25   |
| A               | 6T25 + 2T14        | 4T25      | 2T25    | 4T25               | 8T25    | 10T25   | 12T25    |

Calcul des crochets aux appuis de rive:

Le rayon de courbure st:  $r \geq 0,10 \phi \frac{\bar{\sigma}_a}{\bar{\sigma}'_{b0}} \left(1 + \frac{\phi}{d}\right) \bar{\sigma}'_{b0}$

armatures supérieures  $\bar{\sigma}'_{b0} = \frac{5}{3}$  (2 lits);  $\bar{\sigma}_a = 3915,64 \text{ Kg/cm}^2$   $\bar{\sigma}'_{b0} = 102,75 \text{ Kg/cm}^2$

$d = e + R$ ,  $e = 4 \text{ cm}$   $R = 7,5 \phi \rightarrow r \geq 17,62 \text{ cm}$  (Vérifié)



Armatures inférieures :

$$\phi = 25 \text{ mm} \rightarrow R = 5\phi = 5 \cdot 2,5 = 12,5 \text{ cm} \quad \tau \geq 11,2 \text{ cm}$$

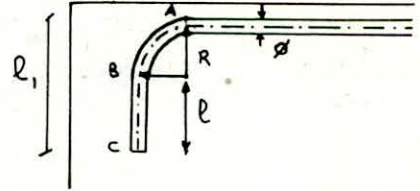
- Ancrage : on utilise des crochets à angle droit ( $\theta = 0$ )

. armatures supérieures :

Détermination de  $l$  qui procure l'ancrage total :

$$\bar{F}_A = \frac{\pi \phi^2 \bar{\sigma}_a}{4} \quad (1) \quad \bar{F}_B = \chi \bar{F}_A - \chi' R \pi \phi \bar{\sigma}_d \quad (2)$$

$$F_B = \pi \phi l \bar{\sigma}_d \quad (3)$$



$\theta = 0 \Rightarrow \chi = 0,53$  ,  $\chi' = 1,17$  . D'après (1), (2) et (3) on a :

$$\pi \phi l \bar{\sigma}_d = \chi \frac{\pi \phi^2}{4} \bar{\sigma}_a - \chi' R \pi \phi \bar{\sigma}_d \Rightarrow l = \chi l_d - \chi' R$$

$$l_d = 105 \text{ cm} , R = 18,75 \text{ cm} \Rightarrow l = 33,71 \text{ cm} \approx 34 \text{ cm}$$

$$l_1 \geq 20\phi \text{ (CTC)} \Rightarrow l_1 \geq 50 \text{ cm}$$

$$l_1 = l + R + \frac{\phi}{2} = 34 + 18,75 + \frac{2,5}{2} = 54 \text{ cm} > 50 \text{ cm} \quad \left. \vphantom{l_1 = l + R + \frac{\phi}{2}} \right\} \text{ on prendra } l_1 = 55 \text{ cm}$$

. armatures inférieures

$$l = \chi l_d - \chi' R \quad \text{avec } l_d = 105 \text{ cm}$$

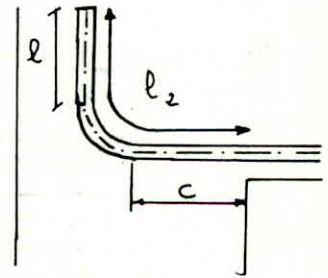
$$l = 0,53 \cdot 105 - 1,17 \cdot 12,5 = 41,02 \text{ cm} \approx 45 \text{ cm}$$

$$l_2 = l + R\theta + c \quad c = 70 - (12,5 + 8) = 49,5 \text{ cm}$$

$$l_2 = 45 + 12,5 \frac{\pi}{2} + 49,5 = 114,13 \text{ cm}$$

$$l_2 \geq \max(30\phi, 50) = 75 \text{ cm}$$

$$\Rightarrow \text{on prend } l_2 = 115 \text{ cm}$$





M (kN)

4.5m  
3.0m  
1.5m

2125

2125

2125 + 4140

2125 + 4140

0

1346kN

3610kN

0

15

4725

4725

2125

2125

146.25kN

3.85m

5.9m

7.55m

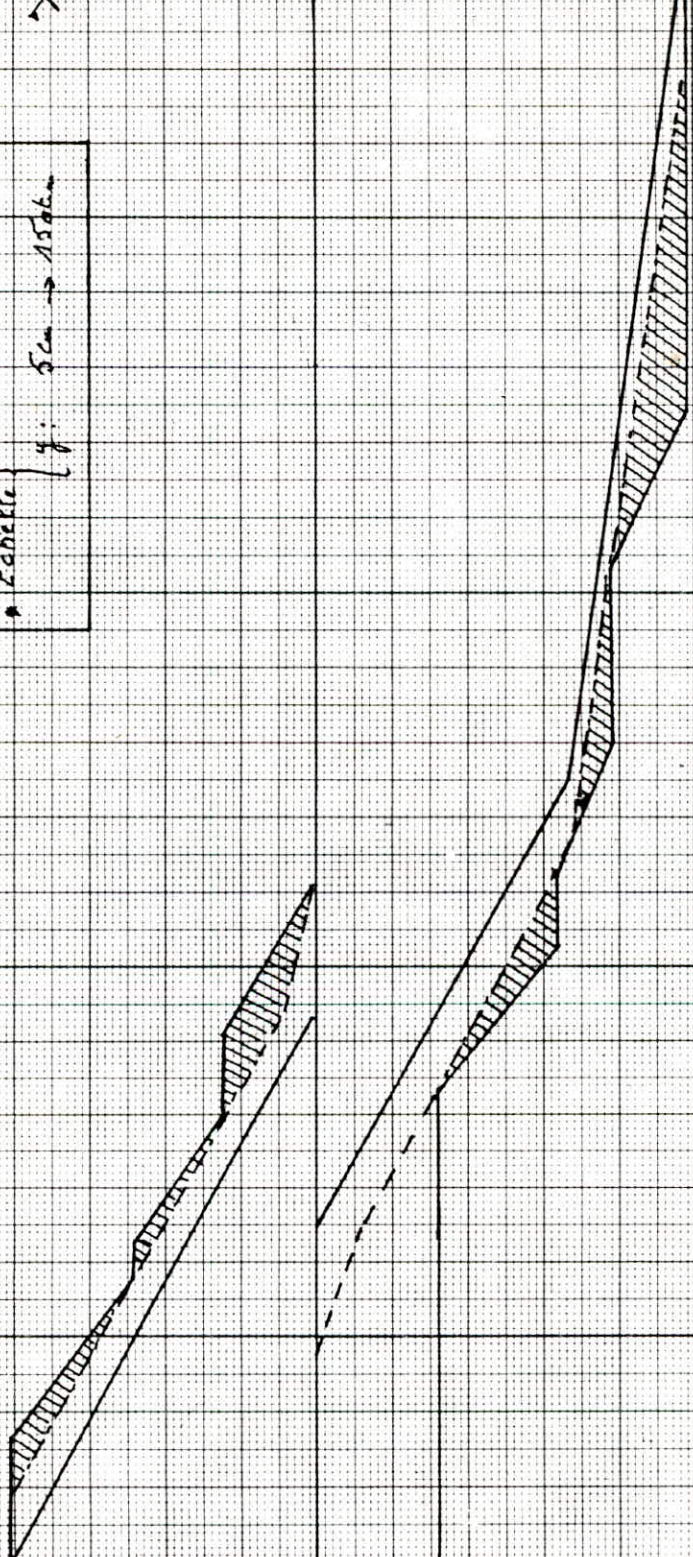
10.5m

Poutre du partique 3

Echelle { x: 2cm → 1m  
          { y: 5cm → 150kN

X

L (m)



5

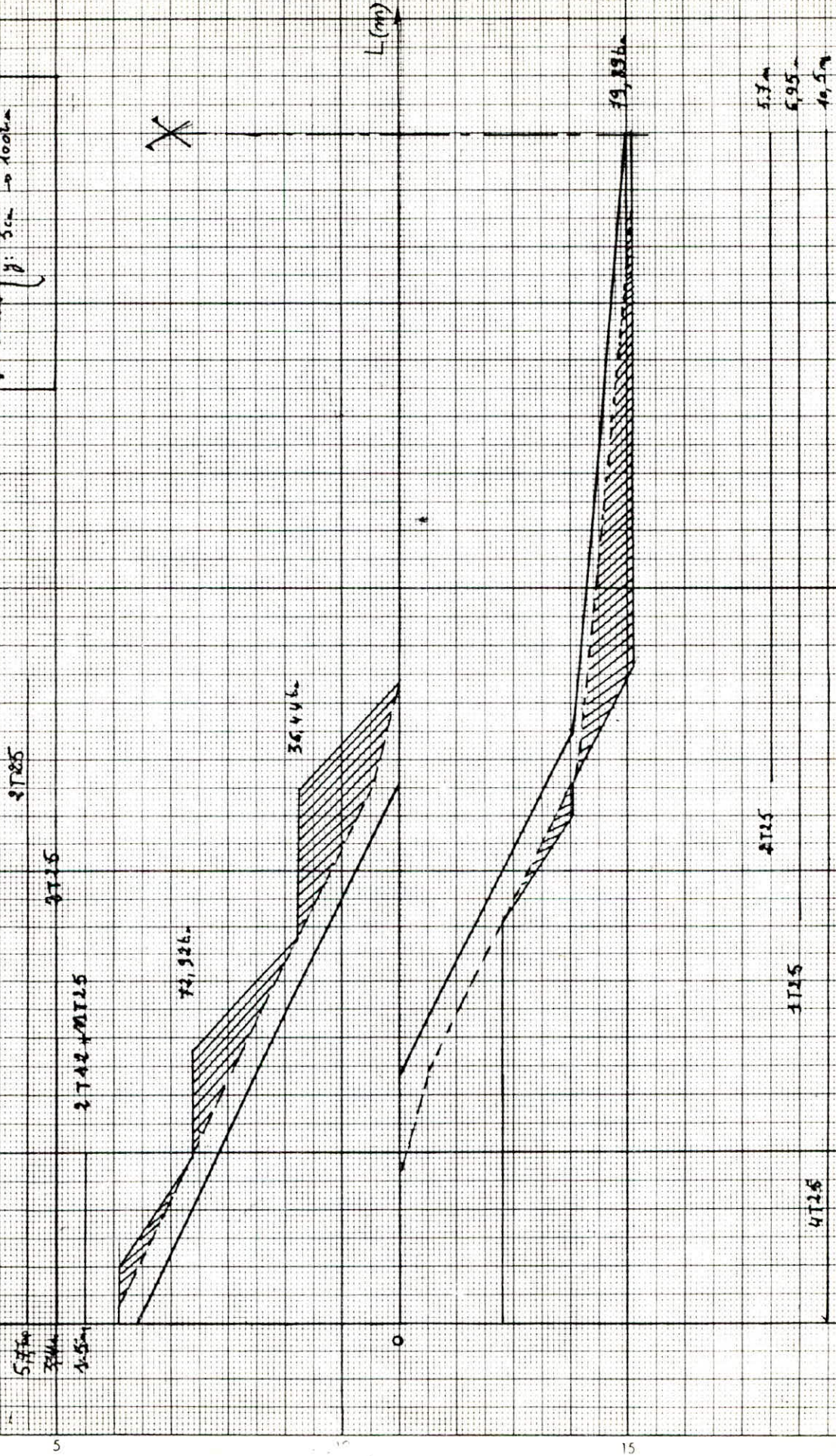
10

20



Poutre du portique 2

Echelle  $\left\{ \begin{array}{l} x: 2\text{cm} \rightarrow 1\text{m} \\ y: 5\text{cm} \rightarrow 100\text{cm} \end{array} \right.$





## \_Bibliographie

Méthode de cross P. charon

RPA 81

RDM J. Courbon

traité de IBA A. GUERRIN Tome 4

Calcul des ossatures en IBA - Fuentes

CCIBA 683

Cours RDM III M<sup>r</sup> Hafidi

Cours de IBA Tome II M<sup>r</sup> Belazougui

Calcul et vérifications des ouvrages en IBA

P. charon

Cours pratique de mécanique des sols

G. sangLerat tome I. II

Les fondations Leonard

Calcul des semelles Coin

